

วงจรกรองความถี่หลายหน้าที่รูปแบบกระแสโดยใช้ OTA-C ปรับค่า Q ได้ง่าย
เป็นอิสระ 2 วิธี

2 METHODS INDEPENDENT TUNABLE-Q CURRENT-MODE OTA-C
UNIVERSAL FILTER



วิทยานิพนธ์นี้เป็นส่วนหนึ่งของงานศึกษาตามหลักสูตรปริญญาวิศวกรรมศาสตรมหาบัณฑิต

สาขาวิชาวิศวกรรมไฟฟ้าระบบควบคุม

บัณฑิตวิทยาลัย

สถาบันเทคโนโลยีพระจอมเกล้าเจ้าคุณทหารลาดกระบัง

พ.ศ. 2551

KMITL-2008-EN-M-010-269

วงจรกรองความถี่หลายหน้าที่รูปแบบกระแสโดยใช้ OTA-C ปรับค่า Q ได้อย่าง
เป็นอิสระ 2 วิธี

2 METHODS INDEPENDENT TUNABLE-Q CURRENT-MODE OTA-C
UNIVERSAL FILTER



เลขหมู่.....
เลขทะเบียน 82904
วัน,เดือน,ปี 25 ก.ค. 2551

.b.....
.i.....

วิทยานิพนธ์นี้เป็นส่วนหนึ่งของการศึกษาตามหลักสูตรปริญญาวิศวกรรมศาสตรมหาบัณฑิต
สาขาวิชาวิศวกรรมโทรคมนาคม
บัณฑิตวิทยาลัย
สถาบันเทคโนโลยีพระจอมเกล้าเจ้าคุณทหารลาดกระบัง

เอกสารนี้เป็นเอกสารที่สงวนไว้สำหรับการใช้งานพ.ศ.2551 เท่านั้น ไม่อนุญาตให้นำไปใช้ประโยชน์ด้านการค้า
ไม่ว่ากรณีใดๆทั้งสิ้น อีกทั้งห้ามมิให้ดัดแปลงเนื้อหา และต้องอ้างอิงถึงเจ้าของเอกสารทุกครั้งที่มีการนำไปใช้

**2 METHODS INDEPENDENT TUNABLE-Q CURRENT-MODE OTA-C
UNIVERSAL FILTER**



**A THESIS SUBMITTED IN PARTIAL FULFILLMENT
OF THE REQUIREMENT FOR THE DEGREE OF
MASTER OF ENGINEERING IN TELECOMMUNICATION ENGINEERING
SCHOOL OF GRADUATE STUDIES
KING MONGKUT'S INSTITUTE OF TECHNOLOGY LADKRABANG**

เอกสารนี้เป็นเอกสารที่สงวนไว้สำหรับการใช้งานเพื่อการศึกษาเท่านั้น ไม่อนุญาตให้นำไปใช้ประโยชน์ด้านการค้า
ไม่ว่ากรณีใดๆทั้งสิ้น อีกทั้งห้ามมิให้คัดแปลงเนื้อหา และต้องอ้างอิงถึงเจ้าของเอกสารทุกครั้งที่มีการนำไปใช้

KMITL-2008-EN-M-010-289



COPYRIGHT 2008

เอกสารนี้เป็นเอกสารที่สงวนไว้สำหรับการใช้งานเพื่อการศึกษาเท่านั้น ไม่อนุญาตให้นำไปใช้ประโยชน์ด้านการค้า
SCHOOL OF GRADUATE STUDIES
ไม่ว่ากรณีใดๆทั้งสิ้น อีกทั้งห้ามมิให้ดัดแปลงเนื้อหา และต้องอ้างอิงถึงเจ้าของเอกสารทุกครั้งที่มีการนำไปใช้
KING MONGKUT'S INSTITUTE OF TECHNOLOGY LADKRABANG

บัณฑิตวิทยาลัย

สถาบันเทคโนโลยีพระจอมเกล้าเจ้าคุณทหารลาดกระบัง

ใบรับรองวิทยานิพนธ์

หัวข้อวิทยานิพนธ์

วงจรกรองความถี่หลายหน้าที่รูปแบบกระแสโดยใช้ OTA-C ปรับค่า Q ได้
ได้อย่างเป็นอิสระ 2 วิธี

2 Methods Independent Tunable-Q Current-mode OTA-C Universal Filter

นักศึกษา

นายณัฐวิทย์ ประภากร

รหัสประจำตัว

49060933

ปริญญา

วิศวกรรมศาสตรมหาบัณฑิต

สาขาวิชา

วิศวกรรมโทรคมนาคม

อาจารย์ที่ปรึกษาวิทยานิพนธ์

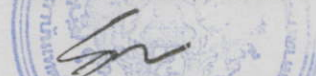
ผศ.ดร.พิพัฒน์ พรหมมี

คณะกรรมการสอบวิทยานิพนธ์		ลายมือชื่อ
ดร.มนตรี	กำเงิน	
รศ.สมยศ	จุนณะปิยะ	
ผศ.ดร.เผ่าภัก	ศิริสุข	
รศ.ดร.กอบชัย	เดชหาญ	
ผศ.ดร.พิพัฒน์	พรหมมี	

วัน/เดือน/ปี ที่สอบ 7 พฤษภาคม 2551 เวลา 13.30-15.30 น.

สถานที่สอบ ณ ห้องประชุม 1 ชั้น 3 อาคาร A

บัณฑิตวิทยาลัยรับรองแล้ว



(รศ.ดร.รวีวรรณ ชินะตระกูล)

คณบดีบัณฑิตวิทยาลัย

เอกสารนี้เป็นเอกสารที่สงวนไว้สำหรับการใช้วันที่.....26.....เดือน.....พฤษภาคม.....พ.ศ.....๒๕๕๑!...

ไม่ว่ากรณีใดๆทั้งสิ้น อีกทั้งห้ามมิให้คัดแปลงเนื้อหาและต้องอ้างอิงถึงเจ้าของเอกสารทุกครั้งที่มีการนำไปใช้

หัวข้อวิทยานิพนธ์	วงจรรองความถี่หลายหน้าที่รูปแบบกระแสโดยใช้ OTA-C ปรับค่า Q ได้อย่างเป็นอิสระ 2 วิธี
นักศึกษา	นายณัฐวิทย์ ประภากร
รหัสประจำตัว	49060933
ปริญญา	วิศวกรรมศาสตรมหาบัณฑิต
สาขาวิชา	วิศวกรรมโทรคมนาคม
พ.ศ.	2551
อาจารย์ที่ปรึกษาวิทยานิพนธ์	ผศ.ดร. พิพัฒน์ พรหมมี

บทคัดย่อ

วิทยานิพนธ์นี้ได้นำเสนอวงจรรองความถี่หลายหน้าที่รูปแบบกระแสโดยหลักการของ
 สมการไบควอดเรตริก สมการไบควอดเรตริกตั้งต้นที่นำมาสังเคราะห์ คือ สมการของตัวกรอง
 ความถี่ที่ต้องการออก วงจรที่นำเสนอสามารถทำหน้าที่หลักเป็นตัวกรองความถี่ที่ต้องการออก ปรับ
 ค่าความถี่ตอบสนอง (ω_p) ได้โดยวิธีอเล็กทรอนิกส์ และสามารถปรับค่าคุณภาพ (Q_p) ได้อย่าง
 เป็นอิสระ นอกจากนั้นยังสามารถให้คุณสมบัติตัวกรองอื่นๆ ได้อย่างครบถ้วน เช่น ตัวกรองความถี่
 สูงผ่าน ตัวกรองแถบความถี่ที่ต้องการผ่าน และตัวกรองความถี่ต่ำผ่าน การสังเคราะห์วงจรจะใช้
 วงจรขยายความนำ (OTA) และตัวเก็บประจุ เป็นอุปกรณ์หลัก การปรับค่าคุณภาพของวงจรที่
 นำเสนอสามารถทำได้ทั้งวิธีทางอิเล็กทรอนิกส์ หรือปรับค่าตัวเก็บประจุ เพื่อการปรับค่าคุณภาพได้
 กว้าง และไม่มีผลกระทบต่อค่าความถี่ตอบสนอง คุณสมบัตินี้ของวงจรสามารถยืนยันการทำงานได้
 เป็นอย่างดีด้วยโปรแกรมPSpice

เอกสารนี้เป็นเอกสารที่สงวนไว้สำหรับการใช้งานเพื่อการศึกษาเท่านั้น ไม่อนุญาตให้นำไปใช้ประโยชน์ด้านการค้า
 ไม่ว่ากรณีใดๆทั้งสิ้น อีกทั้งห้ามมิให้คัดแปลงเนื้อหา และต้องอ้างอิงถึงเจ้าของเอกสารทุกครั้งที่มีกรนำไปใช้

Thesis Title	2 Methods Independent Tunable- Q Current-mode OTA-C Universal Filter
Student	Mr. Nattawit Prapakorn
Student ID.	49060933
Degree	Master of engineering
Program	Telecommunication engineering
Year	2008
Thesis Advisor	Asst.Prof. Dr. Pipat Prommee

ABSTRACT

This thesis presents an universal current-mode active filter with independent tunable- Q realized by using band-reject function is proposed. The parameter Q_p can independently be tuned. However, the four different kind filter functions such as low-pass, high-pass, band-pass and band-reject response can be also obtained without changing circuit topology. The parameter ω_p can be electronically wide-range tuned through adjusting the transconductance gains of the OTAs. The proposed circuit employs three OTAs and three capacitors. Moreover, the parameter Q_p can also be tuned by using both electronically and/or direct changing of a capacitor manually for wide-range Q_p tunable without effect to the ω_p . The simulation results have been carried out by program simulator.

เอกสารนี้เป็นเอกสารที่สงวนไว้สำหรับการใช้งานเพื่อการศึกษาเท่านั้น ไม่อนุญาตให้นำไปใช้ประโยชน์ด้านการค้า
ไม่ว่ากรณีใดๆทั้งสิ้น อีกทั้งห้ามมิให้คัดแปลงเนื้อหา และต้องอ้างอิงถึงเจ้าของเอกสารทุกครั้งที่มีการนำไปใช้

สารบัญ

	หน้า
บทคัดย่อภาษาไทย.....	I
บทคัดย่อภาษาอังกฤษ.....	II
สารบัญ.....	III
สารบัญรูป.....	V
สารบัญตาราง.....	VII
บทที่ 1 บทนำ.....	1
1.1 ความเป็นมาและความสำคัญของปัญหา.....	1
1.2 ความมุ่งหมายและวัตถุประสงค์ของการทำวิจัย.....	1
1.3 สมมุติฐานของการศึกษาและวิจัย.....	2
1.4 ขอบเขตและขั้นตอนการศึกษาวิจัย.....	2
บทที่ 2 วงจรย่อยที่ใช้ในวิทยานิพนธ์.....	3
2.1 เทคโนโลยีของซีมอสและทฤษฎีของมอสเฟต.....	3
2.1.1 ข้อเปรียบเทียบระหว่างวงจรรวมกับวงจรรีซิสทอร์.....	3
2.1.2 เทคโนโลยีของมอส.....	4
2.1.3 โครงสร้างของมอสเฟต.....	6
2.1.4 ทฤษฎีการทำงานของมอสเฟต.....	8
2.1.5 สัญลักษณ์ของมอสเฟต.....	13
2.1.6 ชนิดของมอสเฟต.....	14
2.2 โครงสร้างและการทำงานของวงจระสะท้อนกระแส.....	17
2.3 โครงสร้างและหลักการทำงานของวงจรถานสกอนดักแค้นซ์.....	18
2.3.1 วงจรถานสกอนดักแค้นซ์แบบคู่คิฟเฟอร์เรนเซียล.....	19
2.3.2 วงจรคิฟแอมป์ในกรณีที่สัญญาณเข้ามีระดับสูง.....	19
2.4 สรุป.....	21

เอกสารนี้เป็นเอกสารที่สงวนไว้สำหรับการใช้งานเพื่อการศึกษาเท่านั้น ไม่อนุญาตให้นำไปใช้ประโยชน์ด้านการค้า
ไม่ว่ากรณีใดๆทั้งสิ้น อีกทั้งห้ามมิให้คัดแปลงเนื้อหา และต้องอ้างอิงถึงเจ้าของเอกสารทุกครั้งที่มีการนำไปใช้

สารบัญ (ต่อ)

	หน้า
บทที่ 3 วงจรตัวกรองความถี่.....	22
3.1 วงจรตัวกรองความถี่.....	22
3.2 สมการการส่งผ่าน.....	24
3.3 ฟังก์ชันตัวกรองความถี่ลำดับที่ 2.....	25
3.4 ค่าความไวของวงจร.....	27
3.5 สรุป.....	29
บทที่ 4 งานวิจัยที่เกี่ยวข้อง.....	30
4.1 สรุป.....	32
บทที่ 5 วงจรกรองความถี่หลายหน้าที่ที่นำเสนอ.....	33
5.1 วงจรที่นำเสนอ.....	33
5.2 สมการการส่งผ่านกระแส.....	35
5.3 ผลการเลียนแบบวงจร.....	39
5.4 สรุป.....	49
บทที่ 6 เปรียบเทียบกับวงจรตัวกรองความถี่ที่มีผู้ตีพิมพ์มาแล้ว.....	50
6.1 การปรับค่าความถี่ตอบสนอง.....	51
6.2 การปรับค่าคุณภาพ.....	51
6.3 สรุป.....	51
บทที่ 7 ข้อเสนอแนะ.....	52
เอกสารอ้างอิง.....	55

เอกสารนี้เป็นเอกสารที่สงวนไว้สำหรับการใช้งานเพื่อการศึกษาเท่านั้น ไม่อนุญาตให้นำไปใช้ประโยชน์ด้านการค้า
ไม่ว่ากรณีใดๆทั้งสิ้น อีกทั้งห้ามมิให้คัดแปลงเนื้อหา และต้องอ้างอิงถึงเจ้าของเอกสารทุกครั้งที่มีการนำไปใช้

สารบัญ (ต่อ)

	หน้า
ภาคผนวก.....	56
ก ผลกระทบของความไม่เป็นอุดมคติของ OTA-C.....	56
ข วงจรสะท้อนกระแสแบบพื้นฐาน.....	59
บทความที่ได้รับการตีพิมพ์.....	62
ประวัติผู้เขียน.....	66



เอกสารนี้เป็นเอกสารที่สงวนไว้สำหรับการใช้งานเพื่อการศึกษาเท่านั้น ไม่อนุญาตให้นำไปใช้ประโยชน์ด้านการค้า
ไม่ว่ากรณีใดๆทั้งสิ้น อีกทั้งห้ามมิให้ดัดแปลงเนื้อหา และต้องอ้างอิงถึงเจ้าของเอกสารทุกครั้งที่มีการนำไปใช้

สารบัญรูป

รูปที่	หน้า
2.1	แผนผังของเทคโนโลยีวงจรรวม.....5
2.2	โครงสร้างมอส (Metal Oxide Semiconductor : MOS).....5
2.3	ความสัมพันธ์ระหว่างค่าความจุ C กับแรงดัน V.....6
2.4	โครงสร้างของมอสเฟท.....7
2.5	มอสเฟทในกรณีที่อิ่มตัว (Saturation : Pinch-off).....10
2.6	ความสัมพันธ์ของกระแสเดรนกับแรงดันที่ขาเกต.....11
2.7	ความสัมพันธ์ของกระแสเดรนและแรงดันขาเดรนกับขอส.....11
2.8	สัญลักษณ์ของมอสเฟทชนิดต่างๆ.....13
2.9	โครงสร้างของมอสเฟทแบบ D-MOSFET.....15
2.10	โครงสร้างของมอสเฟทแบบ E-MOSFET.....16
2.11	กราฟแสดงความสัมพันธ์ระหว่าง I_D กับ V_{DS}17
2.12	วงจระสะท้อนกระแสอย่างง่าย ที่สร้างจาก MOSFET.....18
2.13	วงจระคูคิฟเฟอร์เรนเซียล.....19
2.14	กราฟแสดงความสัมพันธ์ระหว่างแรงดันอินพุตกับผลต่างของกระแส.....21
3.1	วงจระตัวกรองความถี่ในรูปของ Two-Port Network.....22
3.2	คุณสมบัติของตัวกรองความถี่ในอุดมคติทั้ง 4 ประเภท.....24
3.3	รูปแบบ Pole และ Zero ของวงจระตัวกรองความถี่ต่ำผ่านลำดับที่ 5.....25
3.4	ค่าโพลของตัวกรองความถี่ลำดับที่ 2.....26
4.1	วงจระกรองความถี่รูปแบบกระแสของ C. Chang [4].....30
4.2	วงจระกรองความถี่รูปแบบกระแสของ C. Chang [5].....31
5.1	Block Diagram ของหลักการที่นำเสนอ.....33
5.2	อินทิเกรเตอร์แบบไม่มีการสูญเสีย.....34
5.3	วงจระกรองความถี่หลายหน้าที่รูปแบบกระแสที่นำเสนอ.....34
5.4	วงจระภายในของ Multi-Output OTA ที่สร้างจาก CMOS.....36
5.5	Macro Model CMOS OTA ที่ใช้วิทยานิพนธ์.....37
5.6	คุณสมบัติของตัวกรองทั้ง 4 แบบ เมื่อค่าความถี่ตอบสนองเท่ากับ 100 kHz.....39
5.7	คุณสมบัติของตัวกรองทั้ง 4 แบบ เมื่อค่าความถี่ตอบสนองเท่ากับ 1 MHz.....40
5.8	คุณสมบัติของตัวกรองทั้ง 4 แบบ เมื่อค่าความถี่ตอบสนองเท่ากับ 10 MHz.....40

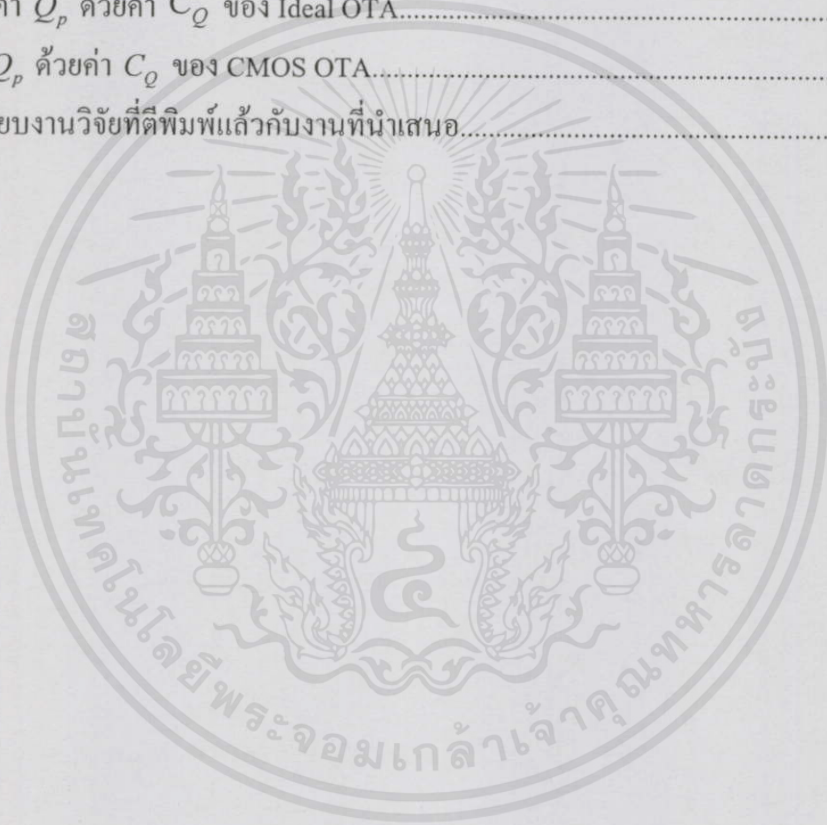
สารบัญรูป (ต่อ)

รูปที่	หน้า
5.9	คุณสมบัติ Phase ของตัวกรองความถี่ผ่านของ Ideal OTA.....41
5.10	เอาต์พุทของตัวกรองความถี่ที่ต้องการออก ทำการปรับค่า Q_p ด้วยค่า g_{mQ}43
5.11	เอาต์พุทของตัวกรองความถี่ที่ต้องการผ่าน โดยการปรับค่า Q_p ด้วยค่า C_Q43
5.12	Frequency Response ของ CMOS OTA ที่ใช้ในวิทยานิพนธ์.....44
5.13	คุณสมบัติของตัวกรองทั้ง 4 แบบ เมื่อค่าความถี่ตอบสนองเท่ากับ 100 kHz.....45
5.14	คุณสมบัติ Phase ของตัวกรองความถี่ผ่านของ CMOS OTA.....45
5.15	กราฟแสดงความสัมพันธ์ค่าความถี่ตอบสนอง (f_o) กับค่ากระแส I_b46
5.16	เอาต์พุทของตัวกรองความถี่ที่ต้องการออก ทำการปรับค่า Q_p ด้วยค่า I_{bQ}46
5.17	เอาต์พุทของตัวกรองความถี่ที่ต้องการผ่าน โดยการปรับค่า Q_p ด้วยค่า I_{bQ}47
5.18	เอาต์พุทของตัวกรองความถี่ที่ต้องการออก ทำการปรับค่า Q_p ด้วยค่า C_Q48
5.19	เอาต์พุทของตัวกรองความถี่ที่ต้องการผ่าน ทำการปรับค่า Q_p ด้วยค่า C_Q48
6.1	วงจรกรองความถี่รูปแบบกระแสของ C. Chang [5] หลังจากทำการเปลี่ยนชื่อตัวแปร.....50
7.1	หลักการของวงจรทรานสดักเตอร์ที่มีความเป็นเชิงเส้น.....52
7.2	วงจรวก/ลบสัญญาณ.....53
7.3	วงจรวก/ลบสัญญาณที่นำไปต่อกับวงจร.....54

เอกสารนี้เป็นเอกสารที่สงวนไว้สำหรับการใช้งานเพื่อการศึกษาเท่านั้น ไม่อนุญาตให้นำไปใช้ประโยชน์ด้านการค้า
ไม่ว่ากรณีใดๆทั้งสิ้น อีกทั้งห้ามมิให้คัดแปลงเนื้อหา และต้องอ้างอิงถึงเจ้าของเอกสารทุกครั้งที่มีการนำไปใช้

สารบัญตาราง

ตารางที่	หน้า
5.1 ค่าความไวของตัวแปรในวงจรที่นำเสนอ.....	36
5.2 ค่า W/L ของ CMOS OTA.....	38
5.3 การปรับค่า ω_p ด้วยค่า g_m ของ Ideal OTA.....	39
5.4 การปรับค่า Q_p ด้วยค่า g_{mQ} ของ Ideal OTA.....	42
5.5 การปรับค่า Q_p ด้วยค่า C_Q ของ Ideal OTA.....	42
5.6 ปรับค่า Q_p ด้วยค่า C_Q ของ CMOS OTA.....	47
6.1 เปรียบเทียบงานวิจัยที่ตีพิมพ์แล้วกับงานที่นำเสนอ.....	51



เอกสารนี้เป็นเอกสารที่สงวนไว้สำหรับการใช้งานเพื่อการศึกษาเท่านั้น ไม่อนุญาตให้นำไปใช้ประโยชน์ด้านการค้า
ไม่ว่ากรณีใดๆทั้งสิ้น อีกทั้งห้ามมิให้คัดแปลงเนื้อหา และต้องอ้างอิงถึงเจ้าของเอกสารทุกครั้งที่มีการนำไปใช้

บทที่ 1

บทนำ

1.1 ความเป็นมาและความสำคัญของปัญหา

ในการประมวลสัญญาณทางอนาลอกในปัจจุบัน วงจรที่เข้ามามีบทบาทมาก ก็คือวงจรตัวกรองความถี่ ซึ่งได้มีการพัฒนาอย่างต่อเนื่องตั้งแต่อดีต โดยวงจรตัวกรองความถี่สามารถสร้างหลายรูปแบบ หลายวิธีมาก ซึ่งก็มีข้อดี ข้อเสียแตกต่างกันไป ขึ้นอยู่กับความเหมาะสมของการนำวงจรตัวกรองความถี่ไปใช้นั่นเอง วงจรตัวกรองความถี่ที่ดีควรมีคุณสมบัติดังนี้

1. เป็นตัวกรองหลายหน้าที่ (Universal Filter)
2. ใช้อุปกรณ์ในการสร้างไม่มากนัก
3. เปลี่ยนแปลงค่า ω_c และ ω_c/Q ได้อย่างเป็นอิสระต่อกัน
4. ไม่ต้องระบุเงื่อนไขฟังก์ชันของตัวกรอง
5. ไม่ต้องเพิ่มอุปกรณ์ใดๆ เพื่อให้ได้กระแสเอาต์พุต

การสร้างวงจรตัวกรองความถี่ให้มีคุณสมบัติตาม 5 ข้อที่กล่าวมา จะต้องไม่ทำให้ประสิทธิภาพของวงจรลดลง ซึ่งในวงจรกรองตัวความถี่ จะสามารถทำงานได้ทั้งในโหมดกระแสและในโหมดแรงดัน โดยวิทยานิพนธ์นี้จะเป็นการนำเสนอวงจรตัวกรองความถี่ที่ทำงานในโหมดกระแส แต่ตัวที่จะบอกว่างจรกรองตัวกรองความถี่นี้ ทำงานได้อย่างมีประสิทธิภาพหรือไม่ คือค่าความถี่ตอบสนอง ω_c และค่าคุณภาพ Q_p ซึ่งการปรับค่าของทั้ง 2 ค่านี้ ควรจะอิสระต่อกัน และควรมีข้อจำกัดในการปรับค่าให้น้อยที่สุด

1.2 ความมุ่งหมายและวัตถุประสงค์ของการทำวิจัย

วิทยานิพนธ์นี้ทำเพื่อออกแบบวงจรกรองความถี่หลายหน้าที่ ให้สามารถทำงานได้อย่างเต็มประสิทธิภาพ และมีความยืดหยุ่นในการใช้งาน โดยที่คุณสมบัติของวงจรกรองความถี่ยังคงครบถ้วน อีกทั้งยังสามารถแก้ไขปัญหาการปรับค่า ω_c และ Q_p จากงานวิจัยอื่นๆ ได้นำไปใช้ประโยชน์ด้านการค้า

ไม่ว่ากรณีใดๆทั้งสิ้น อีกทั้งห้ามมิให้คัดแปลงเนื้อหา และต้องอ้างอิงถึงเจ้าของเอกสารทุกครั้งที่มีการนำไปใช้

1.3 สมมุติฐานของการศึกษาและวิจัย

ดังที่กล่าวมาแล้วว่าประสิทธิภาพการทำงานของวงจรตัวกรองความถี่ อยู่ที่ค่าความถี่ตอบสนอง และค่าคุณภาพ ซึ่งในวิทยานิพนธ์นี้พูดถึงการปรับค่าทั้ง 2 ค่านี้เป็นหลัก ซึ่งวงจรตัวกรองความถี่หลายหน้าที่ที่จะนำเสนอ นั้นจะสามารถปรับค่า ω_p และ Q_p ได้อย่างเป็นอิสระต่อกัน โดยมีข้อจำกัดและเงื่อนไขในการปรับค่าน้อยที่สุด โดยการปรับค่าทั้ง 2 ค่านี้ จะสามารถทำได้ทั้งอิเล็กทรอนิกส์และทางกายภาพ ซึ่งจะใช้หลักการของสมการไบควอดเรติกในการออกแบบวงจรตัวกรองความถี่

1.4 ขอบเขตและขั้นตอนการศึกษาวิจัย

วิทยานิพนธ์นี้เป็นการพัฒนาประสิทธิภาพการทำงาน และเพิ่มความยืดหยุ่นในการใช้งานของวงจรกรองความถี่หลายหน้าที่ ซึ่งอาศัยหลักการของสมการไบควอดเรติก เพื่อนำมาสังเคราะห์ด้วยวงจรอินทิเกรเตอร์แบบไม่มีการสูญเสีย โดยวงจรที่วิทยานิพนธ์นี้จะนำเสนอจะประกอบด้วยวงจรขยายความนำเชิงปฏิบัติการ หรือ OTA ทั้งหมด 3 ตัว ซึ่งจะมี OTA 1 ตัว ที่จะทำหน้าที่สำหรับปรับค่าคุณภาพของวงจร (Q_p) ซึ่งจะไม่มีผลต่อค่าความถี่ตอบสนอง (ω_p) เลย โดยสามารถปรับได้ที่ค่าความนำ (g_m) ของ OTA ส่วน OTA อีก 2 ตัว จะทำหน้าที่ควบคุมค่าความถี่ตอบสนอง ซึ่งการปรับค่าสามารถทำได้ที่ค่าความนำของ OTA เช่นกัน การปรับค่าความนำของ OTA ถือว่าเป็นการปรับค่าทางอิเล็กทรอนิกส์ ซึ่งจะมีข้อจำกัดด้วยตัวอุปกรณ์อยู่ (ยกเว้น Ideal OTA ที่สามารถปรับค่าได้โดยไม่มีข้อจำกัด) วงจรที่วิทยานิพนธ์นี้จะนำเสนอ จึงเพิ่มความยืดหยุ่นของการใช้งานวงจรกรองความถี่ โดยสามารถปรับค่าคุณภาพของวงจร และค่าความถี่ตอบสนองได้ด้วยการเปลี่ยนค่าตัวเก็บประจุ โดยถ้าต้องการเปลี่ยนค่าคุณภาพ สามารถทำได้โดยเปลี่ยนค่าตัวเก็บประจุที่ต่ออยู่กับ OTA ที่ทำหน้าที่ควบคุมค่าคุณภาพของวงจร หรือถ้าต้องการเปลี่ยนค่าความถี่ตอบสนอง ก็สามารถทำได้โดยเปลี่ยนค่าตัวเก็บประจุที่ต่ออยู่กับ OTA ตัวที่ทำหน้าที่ควบคุมค่าความถี่ตอบสนอง ดังนั้นวงจรที่ออกแบบมาจึงสามารถทำงานได้อย่างมีประสิทธิภาพ และมีความยืดหยุ่นในการใช้งานมากขึ้น อีกทั้งยังใช้อุปกรณ์ในวงจรจำนวนไม่มาก ซึ่งในวงจรที่ออกแบบจะประกอบด้วย วงจรขยายความนำเชิงปฏิบัติการ 3 ตัว และตัวเก็บประจุอีกเพียง 3 ตัว เท่านั้น

เอกสารนี้เป็นเอกสารที่สงวนไว้สำหรับการใช้งานเพื่อการศึกษาเท่านั้น ไม่อนุญาติให้นำไปใช้ประโยชน์ด้านการค้าไม่ว่ากรณีใดๆทั้งสิ้น อีกทั้งห้ามมิให้คัดแปลงเนื้อหา และต้องอ้างอิงถึงเจ้าของเอกสารทุกครั้งที่มีการนำไปใช้

บทที่ 2

วงจรร้อยที่ใช้ในวิทยานิพนธ์

2.1 เทคโนโลยีของซีมอสและทฤษฎีของมอสเฟต

วงจรรวม (Integrated Circuit) ซึ่งเราเรียกย่อๆ ว่า IC ที่กล่าวถึงในที่นี้จะอยู่ในลักษณะที่เป็นโมโนลิทิก (Monolithic) กล่าวคือ วงจรทั้งหมดซึ่งประกอบด้วย ส่วนประกอบ (Component) ต่างๆ ทั้งแบบแอคทีฟและแบบพาสซีฟ อยู่บนสารกึ่งตัวนำเดียวกัน วงจรรวมนี้โดยทั่วๆ ไปจะแบ่งเป็น 2 พวกใหญ่ๆ คือ พวกลิเนียร์และดิจิตอล ซึ่งในวิทยานิพนธ์นี้จะเน้นไปในการออกแบบวงจรถิณี

2.1.1 ข้อเปรียบเทียบระหว่างวงจรรวมกับวงจรดีสครีท

ในปัจจุบันการลงทุนเกี่ยวกับทางด้านอุปกรณ์สารกึ่งตัวนำ ส่วนใหญ่จะเน้นหนักไปในการผลิต IC มากกว่าการผลิตส่วนประกอบแบบดีสครีท ทั้งนี้เพราะ IC มีข้อดีกว่าวงจรถิณีดีสครีท กล่าวคือ

- 1) ทางด้าน IC นั้นเราสามารถผลิตวงจรต่างๆ ได้ทีละหลายๆ วงจรต่อการผลิต 1 ครั้งได้ ดังนั้นจึงทำให้ต้นทุนการผลิต IC มีราคาถูก
- 2) เนื่องจากส่วนประกอบภายใน IC เช่น ทรานซิสเตอร์ ซึ่งจะถูกผลิตขึ้นมาพร้อมๆ กันในกระบวนการผลิต ดังนั้นค่าพารามิเตอร์ของส่วนประกอบต่างๆ นั้น มีค่าเท่ากันและคุณสมบัติ (Characteristics) ของส่วนประกอบเหล่านั้นมีความสมพงษ์กัน (Match) และนอกจากนั้นส่วนประกอบเหล่านั้นยังมีคุณสมบัติ ต่อภาวะแวดล้อมต่างๆ เช่นการเปลี่ยนแปลงทางอุณหภูมิเหมือนกันด้วย (Thermal Tracking) ซึ่งข้อดีดังกล่าว ทำให้ IC มีขีดความสามารถและความเชื่อมั่นในการใช้งานสูง (High Performance and High Reliability) โดยที่เราอาจจะสร้างวงจรที่มีความยุ่งยาก และสลับซับซ้อนมากๆ ขึ้นมาได้ โดยที่

อาจจะเป็นไปได้เลยสำหรับวงจรถิณีดีสครีท

3) เนื่องจากใน IC จะไม่มีรอยบัดกรี ดังนั้นจึงสามารถผลิตได้ต่างๆ อันจะเกิดเนื่องจากสิ่งที่แอบแฝงอยู่ในรอยบัดกรีนั้นลงไปได้โดยสิ้นเชิง จึงทำให้วงจรใน IC สามารถทำงานได้ดีกว่าวงจรถิณีดีสครีททั่วไป

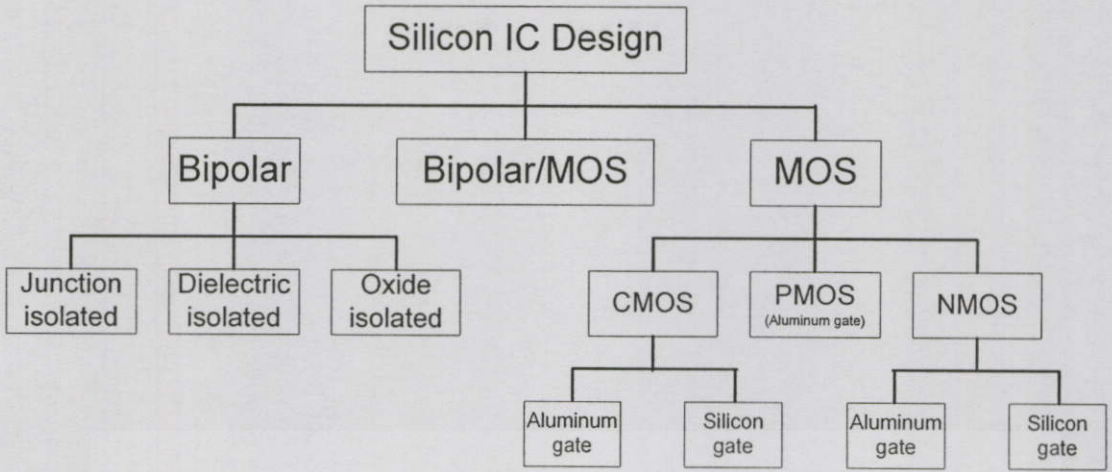
- 4) IC แต่ละตัวอาจจะทำงานได้เท่าๆ กับบล็อกแต่ละบล็อกของระบบ (System) ทั่วๆ ไป ดังนั้นในการศึกษาหรือออกแบบวงจรอิเล็กทรอนิกส์ในปัจจุบัน จึงมักจะเน้นหนักไปทางด้านบล็อกโคอะแกรมเป็นส่วนใหญ่ จึงจะช่วยให้เกิดความสะดวกขึ้นอีกมาก เพราะสามารถใช้ IC แทนลงในบล็อกโคอะแกรมนั้นได้เลย โดยที่เราไม่จำเป็นต้องไปสร้างวงจรในแต่ละบล็อกนั้นอีก ซึ่งจะทำให้ลดความยุ่งยากของวงจรทั้งหมดลงไปได้มากทีเดียว
- 5) IC มีขนาดเล็กและเบากว่า

อย่างไรก็ตามเมื่อ IC มีข้อดี ก็ย่อมจะมีข้อเสียคู่กันไปเป็นธรรมดา ซึ่งข้อเสียข้อหนึ่งของ IC คือ เราไม่สามารถปรับแต่งค่าต่างๆ เช่น ค่าความต้านทานใน IC ได้โดยง่าย เหมือนกับในวงจรดีสครีท แต่ถ้าจำเป็นจริงๆ ก็สามารถปรับแต่งได้โดยใช้แสงเลเซอร์ แต่จะทำให้ต้นทุนในการผลิตสูงขึ้นมาก ส่วนข้อเสียอีกข้อหนึ่งของ IC ก็คือ การออกแบบวงจรจะยุ่งยาก สลับซับซ้อนและใช้เวลามากกว่าการออกแบบวงจรดีสครีท ซึ่งทำงานอย่างเดียวกัน แต่ข้อเสียดังกล่าวจะไม่มีผลมากเท่าใดนัก เมื่อเราจะผลิต IC เหล่านั้นในจำนวนมากๆ

2.1.2 เทคโนโลยีของมอส

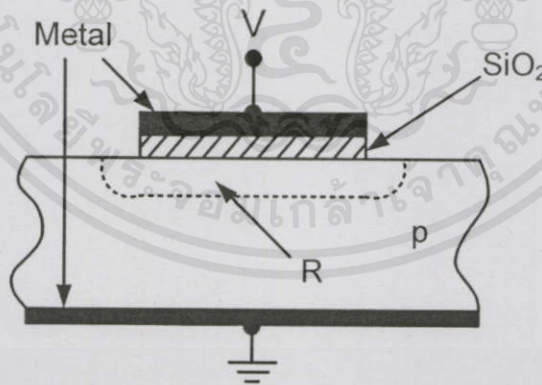
ในการพัฒนาของเทคโนโลยี VLSI (Very Large Scale Integration) เป็นการผลิตวงจรรวมที่เป็นเทคโนโลยีที่นิยมกันมาก เพราะมีข้อดีกว่าเทคโนโลยีแบบอื่นๆ หลายประการ เช่น การสูญเสียของพลังงานต่ำกว่า มีอินพุทอิมพีแดนซ์สูงมาก การออกแบบง่าย ฯลฯ ซึ่งมีความต้องการมากของงานด้านการประมวลผลสัญญาณ (Signal Processing) แบบเป็นวงจรรวมอยู่บนชิปเดียว (Single Chip) การทำงานจะมีประสิทธิภาพมากที่สุด ซึ่งในวงจรรวมอนาล็อก ก็เป็นบทบาทสำคัญของการผลิต IC โดยการออกแบบเป็น VLSI ในการออกแบบ VLSI ในระบบที่เป็นอนาล็อก (Analog Circuit) ส่วนใหญ่ที่เรารู้จักก็คือ วงจรตัวกรองความถี่ วงจรแปลงอนาล็อกเป็นดิจิตอล และดิจิตอลเป็นอนาล็อก วงจรเปรียบเทียบแรงดัน (Voltage Comparator) วงจรควบคุมอัตราขยายอัตโนมัติ (Automatic Gain Control) ฯลฯ

เอกสารนี้เป็นเอกสารที่สงวนไว้สำหรับการใช้งานเพื่อการศึกษาเท่านั้น ไม่อนุญาตให้นำไปใช้ประโยชน์ด้านการค้าไม่ว่ากรณีใดๆทั้งสิ้น อีกทั้งห้ามมิให้คัดแปลงเนื้อหา และต้องอ้างอิงถึงเจ้าของเอกสารทุกครั้งที่มีการนำไปใช้



รูปที่ 2.1 แผนผังของเทคโนโลยีวงจรรวม

วิธีการออกแบบ IC จะนิยมใช้เทคโนโลยีอยู่ 2 แบบ คือแบบไบโพลาร์ (BJT) และแบบมอส (MOS) โดยจะแบ่งเป็นส่วนย่อยๆ ดังรูปที่ 2.1 โดยทั้งหมด จะอยู่บนรากฐานของเทคโนโลยีวงจรรวมซิลิกอน (Silicon Integrate Circuit Technology) โดยเมื่อก่อนการออกแบบวงจรรวมนั้น จะใช้เทคโนโลยีของไบโพลาร์ แต่ในสมัยนี้เทคโนโลยีของมอสได้เจริญเติบโตขึ้นอย่างมาก ซึ่งในส่วนของเทคโนโลยีของมอส ทำให้สามารถบรรจุวงจรรวมที่ถูกรออกแบบไว้ มีความหนาแน่นมากขึ้น เช่น หน่วยความจำ (Memory) หน่วยประมวลผล (Microprocessor)



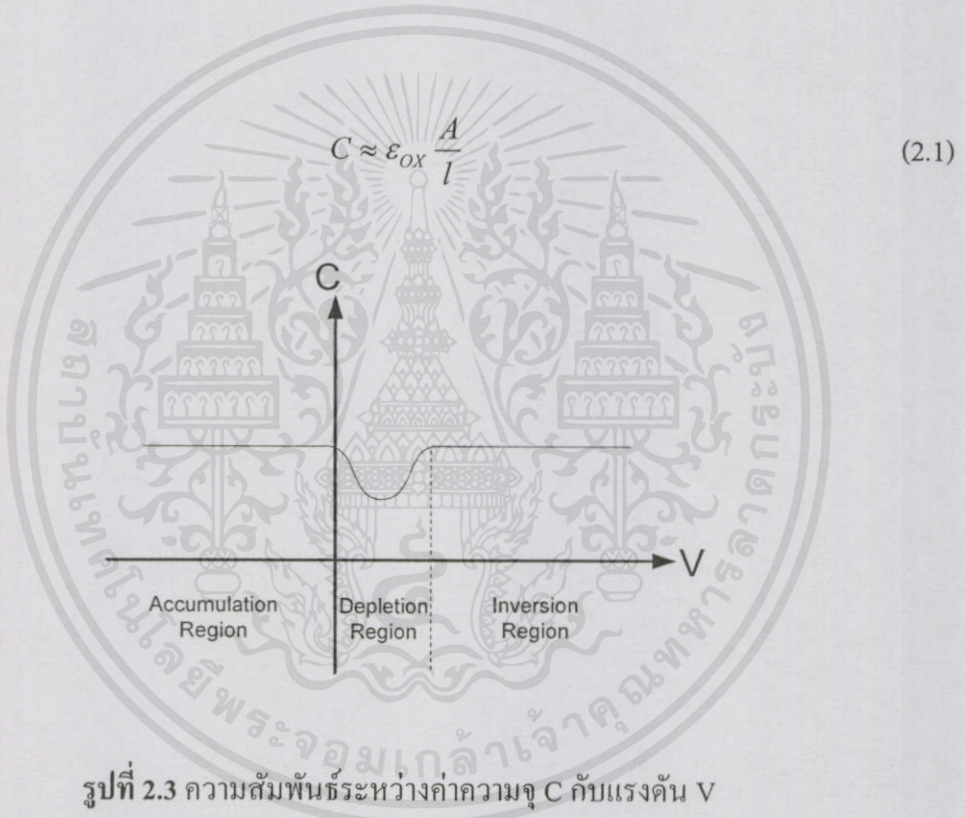
รูปที่ 2.2 โครงสร้างมอส (Metal Oxide Semiconductor : MOS)

เอกสารนี้เป็นเอกสารที่สงวนไว้สำหรับการใช้งานเพื่อการศึกษาเท่านั้น ไม่อนุญาตให้นำไปใช้ประโยชน์ด้านการค้า ไม่ว่ากรณีใดๆ ทั้งสิ้น อีกทั้งห้ามมิให้คัดแปลงเนื้อหา และต้องอ้างอิงถึงเจ้าของเอกสารทุกครั้งที่มีการนำไปใช้

2.1.3 โครงสร้างของมอสเฟต

จากรูปที่ 2.2 เป็นการประกอบของชั้นต่างๆ ของโครงสร้างแบบมอส ประกอบด้วยโลหะชั้นบน ซิลิกอนไดออกไซด์ (SiO_2) ซึ่งเป็นฉนวนที่สมบูรณ์ ซิลิกอนชนิดพี และโลหะชั้นล่างที่ซึ่งต่อกับกราวด์

สมมติให้ V เป็นลบจะมีสนามไฟฟ้าคร่อมชั้นของซิลิกอน (โฮล) ไปที่บริเวณ R ได้โลหะชั้นล่าง ประจุลบจะรวมตัวอยู่กับแผ่นโลหะ (Electrode) ด้านบน และประจุบวกจะรวมตัวอยู่ที่บริเวณ R ซึ่งในกรณีนี้ อุปกรณ์นี้จะแสดงตัวเป็นตัวเก็บประจุมีค่าของขนาดความจุไฟฟ้า เป็นดังสมการ



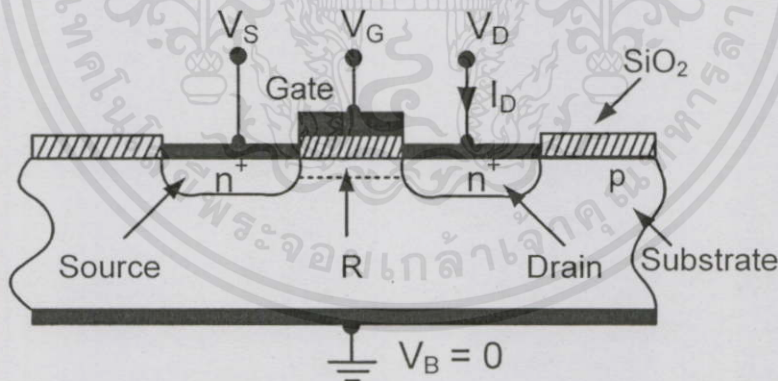
รูปที่ 2.3 ความสัมพันธ์ระหว่างค่าความจุ C กับแรงดัน V

จากสมการที่ (2.1) ϵ_{ox} เป็นค่าการยอมให้กระแสไฟฟ้าผ่านของซิลิกอนไดออกไซด์ โดย $\epsilon_{ox} = \epsilon_o k_{ox}$ มีค่า ≈ 3.5 pF/cm โดยที่ k_{ox} คือค่าความเป็นฉนวนของ SiO_2 ($k_{ox} = 3.9$), ϵ_o คือ ค่าการยอมให้กระแสไฟฟ้าผ่านของบรรยากาศ ($\epsilon_o \approx 8.854 \times 10^{-14}$ F/cm) สำหรับ A คือ พื้นที่หน้าตัดของขั้วโลหะด้านบน และ l เป็นความหนาชั้นออกไซด์ ซิลิกอนชนิดพี ที่อยู่ระหว่าง R และโลหะชั้นล่าง จะแสดงตัวเป็นความต้านทาน หรืออีกนัยหนึ่งก็คือค่าตัวเก็บประจุความสูญเสีย

เอกสารนี้เป็นเอกสารที่สงวนไว้สำหรับการใช้งานเพื่อการศึกษาเท่านั้น ไม่อนุญาตให้นำไปใช้ประโยชน์อื่นใด

ไม่ว่ากรณีใดๆทั้งสิ้น อีกทั้งห้ามมิให้คัดแปลงเนื้อหา และต้องอ้างอิงถึงเจ้าของเอกสารทุกครั้งที่มีการนำไปใช้

ขั้นต่อไป สมมุติให้ V มีแรงดันเป็นบวกค่าน้อยๆ จะเกิดสนามไฟฟ้า ซึ่งจะผลักโฮล ผลที่ได้คือ ประจุลบจะแยกออกจากกัน โดยโฮลเคลื่อนที่ จะเป็นผลให้ไม่มีประจุอยู่ที่บริเวณ R ซึ่งเรียกว่า Depletion Layer และประจุบวกก็จะรวมตัวอยู่ที่ Electrode ด้านบน และจะเป็นเสมือนตัวเก็บประจุ เมื่อ V เพิ่มขึ้นเรื่อยๆ จะมีปรากฏการณ์ใหม่เกิดขึ้น โดยความร้อนที่เกิดจากโฮลและอิเล็กตรอน เกิดขึ้นเรื่อยๆ ในสารกึ่งตัวนำ ถ้าสนามไฟฟ้าที่ถูกสร้างจาก V เป็นบวกอย่างเพียงพอ จะสามารถดูดความร้อนจากอิเล็กตรอนทั้งหมดไปที่ R และอิเล็กตรอนจะเคลื่อนที่ไปที่ผิวหน้า ซึ่งประจุบวกจะรวมตัวอยู่ที่ Electrode ด้านบน ขณะเดียวกันประจุลบหรืออิเล็กตรอนจะอยู่ที่ชั้นของผิวหน้า จากสมการที่ (2.1) ค่าของ I ซึ่งเป็นความหนาของ SiO_2 และค่าของ C จะมีค่าเท่ากับกรณีที่ค่า V เป็นบวกกับในกรณีที่ค่า V เป็นลบ แต่ในกรณีที่ค่า V เป็นบวกน้อยๆ จะอยู่ใน Depletion Region ซึ่งค่า C ในเทอมของ V จะแสดงไว้ในรูปที่ 2.3 ซึ่งมีชื่อเรียกอยู่ 3 Region คือ Accumulation Region, Depletion Region, และ Inversion Region โดยพิจารณาจากรูปที่ 4.4 แสดงถึงรายละเอียดของมอสเฟต ซึ่งจะเห็น n^+ (การโคปสารชนิด n) Region อยู่ 2 ตัวในสารกึ่งตัวนำชนิดพี ในด้านซ้าย เราจะเรียกว่า ซอส (Source) ซึ่งแรงดันที่ต่ออยู่เราจะเรียกว่า V_S ในด้านขวาเราจะเรียกว่า เคน (Drain) ซึ่งแรงดันที่ต่ออยู่เราจะเรียกว่า V_D โลหะที่ทำ Electrode จะเรียกว่า เกท (Gate) ซึ่งแรงดันที่ต่ออยู่จะเรียกว่า V_G และตัวถังของอุปกรณ์ตัวนี้ จะเรียกว่า ชัปสเตรท (Substrate) หรือ บัค (Bulk) ซึ่งแรงดันที่ต่ออยู่เราจะเรียกว่า V_B



รูปที่ 2.4 โครงสร้างของมอสเฟต

NMOS ประกอบด้วยส่วนชัปสเตรท (Substrate) ที่เป็นสารกึ่งตัวนำชนิดพี (P-Type) ซึ่งมีสารกึ่งตัวนำชนิดอื่น 2 ชุด ถูกแพร่ลงบนฐานรอง สารกึ่งตัวนำนี้เราเรียกว่า ซอส (Source) และ เคน (Drain) บนผิวหน้าระหว่างซอสกับเคน จะมีแผ่นฟิล์มบางๆ ของซิลิกอนไดออกไซด์ ไม่ว่ากรณีใดๆ ทั้งนั้น อีกทั้งยังมีฟิล์มบางๆ และต้องอ้างอิงถึงค่าของเอกรูปร่างทุกครั้งที่มีการนำไปใช้ (SiO_2) ส่วนบนของซิลิกอนไดออกไซด์จะมีโพไลซิลิกอน ซึ่งทำหน้าที่เรียกว่า เกท (Gate) ถ้าส่วน

ของฐานรองทำด้วยสารกึ่งตัวนำชนิดเอ็น และสารกึ่งตัวนำชนิดพี ถูกแพร่ลงบนฐานรอง โครงสร้างชนิดนี้เรียกว่า PMOS

ระยะระหว่างสารกึ่งตัวนำที่เป็น ซอส และเดรนเรียกว่า ความยาวแชนแนล (Channel Length : L) และความกว้างของช่องระหว่างซอสและเดรน เรียกว่า ความกว้างแชนแนล (Channel Width : W)

2.1.4 ทฤษฎีการทำงานของมอสเฟต

มอสทรานซิสเตอร์ หรือมอสเฟต (MOSFET) มาจากคำเต็มว่า Metal Oxide Semiconductor Field Effect Transistor และมีอีกชื่อหนึ่งว่า อินซูลेटเทตเกตเฟต (Insulated Gate FET) หรือ IGFET เป็นสารกึ่งตัวนำชนิดหนึ่ง ซึ่งใช้สนามไฟฟ้าควบคุมปริมาณการไหลของกระแสในช่องนำกระแส ในปัจจุบันมอสเฟตได้เข้ามาแทนที่ทรานซิสเตอร์ชนิดไบโพลาร์ เนื่องจากโครงสร้างง่าย มีขั้นตอนการผลิตไม่ยุ่งยาก มีขนาดเล็กทำให้ผลิตได้ปริมาณมากๆ ต่อผลึกสารกึ่งตัวนำหนึ่งชิ้น มีความต้านทานอินพุตสูง (High Input Impedance) การสูญเสียต่ำ (Low Dissipation) สัญญาณรบกวนต่ำ แต่มอสเฟตก็ยังมีข้อเสีย เมื่อเปรียบเทียบกับทรานซิสเตอร์แบบไบโพลาร์ คือการทำงานที่พลังงานต่ำและอัตราขยายต่ำ

จากรูปที่ 2.4 สมมุติให้ ซอส เป็นกราวด์ ($V_S = 0$) และ V_D เป็นบวกน้อยๆ ประมาณ 0.5 โวลต์ เมื่อพิจารณากระแสเดรน (I_D) โดยให้ V_G เพิ่มขึ้นจาก 0 ไปเรื่อยๆ ในทางบวก เห็นได้ว่าที่เกตจะมีฉนวนกัน โดยชั้นของออกไซด์ จะไม่มีกระแส I_G ที่ n^+ ของขาเดรน และรอบๆ คือ ซับสเตรทชนิด P จากทฤษฎีสารกึ่งตัวนำ P-N Junction เมื่อซับสเตรทเป็นกราวด์ และ $V_D > 0$ จะเป็น Reverse Bias ขณะที่ $V_G = 0, I_D = 0$

ให้ V_G เพิ่มขึ้น บริเวณ R ก็จะว่างเปล่า และเมื่อ R ว่างเปล่า ทำให้ $I_D = 0$ เนื่องจากยังเป็น Reverse Bias เช่นเดียวกัน ในทางตรงกันข้าม ถ้า V_G เปลี่ยนไปเป็นขั้วตรงกันข้าม จะทำให้บริเวณ R มีอิเล็กตรอนเข้ามา ในชั้นที่มีอิเล็กตรอนเคลื่อนที่อยู่จะเรียกว่า Inversion Layer หรือ แชนแนล (Channel) ซึ่งจะทำการเชื่อมขาเดรนกับขาซอส และเมื่อเดรนเป็นบวกเมื่อเทียบกับซอส อิเล็กตรอนจะไหลจากซอสไปหาเดรน ซึ่งเป็นผลทำให้กระแส $I_D > 0$ ซึ่งขณะเดียวกันจะต้องมีแรงดันค่าเล็กๆ ที่ขาเกต V_G ในการสร้างแชนแนล เรียกว่า Threshold Voltage ซึ่งใช้สัญลักษณ์ว่า V_T

นอกจากอิเล็กตรอนในแชนแนลนั้น ส่วนน้อยจะเกิดจากผลของความร้อนจากฐานรอง แต่ส่วนมากเกิดจากสนามไฟฟ้าอิสระแรงดัน V_G อิเล็กตรอนออกจากขาซอส และอิเล็กตรอนบางส่วนจะเกิดจากขาเดรน แต่เมื่อ $V_G > 0$ ขาเดรนและฐานรองจะอยู่ในสถานะ Reverse Bias ซึ่งอิเล็กตรอนจะเคลื่อนที่ออกได้ยากจากขาเดรน

เมื่อเกิดค่าความต่างศักย์ขึ้นระหว่างปลายสองข้างของแซนแนล อิเล็กตรอนในแซนแนลจะถูกดึงดูดไปที่ขาคเรน จึงเป็นการเพิ่มอิเล็กตรอนความร้อนเคลื่อนที่แบบไม่มีทิศทาง การเคลื่อนที่อย่างไม่สม่ำเสมอ เป็นเหตุมาจากกระแสไหลเมื่อค่า V_G น้อยๆ ทำให้แซนแนล แสดงตัวเป็นความต้านทาน จากค่า $I_D \approx \frac{V_D}{R}$ โดยที่ความต้านทานของแซนแนล R มีค่าเป็น

$$R = \frac{L}{W \mu_n |Q_n|} \quad (2.2)$$

โดยที่ μ_n คือ ค่าความคล่องของอิเล็กตรอน, Q_n คือค่าความเข้มข้นของประจุของอิเล็กตรอนในแซนแนล และ V_G เป็นแรงดันที่ขาคเกต มีสองเทอมเป็น $(V_G - V_T)$ ได้เป็น

$$Q = -C_{ox} (V_G - V_T) \quad (2.3)$$

โดยที่ $C_{ox} = \frac{\epsilon_{ox}}{l}$ คือค่าความจุ(ต่อหนึ่งหน่วยพื้นที่) ของชั้นออกไซด์ที่กั้นระหว่างเกตกับแซนแนล ใช้ในกรณีของ V_D มีค่าน้อยๆ ($V_D \ll (V_G - V_T)$) ได้เป็น

$$I_D = \mu_n C_{ox} \frac{W}{L} (V_G - V_T) V_D \quad (2.4)$$

ซึ่งทรานซิสเตอร์แสดงตัวเป็นความต้านทานโดยควบคุมด้วย V_G มีสมการเป็น

$$R = \left[\mu_n C_{ox} \frac{W}{L} (V_G - V_T) \right]^{-1} \quad (2.5)$$

เมื่อ V_D เพิ่มขึ้น และจะไม่สามารถพิจารณา V_G แต่เพียงอย่างเดียวได้ ดังนั้นสมการที่ (2.5) จึงไม่สามารถที่จะใช้ได้ สักคาของแซนแนลที่ขอสมีค่าเป็น 0 และขณะเดียวกันที่ครนมีค่าเป็น V_D โดยสามารถสมมุติค่าแรงดันเฉลี่ยในแซนแนล มีค่าเท่ากับ $V_D/2$ เป็นผลให้ค่าแรงดันเฉลี่ยระหว่างเกตกับแซนแนล มีค่าเป็น $(V_G - V_D/2)$ แล้วนำไปแทน V_G ในสมการที่ (2.4) ได้เป็น

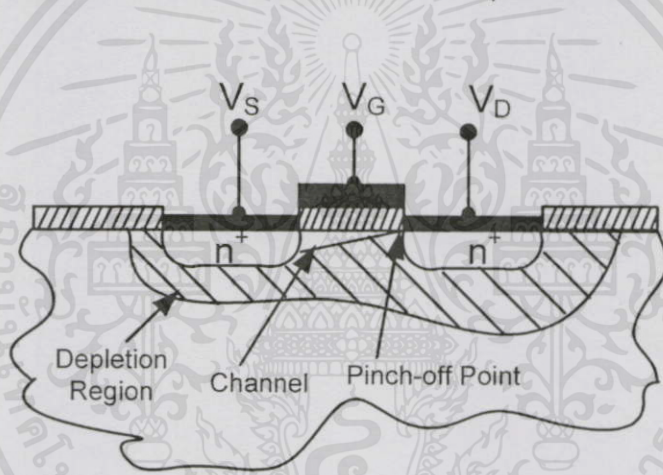
เอกสารนี้เป็นเอกสารที่สงวนไว้สำหรับการใช้งานเพื่อการศึกษาเท่านั้น ไม่อนุญาตให้นำไปใช้ประโยชน์ด้านการค้า

$$I_D = \mu_n C_{ox} \frac{W}{L} (V_G - V_T - \frac{V_D}{2}) V_D \quad (2.6)$$

ไม่ว่ากรณีใดๆ ทั้งสิ้น อีกทั้งห้ามมิให้คัดลอกหรืออ้างถึงชื่อของเอกสารทุกครั้งที่มีกรนำออกไป

ซึ่งในสมการที่ (2.6) เป็นการประมาณที่ใช้ได้ดีในกรณีที่ $V_D < (V_G - V_T)$ ซึ่งเรียกช่วงการทำงานของมอสเฟตช่วงนี้ว่า ช่วง Linear Region หรือ Ohmic Region หรือ Triode Region

เมื่อ $V_D < (V_G - V_T)$ จะเกิดปรากฏการณ์อีกอย่างหนึ่งขึ้น พิจารณาจากรูปที่ 2.5 แสดงถึงค่าศักย์ที่แปรเปลี่ยนไปภายในแชนแนล และปริมาณความเข้มข้นของประจุที่ Q_n ที่ค่อยๆ ลดลงเมื่อใกล้กับขาคเรน ถ้าที่ขาคเรนมีแรงดันเท่ากับ $V_D = V_G - V_T$ ทำให้แรงดันระหว่างเกต กับ แชนแนลมีค่าไม่เพียงพอที่จะรักษาสภาพของแชนแนล Depletion Region จะแผ่ไปรอบๆ ขาคเรน แชนแนล และขาคเรน ในบางที่อาจจะเรียกปรากฏการณ์นี้ว่า Pinch-off ในรูปที่ 2.5 จะเห็นจุด Pinch-off ซึ่งจะเคลื่อนที่ไปทางขาคเรน เมื่อแรงดันที่ขาคเรนเพิ่มขึ้น ในขณะนี้แชนแนลได้แผ่จากขาคเรนไปถึงจุด Pinch-off ที่ใดที่หนึ่งได้ขาคเรน ช่วงระหว่างจุด Pinch-off จะเป็น Depletion Region อิเล็กตรอนจากแชนแนล และถูกฉีดออกไปที่จุด Pinch-off ไปที่ Depletion Region และจะถูกดูดไปที่ขาคเรน โดยสนามไฟฟ้าที่เกิดจากความต่างศักย์ที่ขาคเรนกับจุด Pinch-off



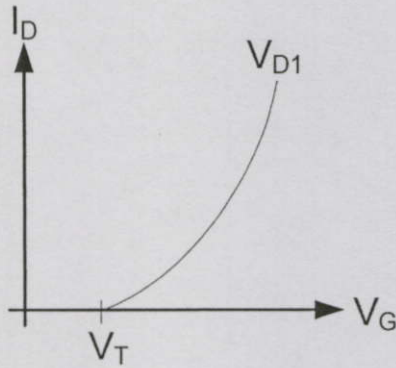
รูปที่ 2.5 มอสเฟตในกรณีที่อิ่มตัว (Saturation : Pinch-off)

โดยที่แรงดัน $V_{DS} \approx (V_D - V_S)$ จะถูกแบ่งเป็นสองส่วนคือที่แชนแนลระหว่างขาคเรนกับจุด Pinch-off และที่ Depletion Region ระหว่างจุด Pinch-off กับขาคเรน ซึ่งจุดนี้จะมีค่าความต้านทานสูงกว่า และค่า V_{DS} ส่วนใหญ่จะอยู่ที่ส่วนนี้ และเมื่อเพิ่มค่า I_D ขึ้นไป ก็เป็นการประมาณค่าที่ใช้ได้ดี ผลที่ได้เมื่อแรงดันที่ Depletion Region เพิ่มขึ้น จะทำให้กระแส I_D เพิ่ม เมื่อ $V_D > (V_G - V_T)$ ดังสมการที่ (2.7)

เอกสารนี้เป็นเอกสารที่สงวนไว้สำหรับงานเพื่อการศึกษานั้น ไม่อนุญาตให้นำไปใช้ประโยชน์ด้านอื่นๆ

$$I_D(V_D) \approx I_{D_{SAT}} \approx I_D(V_{D_{SAT}}) \quad (2.7)$$
 ไม่ว่ากรณีใดๆทั้งสิ้น อีกทั้งห้ามมิให้คัดแปลงเนื้อหา และต้องอ้างอิงถึงเจ้าของเอกสารทุกครั้งที่มีการนำไปใช้

$$I_D = \frac{\mu_n C_{OX}}{2} \frac{W}{L} (V_G - V_T)^2 \quad (2.8)$$



รูปที่ 2.6 ความสัมพันธ์ของกระแสเดรนกับแรงดันที่ขาเกต

จากสมการที่ (2.8) เห็นได้ว่ากระแส I_D จะเพิ่มขึ้นเมื่อ L ลดลง มีผลกระทบอีกอย่างหนึ่งของค่า L ที่เกิดขึ้น เรียกว่า Channel Length Modulation โดยจะคูณสมการที่ (2.8) ด้วย $(1 + \lambda V_D)$ โดยที่ค่าของ λ จะเป็นค่าคงที่แปรผกผันกับค่า L โดยทั่วไป เช่น $L = 10 \mu\text{m}$ ค่า λ มีค่าเท่ากับ 0.03 V^{-1} หรือ $\lambda \propto 1/L$



รูปที่ 2.7 ความสัมพันธ์ของกระแสเดรนและแรงดันขาเดรนกับขอส

ซึ่งความสัมพันธ์ของแรงดัน V_G กับกระแส I_D ในขณะที่แรงดันที่ขาเกตคงที่และมอสเฟต ทำงานในย่านอิ่มตัว สามารถเขียนเป็นกราฟได้ดังรูปที่ 2.6 และรูปที่ 2.7 แสดงความสัมพันธ์ระหว่างกระแสเดรน และแรงดันที่ขาเดรนกับขาสอส โดยเปลี่ยนค่า V_G โดยที่ $V_{G1} < V_{G2} < V_{G3} < V_{G4}$... ไว้สำหรับการทำงานเพื่อการศึกษาเท่านั้น ไม่นอนุญาติให้นำไปใช้ประโยชน์ด้านการค้าไม่ว่ากรณีใดๆทั้งสิ้น อีกทั้งห้ามมิให้คัดแปลงเนื้อหา และต้องอ้างอิงถึงเจ้าของเอกสารทุกครั้งที่มีการนำไปใช้

การทำงานของมอสเฟตเป็นลักษณะของการใช้แรงดันไฟฟ้าควบคุมปริมาณของกระแสสมการกระแสเดรนของมอสเฟต เป็นไปตามสมการที่ (2.9) ซึ่งแสดงคุณสมบัติการทำงานของมอสเฟต

$$I_D = K' \frac{W}{L} (V_{GS} - V_T - \frac{V_{DS}}{2}) V_{DS} \quad ; \quad V_{GS} > V_T \quad (2.9)$$

โดยที่

- K' = ค่าทรานสคอนดักแตนซ์ (Transconductance) มีค่าเท่ากับ $\mu_o C_{OX}$
 μ_o = ค่าความคล่องของโฮลหรืออิเล็กตรอน (Surface mobility of carrier)
 C_{OX} = ค่าความจุต่อพื้นที่ของเกตออกไซด์ (Capacitance per unit area of the gate oxide)
 W = ความกว้างของแชนแนล (Channel width)
 L = ความยาวของแชนแนล (Channel length)
 V_{GS} = แรงดันระหว่างขาเกตกับซอส
 V_T = แรงดันขีดเริ่ม (Threshold voltage)
 V_{DS} = แรงดันระหว่างขาเดรนกับซอส
 I_D = กระแสเดรน

มอสเฟตมีการทำงานแบ่งเป็น 3 ช่วง โดยแต่ละช่วงการทำงาน ขึ้นอยู่กับค่า $V_{GS} - V_T$ และค่า V_{DS} ถ้าค่า $V_{GS} - V_T$ เป็นศูนย์ หรือเป็นค่าลบ มอสเฟตจะอยู่ในช่วงไม่นำกระแส (Cut-Off Region)

$$I_D = 0 \quad ; \quad |V_{GS}| - |V_T| < 0 \quad (2.10)$$

ในช่วงไม่นำกระแสนี้ ช่องนำกระแสจะทำตัวเหมือนวงจรเปิด ถ้าค่า $|V_{GS}| - |V_T| > 0$ และ $0 < |V_{DS}| < |V_{GS}| - |V_T|$ แล้วมอสเฟตจะอยู่ในช่วงของการนำกระแสไม่อิ่มตัว (Triode Region)

$$I_D = K' \frac{W}{L} (V_{GS} - V_T - \frac{V_{DS}}{2}) V_{DS} \quad (2.11)$$



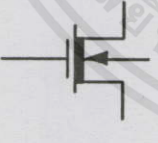
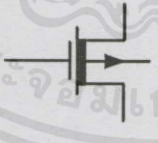
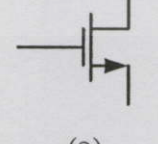
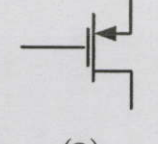


เอกสารนี้เป็นเอกสารที่สงวนไว้สำหรับการใช้งานเพื่อการศึกษาเท่านั้น ไม่อนุญาติให้นำไปใช้ประโยชน์ด้านการค้า
 ถ้าค่า $|V_{GS}| - |V_T| > 0$ และ $|V_{DS}| > |V_{GS}| - |V_T|$ แล้วมอสเฟตจะทำงานอยู่ในช่วงของการนำกระแสอิ่มตัว (Saturation Region)

$$I_D = K' \frac{W}{2L} (V_{GS} - V_T)^2 \quad (2.12)$$

2.1.5 สัญลักษณ์ของมอสเฟต

สัญลักษณ์ของมอสเฟตสามารถบอกได้ว่าเป็น มอสเฟตชนิด N หรือ P โดยดูที่หัวลูกศรที่ขาซอส ถ้าหัวลูกศรหันเข้าหาขาเกตแสดงว่าเป็น PMOS แต่ถ้าหัวลูกศรหันออกจากขาเกตแสดงว่าเป็น NMOS หรือดูที่ทิศทางของหัวลูกศรที่ขาบอดี้ (Body) หรือฐานรอง (Substrate) หรือบางทีอาจจะเรียกว่า Bulk โดยถ้าหัวลูกศรหันเข้าหาขาเกตแสดงว่าเป็น NMOS แต่ถ้าหัวลูกศรหันออกจากขาเกตแสดงว่าเป็น PMOS และสัญลักษณ์ยังสามารถบอกได้อีกว่ามอสเฟตเป็นเอ็นฮานซ์เมนต์มอส หรือ ดิพลีชั่นมอสอีกด้วย ดังรูปที่ 2.8

มอสเฟตแบ่งตามชนิดของการทำงานได้ 2 ชนิด คือ เอ็นฮานซ์เมนต์มอส (Enhancement MOSFET) และดิพลีชั่นมอส (Depletion MOSFET) ซึ่งแต่ละชนิดจะแบ่งออกได้อีกเป็น N-Channel หรือ NMOS และ P-Channel หรือ PMOS ซึ่งโครงสร้างของ NMOS และ PMOS จะมีโครงสร้างตรงข้ามกัน

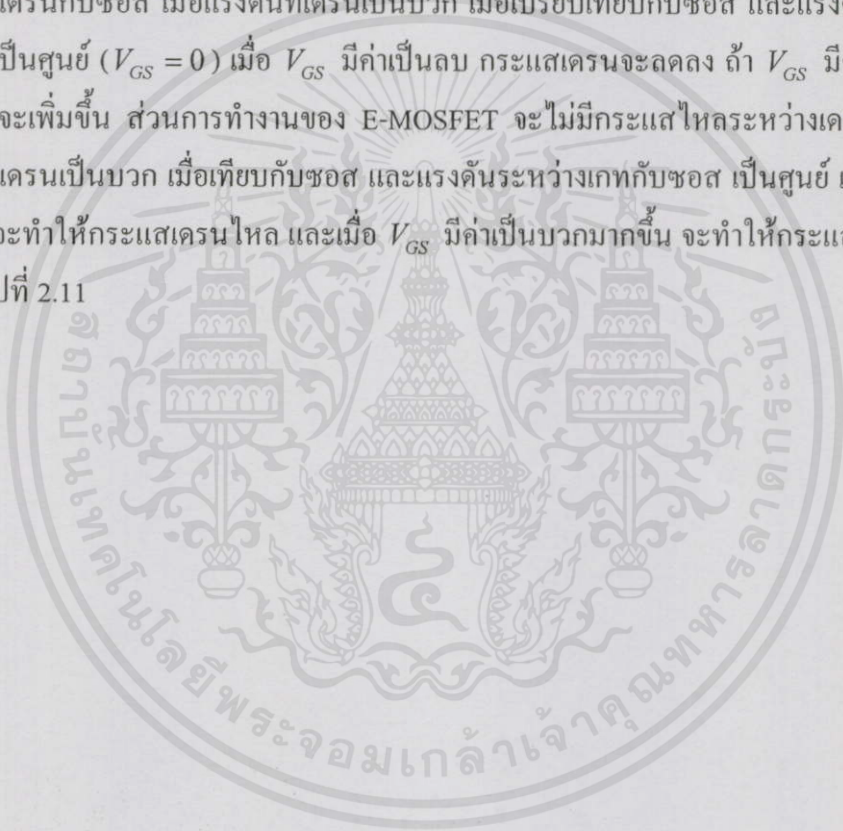
NMOS	PMOS	MODE
 (ก)	 (ข)	Enhancement
 (ค)	 (ง)	Depletion
 (จ)	 (ฉ)	Enhancement
 (ช)	 (ซ)	Depletion

รูปที่ 2.8 สัญลักษณ์ของมอสเฟตชนิดต่างๆ

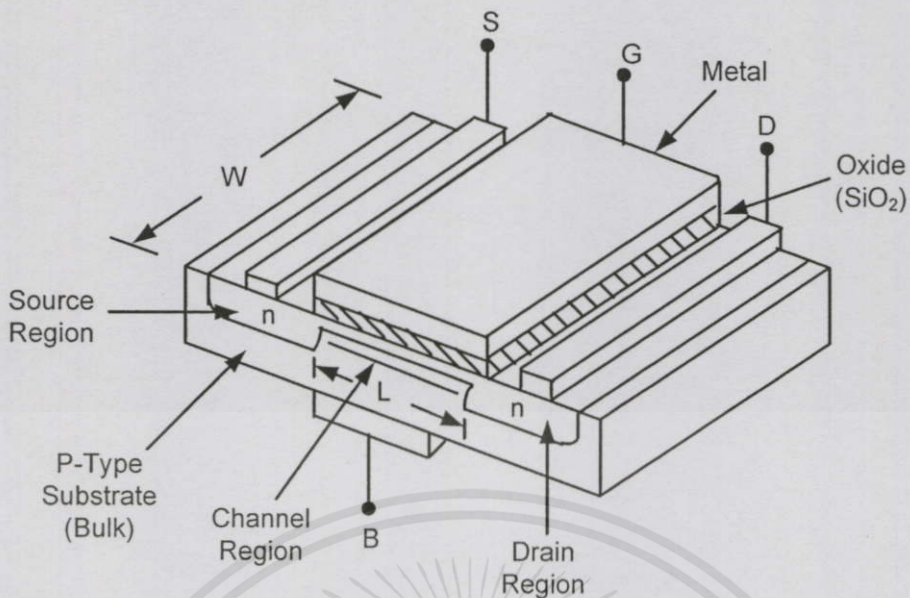
2.1.6 ชนิดของมอสเฟต

มอสเฟตแบ่งได้เป็น 2 ชนิด คือ เอ็นฮานเม้นท์มอสเฟต (Enhancement MOSFET) หรือเรียกอีกอย่างหนึ่งว่า E-MOSFET และดีพลีชันมอสเฟต (Depletion MOSFET) หรือเรียกอีกอย่างหนึ่งว่า D-MOSFET ดังรูปที่ 2.9 และ 2.10 แสดงโครงสร้างของมอสเฟตชนิด N และ P ทั้ง 2 แบบตามลำดับ

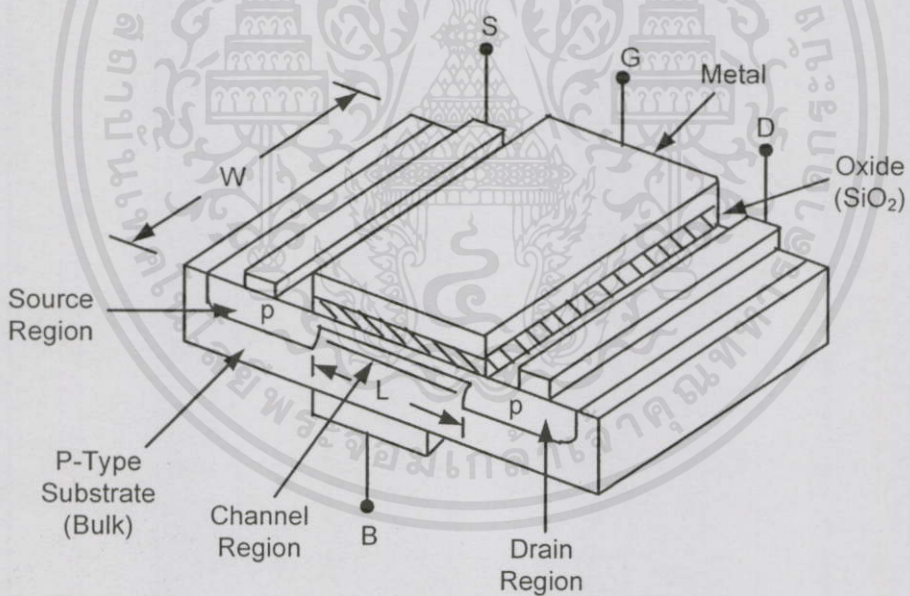
จากรูปที่ 2.9 จะเห็นว่า โครงสร้างของ D-MOSFET จะคล้ายกับ E-MOSFET จะแตกต่างกันตรงที่ช่องระหว่างซอสและเดรนของ D-MOSFET จะมีการแพร่สารเอ็นอยู่ ดังนั้นจึงมีกระแสไหลระหว่างเดรนกับซอส เมื่อแรงดันที่เดรนเป็นบวก เมื่อเปรียบเทียบกับซอส และแรงดันระหว่างเกตกับซอสเป็นศูนย์ ($V_{GS} = 0$) เมื่อ V_{GS} มีค่าเป็นลบ กระแสเดรนจะลดลง ถ้า V_{GS} มีค่าเป็นบวก กระแสเดรนจะเพิ่มขึ้น ส่วนการทำงานของ E-MOSFET จะไม่มีกระแสไหลระหว่างเดรนกับซอส เมื่อแรงดันที่เดรนเป็นบวก เมื่อเทียบกับซอส และแรงดันระหว่างเกตกับซอส เป็นศูนย์ เมื่อ V_{GS} มีค่าเป็นบวก จะทำให้กระแสเดรนไหล และเมื่อ V_{GS} มีค่าเป็นบวกมากขึ้น จะทำให้กระแสเดรนไหลเพิ่มขึ้น ดังรูปที่ 2.11



เอกสารนี้เป็นเอกสารที่สงวนไว้สำหรับการใช้งานเพื่อการศึกษาเท่านั้น ไม่อนุญาตให้นำไปใช้ประโยชน์ด้านการค้าไม่ว่ากรณีใดๆทั้งสิ้น อีกทั้งห้ามมิให้คัดแปลงเนื้อหา และต้องอ้างอิงถึงเจ้าของเอกสารทุกครั้งที่มีการนำไปใช้



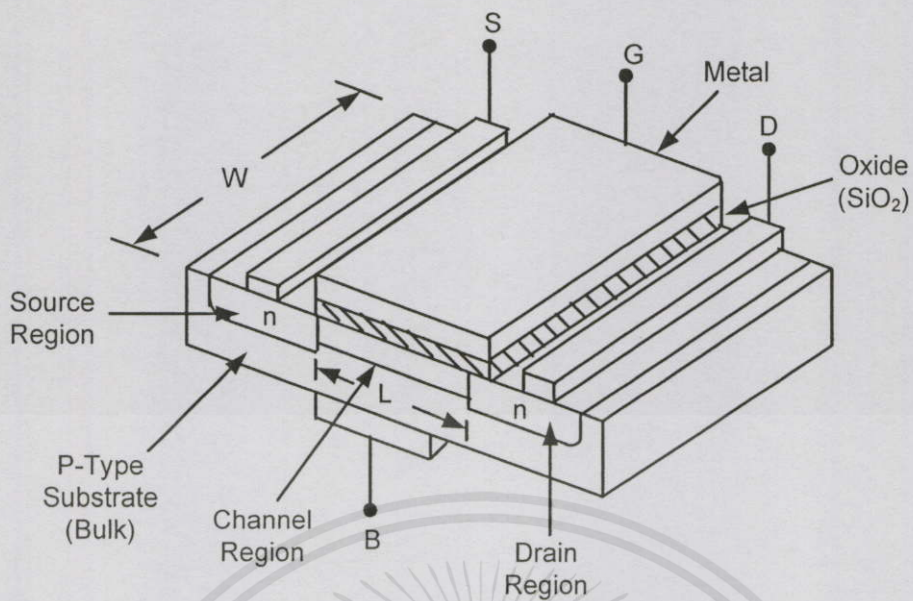
(ก) ชนิด N-Channel



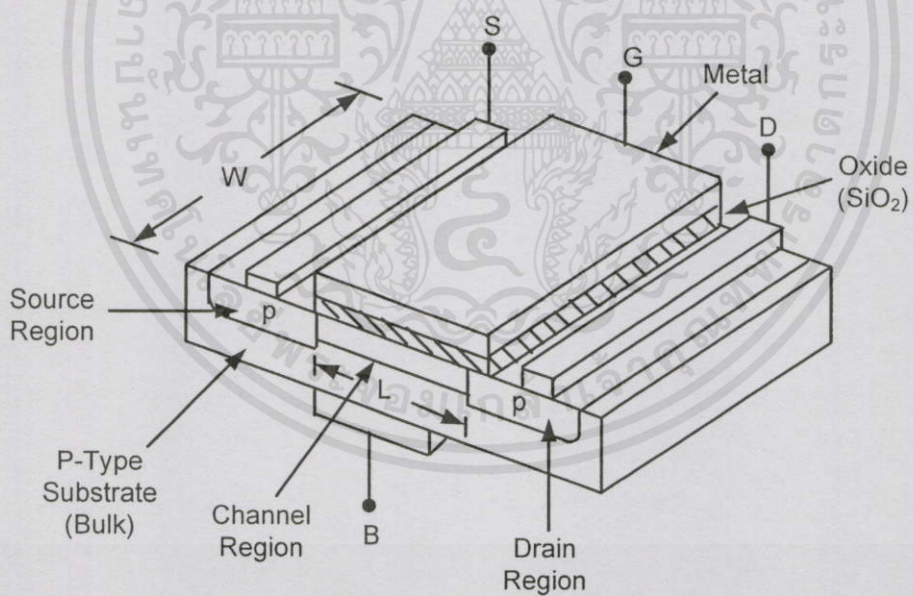
(ข) ชนิด P-Channel

รูปที่ 2.9 โครงสร้างของมอสเฟตแบบ D-MOSFET

เอกสารนี้เป็นเอกสารที่สงวนไว้สำหรับการใช้งานเพื่อการศึกษาเท่านั้น ไม่อนุญาตให้นำไปใช้ประโยชน์ด้านการค้า
ไม่ว่ากรณีใดๆทั้งสิ้น อีกทั้งห้ามมิให้คัดแปลงเนื้อหา และต้องอ้างอิงถึงเจ้าของเอกสารทุกครั้งที่มีการนำไปใช้

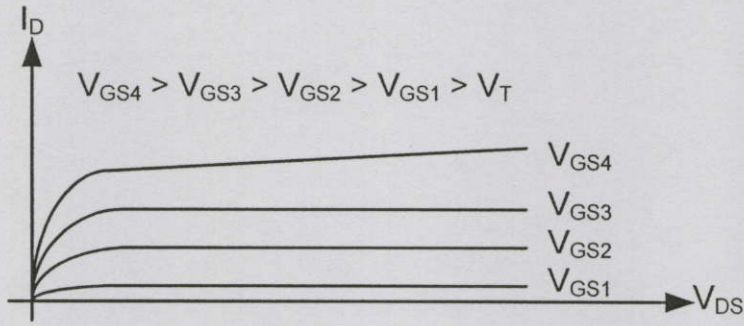


(ก) ชนิด N-Channel

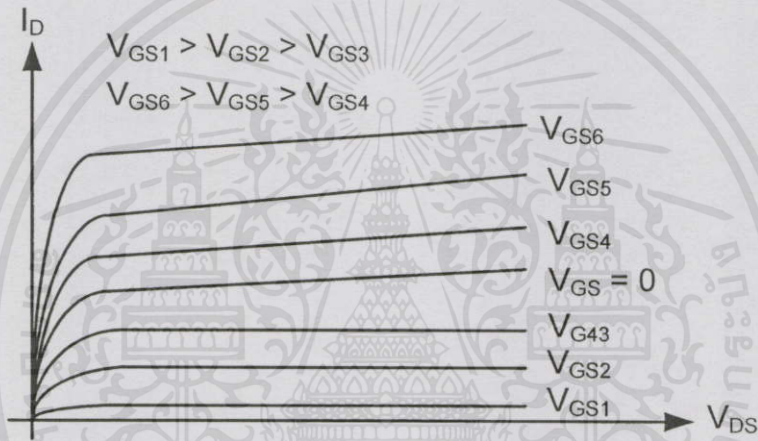


(ข) ชนิด P-Channel

เอกสารนี้เป็นเอกสารที่สงวนลิขสิทธิ์ 2.10 โครงสร้างของมอสเฟตแบบ E-MOSFET ใช้ประโยชน์ด้านการค้า
ไม่ว่ากรณีใดๆทั้งสิ้น อีกทั้งห้ามมิให้คัดแปลงเนื้อหา และต้องอ้างอิงถึงเจ้าของเอกสารทุกครั้งที่มีการนำไปใช้



(ก) E-MOSFET



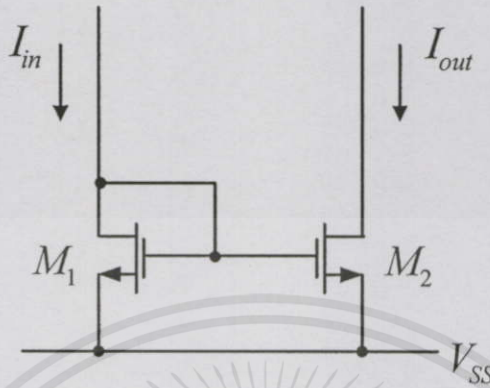
(ข) D-MOSFET

รูปที่ 2.11 กราฟแสดงความสัมพันธ์ระหว่าง I_D กับ V_{DS}

2.2 โครงสร้างและหลักการทำงานของวงจรสะท้อนกระแส (Current Mirror)

วงจรควบคุมกระแสคงที่ โดยทั่วไปในทางปฏิบัติเราจะเรียกว่าวงจรสะท้อนกระแส เป็นวงจรย่อยที่มีการใช้งานอย่างกว้างขวาง ไม่ว่าจะเป็นวงจรรวมต่างๆ หรือ วงจรดิสครีทก็ตาม วงจรควบคุมกระแสที่มีความสำคัญมากภายในตัวลิเนียร์ไอซีคือ จะเป็นตัวให้ไบอัสกับภาคขยายต่างๆ และทำหน้าที่เป็นโหลดให้กับวงจรขยาย วงจรขยายที่มีกระแสคงที่เป็นโหลด จะมีอัตราขยายแรงดันสูง และการใช้วงจรสะท้อนกระแสแทนความต้านทาน จะช่วยลดขนาดของพื้นที่ ชิป(chip) ลงได้ด้วย วงจรสะท้อนกระแสสมัยใหม่มีคุณสมบัติคือ อิมพีแดนซ์ด้านอินพุตต่ำ แต่อิมพีแดนซ์ด้านเอาต์พุต

จะสูง เนื่องจากทางเอาต์พุตจะมีคุณสมบัติเช่นเดียวกับวงจรจ่ายกระแสคงที่ (Current Source) โดยกระแสเอาต์พุตจะสะท้อนกระแสมาจากอินพุตนั่นเอง



รูปที่ 2.12 วงจรสะท้อนกระแสอย่างง่าย ที่สร้างจาก MOSFET

จากรูปที่ 2.12 เราสามารถเขียนอัตราส่วนของการสะท้อนกระแสอินพุตและเอาต์พุตในวงจรสะท้อนกระแสได้ดังสมการที่ (2.13)

$$\frac{I_{out}}{I_{in}} = \frac{(W/L)_2}{(W/L)_1} \quad (2.13)$$

2.3 โครงสร้างและหลักการทํางานของวงจรขยายความแตกต่าง (Different Amplifier)

วงจรทรานสดักแตนต์ (Transconductance Circuit) หรือเรียกอีกอย่างหนึ่งว่า วงจรเปลี่ยนแรงดันเป็นกระแส (Voltage-Current Circuit) ซึ่งเป็นวงจรร้อยในหน่วยประมวลสัญญาณทางอนาล็อก (Analog Signal Processing Units) เช่น วงจรคูณสัญญาณ วงจรตรวจจับการต่างเฟสของสัญญาณ ฯลฯ และยังเป็นส่วนหน้าของวงจรขยายสัญญาณต่างๆ ไป เช่น ออปแอมป์ วงจรทรานสดักแตนต์ที่ใช้กันกันอย่างแพร่หลายนั้นมีมากมายหลายแบบ เช่น วงจรคูดิฟเฟอร์เร็นเชียล (Differential Pair) ซึ่งเป็นวงจรคอนดักแตนต์แบบง่ายที่สุด และยังมีอีกมากมายหลายแบบ ซึ่งในวิทยานิพนธ์นี้จะเน้นหนักไปทางด้านของมอสทรานซิสเตอร์

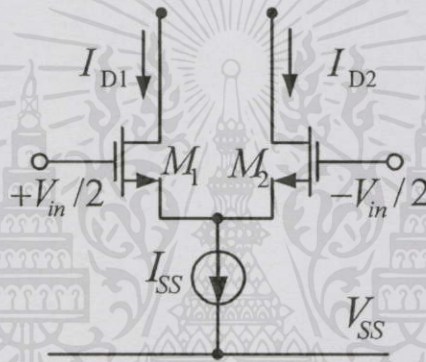
เอ็กส เรนเป็นเอ็กสเรทลวงเวส ทรอบการ ใช้งานเพื่อกำหนดทิศทางนี้ มีอนุญาติให้นำไปใช้ประโยชน์ด้านการค้า

ไม่ว่ากรณีใดๆทั้งสิ้น อีกทั้งห้ามมิให้คัดแปลงเนื้อหา และต้องอ้างอิงถึงเจ้าของเอกสารทุกครั้งที่มีการนำไปใช้

2.3.1 วงจรทรานสดักเตอร์แบบคู่ดิฟเฟอเรนเชียล

วงจรทรานสดักเตอร์แบบพื้นฐานที่สุด เห็นจะเป็นวงจรคู่ดิฟเฟอเรนเชียล ซึ่งมีทรานซิสเตอร์ 2 ตัว ต่อเป็นวงจรดิฟเฟอเรนเชียลแอมพลิฟายเออร์ หรือเรียกสั้นๆ ว่าดิฟแอมป์ (Diff. amp.) เป็นวงจรขั้นพื้นฐานที่สำคัญมากวงจรหนึ่ง

วงจรมีทั้งข้อดีและข้อเสีย กล่าวคือ เป็นวงจรที่มีโครงสร้างที่ง่าย และมีหลักการทำงานที่ง่าย แต่มีความเป็นเชิงเส้นต่ำ โดยจะพิจารณาได้ดังรูปที่ 2.13 โดยวงจรมีทรานซิสเตอร์แบบซีมอส โดยที่ M_1 และ M_2 เป็นวงจรคู่ดิฟเฟอเรนเชียล, I_{SS} คือ แหล่งจ่ายกระแสคงที่



รูปที่ 2.13 วงจรคู่ดิฟเฟอเรนเชียล

2.3.2 วงจรดิฟแอมป์ในกรณีที่สำคัญเข้ามีระดับสูง (Large-Signal)

ในกรณีที่วงจรมีสัญญาณเข้าในระดับสูงนั้น ทรานซิสเตอร์ M_1 และ M_2 ได้ต่อกันแบบคู่ดิฟเฟอเรนเชียล ซึ่งจะทำงานในย่านอิ่มตัว (Saturation Region) โดยจะไม่พิจารณาในส่วนของ Channel Modulation และทรานซิสเตอร์ทั้ง 2 ตัว สมมุติว่าผลัดขึ้นมาพร้อมๆ กัน ทำให้ค่าพารามิเตอร์ภายในเท่ากัน ทุกประการ จากคุณสมบัติเหล่านี้ สามารถเขียนเป็นสมการแรงดันอินพุทในเทอมของกระแสได้เป็น

$$I_D = \frac{\beta}{2} (V_{GS} - V_T)^2 \quad \text{เท่านั้น} \quad \text{ไม่อนุญาตให้นำไปใช้ประโยชน์ (2.14)}$$

ไม่ว่ากรณีใดๆ ทั้งสิ้น อีกทั้งห้ามมิให้คัดแปลงเนื้อหา และต้องอ้างอิงถึงเจ้าของเอกสารทุกครั้งที่มีการนำไปใช้

$$V_{ID} = V_{GS1} - V_{GS2} = \left(\frac{2I_{D1}}{\beta_1} \right)^{1/2} - \left(\frac{2I_{D2}}{\beta_2} \right)^{1/2} \quad (2.15)$$

$$I_{SS} = I_{D1} + I_{D2} \quad (2.16)$$

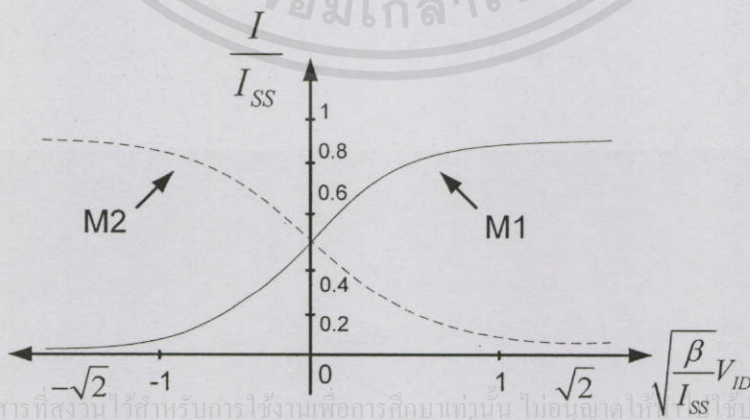
โดยที่ $\beta = K'(W/L)$ และ $\beta_1 = \beta_2 = \beta$ และแทนสมการที่ (2.16) ในสมการที่ (2.15) จะได้สมการ I_{D1} และ I_{D2} ในรูปสมการกำลังสอง (Quadratic) ได้เป็น

$$I_{D1} = \frac{I_{SS}}{2} + \frac{I_{SS}}{2} \left[\frac{\beta V_{ID}^2}{I_{SS}} - \frac{\beta^2 V_{ID}^4}{4I_{SS}^2} \right]^{1/2} \quad (2.17)$$

$$I_{D2} = \frac{I_{SS}}{2} - \frac{I_{SS}}{2} \left[\frac{\beta V_{ID}^2}{I_{SS}} - \frac{\beta^2 V_{ID}^4}{4I_{SS}^2} \right]^{1/2} \quad (2.18)$$

จากสมการที่ (2.17) และ (2.18) สามารถนำมาเขียนกราฟแสดงความสัมพันธ์ระหว่าง การ normalized กระแสเดรน กับ การ normalized ความแตกต่างแรงดันอินพุต ได้ดังรูปที่ 2.14

จากสมการที่ (2.17) ค่าของสมการ Differential Amplifier ของรูปที่ 2.14 นั้น I_{D1} จะอยู่ใน เทอมของ V_{ID} โดยดิฟเฟอเรนเชียล ค่าของ I_{D1} เทียบกับค่าของ V_{ID} ขณะที่เรากำหนดให้ค่าความ นิ่ง (Quiescent Value) ของ V_{ID} มีค่าเท่ากับ 0 จะได้ค่า ดิฟเฟอเรนเชียลทรานสคอนดักแตนซ์ ของ รูปที่ 2.13 เป็นดังสมการที่ (2.19)



เอกสารนี้เป็นเอกสารที่สงวนไว้สำหรับการใช้งานเพื่อการศึกษาเท่านั้น ไม่อนุญาตให้ $\sqrt{\frac{\beta}{I_{SS}}}$ ใช้ประโยชน์ด้านการค้า ไม่ว่ากรณีใดๆทั้งสิ้น อีกทั้งห้ามมิให้คัดแปลงเนื้อหา และต้องอ้างอิงถึงเจ้าของเอกสารทุกครั้งที่มีการนำไปใช้

รูปที่ 2.14 กราฟแสดงความสัมพันธ์ระหว่างแรงดันอินพุตกับผลต่างของกระแส

$$g_m = \left. \frac{\partial I_{D1}}{\partial V_{ID}} \right|_{V_{ID}=0} = \left(\frac{\beta_1 I_{SS}}{4} \right)^{1/2} = \left(\frac{K' I_{SS} W_1}{4L_1} \right)^{1/2} = \left(\frac{K' I_{D1} W_1}{2L_1} \right)^{1/2} \quad (2.19)$$

จากสมการที่ (2.19) ค่าทรานสคอนดักแตนซ์ที่ได้นั้นจะเป็นค่า Single-end Output Transconductance ซึ่งอยู่ในรูปที่ 2.14 สามารถที่จะหาค่าสมการที่จะบอกเป็นค่า Differential Transconductance (g_{md}) ได้จากคุณสมบัตินี้

$$I_{OD} = I_{D1} - I_{D2} \quad (2.20)$$

และในกรณีเดียวกัน จึงสามารถเขียนสมการ g_{md} ได้เป็น

$$g_{md} = \left. \frac{\partial I_{D1}}{\partial V_{ID}} \right|_{V_{ID}=0} = (\beta_1 I_{SS})^{1/2} = \left(\frac{K' I_{SS} W_1}{L_1} \right)^{1/2} = \left(\frac{2K' I_{D1} W_1}{L_1} \right)^{1/2} \quad (2.21)$$

2.4 สรุป

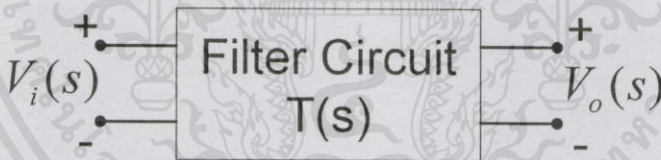
ในบทนี้จะกล่าวถึง กระบวนการประดิษฐ์สารกึ่งตัวนำแบบมอส อย่างพอสังเขป และการทำงานในย่านการทำงานแบบต่างๆ ซึ่งทำให้ทราบได้ว่าการทำงานในย่านต่างๆ เกิดขึ้นได้อย่างไร และมีสมการที่เกี่ยวข้องเพื่อช่วยในการคำนวณในวงจรต่างๆ ที่ประกอบขึ้นจากมอสเฟต ซึ่งมอสเฟตเป็นอุปกรณ์ทางอิเล็กทรอนิกส์ชนิดหนึ่งที่สามารถควบคุมปริมาณของกระแสครนได้ด้วยสนามไฟฟ้าที่เกิดขึ้นจากแรงดันที่ขาคาท สามารถแบ่งตามชนิดของมอสเฟตได้เป็น เอ็นฮานเม้นท์มอสเฟต และดีพลีชันมอสเฟต ซึ่งแต่ละชนิดจะแบ่งออกเป็น NMOS และ PMOS ซึ่งการไบอัสจะมีลักษณะตรงกันข้ามกัน เมื่อพิจารณาจากสมการกระแสครนของมอสเฟตนั้นๆ จะแบ่งเป็น 3 ย่านการทำงาน ขึ้นอยู่กับค่าของ $(V_{GS} - V_T)$ ที่ป้อนเป็นอินพุตให้กับมอสเฟต โดยจะต้องมีค่ามากกว่าค่าแรงดันเทรชโฮลด์ (V_T) จึงจะสามารถควบคุมกระแสเอาท์พุทได้ แรงดันเทรชโฮลด์นั้นสามารถเปลี่ยนแปลงได้ด้วยแรงดันระหว่างขาซอส และฐานรอง (Substrate) ส่วนในหัวข้อของวงจรสะท้อนกระแส จะกล่าวถึงทฤษฎีอย่างง่ายและประโยชน์การใช้งาน เช่น ทำตัวเป็นโหลดของวงจรขยาย เป็นต้น และคุณสมบัติเอาท์พุทของวงจรสะท้อนกระแสเปรียบได้เป็นวงจรแหล่งจ่ายกระแสคงที่ ส่วนวงจรขยายความแตกต่างทำหน้าที่ในการขยายกระแสผลต่าง แต่มีความเป็นเชิงเส้นต่ำ โดยวงจรขยายความแตกต่างจะมีอินพุตเป็นแรงดันและมีเอาท์พุทเป็นรูปของกระแส

บทที่ 3

วงจรรตัวกรองความถี่

3.1 วงจรรตัวกรองความถี่ (Filter)

ในบทนี้เราจะกล่าวถึงวงจรรที่มีสำคัญมากวงจรรหนึ่งที่ใช้งานในระบบสื่อสารในปัจจุบัน ซึ่งก็คือวงจรรกรองความถี่ (Filter) วงจรรกรองความถี่แบบอนาลอกได้มีการพัฒนาทั้งทางเทคนิคและการสร้างมาอย่างต่อเนื่องนับจากอดีต ซึ่งปัจจัยหลักที่ต้องการก็คือ คุณภาพการใช้งานที่สูง และราคาต่ำ โดยวงจรรกรองความถี่ส่วนมากจะสร้างจาก ออปแอม (Operational Amplifier) แต่ข้อจำกัดคือไม่สามารถทำงานได้ในย่านความถี่สูงได้ ภายหลังจึงมีการคิดค้น สร้างวงจรรกรองความถี่ด้วยอุปกรณ์ที่เรียกว่า โอทีเอ (Operational Transconductance Amplifier : OTA) ซึ่งสามารถทำให้วงจรรกรองความถี่ทำงานได้ในความถี่สูงได้ เกนเป็นตัวแปรสำคัญที่ใช้ในวงจรรกรองความถี่ ซึ่งตัวที่จะกำหนดค่าเกนของวงจรรกรองความถี่นั้นๆ ก็คือ ออปแอมหรือโอทีเอนั่นเอง ซึ่งในการเลือกอุปกรณ์มาใช้ในการสร้างวงจรรกรองความถี่ ไม่ควรมีอุปกรณ์พาสซีฟ (Passive Component) หรือควรมีให้น้อยที่สุด เพื่อเพิ่มความยืดหยุ่นในการทำงานของวงจรรตัวกรองความถี่



รูปที่ 3.1 วงจรรตัวกรองความถี่ในรูปแบบของ Two-Port Network

จากรูปที่ 3.1 จะได้ดังสมการที่ (3.1)

$$T(s) \equiv \frac{V_o(s)}{V_i(s)} \quad (3.1)$$

ให้ค่า $s = j\omega$ จะสามารถเขียนสมการให้อยู่ในรูป magnitude-phase ได้เป็น $T(j\omega) = |T(j\omega)| e^{j\phi(\omega)}$ ไปใช้ประโยชน์ด้านการคำนวณว่ากรณีใดๆทั้งนั้น อีกทั้งห้ามมิให้คัดแปลงเนื้อหา และต้องอ้างอิงถึงเจ้าของเอกสารทุกครั้งที่มีการนำไปใช้

$$T(j\omega) = |T(j\omega)| e^{j\phi(\omega)} \quad (3.2)$$

เมื่อแปลงสมการให้อยู่ในรูปของค่าเกณฑ์ที่มีหน่วยเป็นเดซิเบล จะได้

$$A(\omega) \equiv -20 \log |T(j\omega)| \quad (3.3)$$

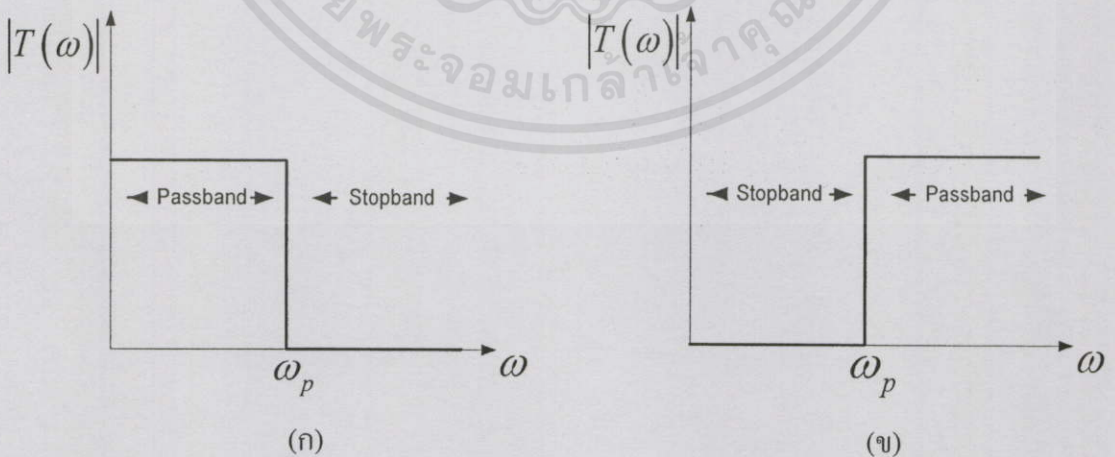
เมื่อนำสัญญาณอินพุตมาผ่านวงจรตัวกรองความถี่จะได้เป็น

$$|V_o(j\omega)| = |T(j\omega)| |V_i(j\omega)| \quad (3.4)$$

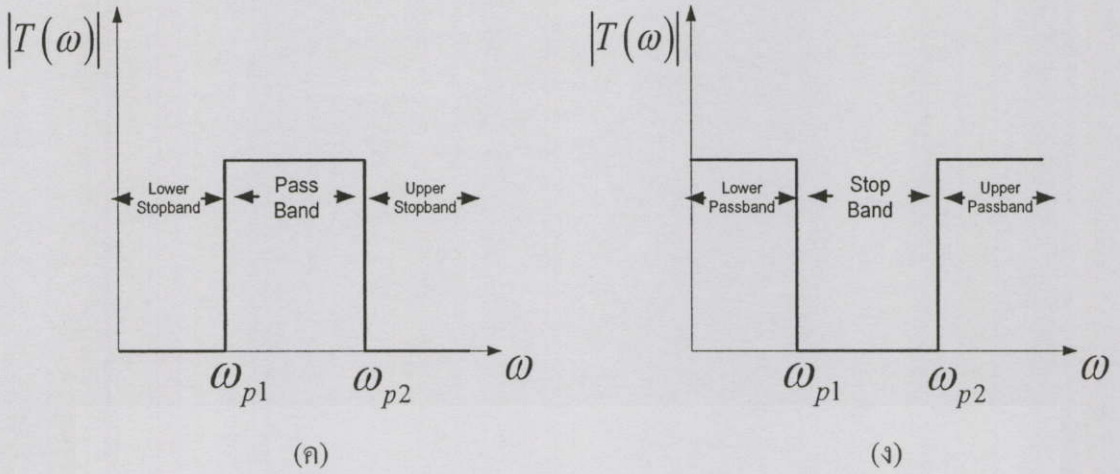
จากคุณสมบัติของวงจรตัวกรองความถี่ ค่าความถี่สัญญาณเอาต์พุตจะต้องอยู่ในช่วงที่กำหนดไว้ในวงจรตัวกรองความถี่ ส่วนค่าความถี่ที่เหลือจะต้องถูกกีดสัญญาณ ซึ่งย่านความถี่ที่สามารถผ่านวงจรตัวกรองความถี่ไปได้ เราเรียกว่า Pass Band ส่วนย่านความถี่สัญญาณที่ถูกกีดเรา จะเรียกว่า Stop Band โดยเราจะแบ่งประเภทของวงจรตัวกรองความถี่ได้เป็น 4 ประเภทหลักๆ คือ

1. ตัวกรองความถี่ต่ำผ่าน (Low Pass Filter)
2. ตัวกรองความถี่สูงผ่าน (High Pass Filter)
3. ตัวกรองความถี่ต้องการผ่าน (Band Pass Filter)
4. ตัวกรองความถี่ต้องการออก (Band Reject Filter)

ซึ่งวงจรตัวกรองความถี่แต่ละประเภท มีลักษณะการทำงานที่แตกต่างกันออกไป ดังแสดงในรูป



เอกสารนี้เป็นเอกสารที่สงวนไว้สำหรับการใช้งานเพื่อการศึกษาเท่านั้น ไม่อนุญาตให้นำไปใช้ประโยชน์ด้านการค้า ไม่ว่าจะฉีกหักทั้งสิ้น อีกทั้งห้ามมิให้คัดแปลงเนื้อหา และต้องอ้างอิงถึงเจ้าของเอกสารทุกครั้งที่มีการนำไปใช้



รูปที่ 3.2 คุณสมบัติของตัวกรองความถี่ในอุดมคติทั้ง 4 ประเภท

- (ก) ตัวกรองความถี่ต่ำผ่าน (ข) ตัวกรองความถี่สูงผ่าน
 (ค) ตัวกรองความถี่ต้องการผ่าน (ง) ตัวกรองความถี่ต้องการออก

3.2 สมการการส่งผ่าน

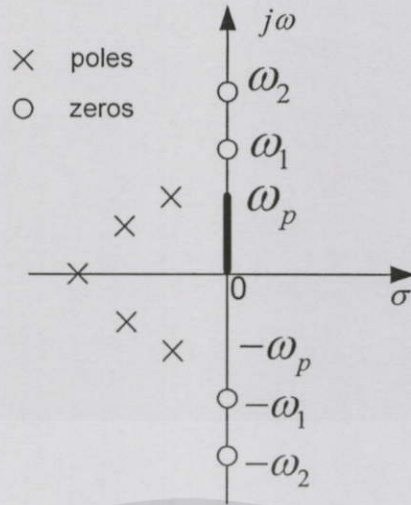
สมการการส่งผ่านของวงจรตัวกรองความถี่ สามารถเขียนให้อยู่ในรูปของสมการโพลิโนเมียล (Polynomials) ได้ดังสมการที่ (3.5)

$$T(s) = \frac{a_M s^M + a_{M-1} s^{M-1} + \dots + a_0}{s^N + b_{N-1} s^{N-1} + \dots + b_0} \quad (3.5)$$

โดยที่ N จะเป็นตัวกำหนดลำดับของตัวกรองความถี่ (Filter Order) และค่าของ M จะน้อยกว่าหรือเท่ากับค่า N จากสมการที่ (3.5) เราสามารถแยกตัวประกอบได้เป็น

$$T(s) = \frac{a_M (s - z_1)(s - z_2) \dots (s - z_M)}{(s - p_1)(s - p_2) \dots (s - p_N)} \quad (3.6)$$

เราจะเรียกค่า z_1, z_2, \dots, z_M ว่าค่าซีโร (Zero) และเรียกค่า p_1, p_2, \dots, p_N ว่าค่าโพล (Pole) โดยที่ค่าโพลและซีโร สามารถเป็นได้ทั้งจำนวนเต็มและจำนวนจินตภาพ แต่จะอยู่ในรูปของคู่คอนจูเกต (Conjugate) ตัวอย่างเช่น $1 + 2j$ เป็นซีโรของสมการการส่งผ่าน ค่า $1 - 2j$ ซึ่งเป็นคู่คอนจูเกต ก็จะเป็นซีโรของสมการการส่งผ่านเช่นเดียวกัน ดังตัวอย่าง



รูปที่ 3.3 รูปแบบ Pole และ Zero ของวงจรตัวกรองความถี่ต่ำผ่านลำดับที่ 5

จากรูปที่ 3.3 จะเห็นได้ว่า ในย่านความถี่ Stop Band ค่าซีโรจะอยู่บนแกน $j\omega$ เสมอ จะได้ค่าเศษของสมการที่ (10) เป็น $(s + j\omega_1)(s - j\omega_1)(s + j\omega_2)(s - j\omega_2)$ ซึ่งอาจเขียนให้อยู่ในรูป $(s^2 + \omega_1^2)(s^2 + \omega_2^2)$ และเมื่อแทนค่า $s = j\omega$ จะได้เป็น $(-\omega^2 + \omega_1^2)(-\omega^2 + \omega_2^2)$ ส่วนค่าโพลจะสังเกตได้ว่าจะอยู่ทางซ้ายของ s -plane เสมอ ซึ่งหมายถึงค่าโพลจะมีค่าเป็นจำนวนจริงติดลบเสมอ นั่นเอง จากนั้นนำค่าที่ได้มาแทนในสมการที่ (3.6) จะได้เป็น

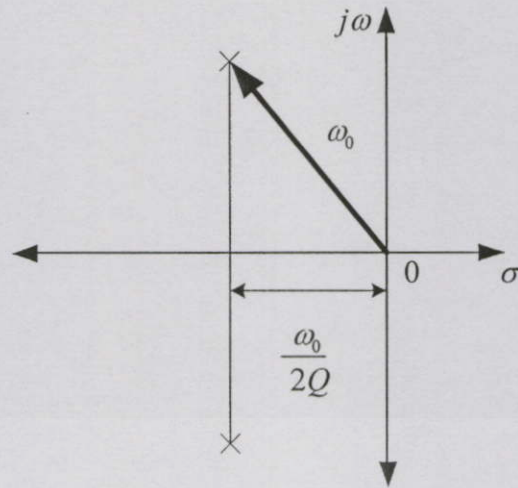
$$T(s) = \frac{a_4(s^2 + \omega_1^2)(s^2 + \omega_2^2)}{s^2 + b_4s^4 + b_3s^3 + b_2s^2 + b_1s^1 + b_0} \quad (3.7)$$

3.3 ฟังก์ชันตัวกรองความถี่ลำดับที่ 2 (Second-Order Filter Function)

รูปแบบทั่วไปของฟังก์ชันตัวกรองความถี่ลำดับที่ 2 ในรูปของสมการไบควอดเรติกเป็นดังสมการ

$$T(s) = \frac{a_2s^2 + a_1s^1 + a_0}{s^2 + s(\frac{\omega_0}{Q}) + \omega_0^2} \quad (3.8)$$

เอกสารนี้เป็นเอกสารที่สงวนไว้สำหรับการใช้งานเพื่อการศึกษาเท่านั้น ไม่อนุญาตให้นำไปใช้ประโยชน์ด้านการค้าได้
 วิศวกรณีใดๆทั้งสิ้น อีกทั้งห้ามมิให้คัด $P_1, P_2 = -\frac{\omega_0}{2Q} \pm j\omega_0\sqrt{1 - (1/4Q^2)}$ หารทุกครั้งที่มีการนำไป (3.9)



รูปที่ 3.4 ค่าโพลของตัวกรองความถี่ลำดับที่ 2

ส่วนค่าที่จะเป็นตัวบอกว่าเป็นตัวกรองความถี่ประเภทใด คือค่าสัมประสิทธิ์ a_0 , a_1 และ a_2 ซึ่งตัวกรองความถี่แต่ละชนิด จะมีสมการการส่งผ่านที่แตกต่างกันไป ดังสมการ

$$T_{BR} = \frac{s^2 + \omega^2}{s^2 + s \frac{\omega}{Q} + \omega^2} \quad (3.10)$$

$$T_{BP} = \frac{s \frac{\omega}{Q}}{s^2 + s \frac{\omega}{Q} + \omega^2} \quad (3.11)$$

$$T_{LP} = \frac{\omega^2}{s^2 + s \frac{\omega}{Q} + \omega^2} \quad (3.12)$$

และ

$$T_{HP} = \frac{s^2}{s^2 + s \frac{\omega}{Q} + \omega^2} \quad (3.13)$$

เอกสารนี้เป็นเอกสารที่สงวนไว้สำหรับการใช้งานเพื่อการศึกษาเท่านั้น ไม่อนุญาตให้นำไปใช้ประโยชน์ด้านการค้า
ไม่ว่ากรณีใดๆทั้งสิ้น อีกทั้งห้ามมิให้คัดแปลงเนื้อหา และต้องอ้างอิงถึงเจ้าของเอกสารทุกครั้งที่มีการนำไปใช้

3.4 ค่าความไวของวงจร (Sensitivity)

วิธีหนึ่งที่จะสามารถบอกได้ว่าตัวกรองที่ออกแบบมานั้นมีประสิทธิภาพดีหรือไม่ ก็คือ อุปกรณ์ (Components) ที่ใช้ในวงจร ซึ่งอุปกรณ์ที่ใช้ในตัวกรองนั้น โดยปกติแล้วจะมีความผิดพลาดเปลี่ยนแปลงตามองค์ประกอบต่างๆ เช่น อุณหภูมิ ความชื้น หรือความผิดพลาดของอุปกรณ์เอง ซึ่งการออกแบบนั้น ถ้าต้องการให้วงจรมีประสิทธิภาพสูง องค์ประกอบของวงจรจะต้องไม่เปลี่ยนแปลงเลย แต่ในทางปฏิบัติไม่เป็นเช่นนั้น จะเกิดความเปลี่ยนแปลงเสมอ ซึ่งเรามีความจำเป็นต้องรู้ถึงค่าของความเปลี่ยนแปลงที่มีผลต่อวงจร ซึ่งเราจะเรียกวิธีนี้ว่า การวิเคราะห์ค่าความไว ซึ่งถ้าใช้การออกแบบที่ดีแล้ว จะสามารถประหยัดวงจรได้มากที่สุด เพราะไม่จำเป็นต้องใช้อุปกรณ์ที่แพงเกินความจำเป็นนั่นเอง

ตัวกรองความถี่พาสส์ไปควอดเรติกสามารถเขียนให้อยู่ในรูปมาตรฐานได้ดังนี้

$$T(s) = K \frac{s^2 + \frac{\omega_z}{Q_z} s + \omega_z^2}{s^2 + \frac{\omega_p}{Q_p} s + \omega_p^2} \quad (3.14)$$

ความไวตัวแรกที่เราจะพิจารณาคือความไวของ ω_p เปลี่ยนไป เมื่อความต้านทาน R เปลี่ยนไป โดยความเปลี่ยนแปลงของ ω_p ต่อหน่วย $\frac{\Delta\omega_p}{\omega_p}$ ต่อการเปลี่ยนแปลงต่อหน่วย $\frac{\Delta R}{R}$ ในรูปคณิตศาสตร์เขียนได้เป็น

$$S_R^{\omega_p} = \lim_{\Delta R \rightarrow 0} \frac{\frac{\Delta\omega_p}{\omega_p}}{\frac{\Delta R}{R}} \quad (3.15)$$

$$= \frac{R}{\omega_p} \frac{\partial \omega_p}{\partial R} \quad (3.16)$$

เอกสารนี้เป็นเอกสารที่สงวนไว้สำหรับกรใช้งานเพื่อการศึกษาเท่านั้น ไม่อนุญาตให้นำไปใช้ประโยชน์ด้านการค้า ซึ่งมีความหมายเดียวกันกับ

$$S_R^{\omega_p} = \frac{\partial(\ln \omega_p)}{\partial(\ln R)} \quad (3.17)$$

เมื่อทราบดีแล้วว่าราคาของการผลิตอุปกรณ์ขึ้นอยู่กับ % ของความผิดพลาดเปลี่ยนแปลง $(100 \times \frac{\Delta R}{R})$ ซึ่งเราก็สามารถหาได้จากสมการที่ (3.15) ส่วนในกรณีของความไวของตัวแปรอื่น เช่น ω_z , Q_p , Q_z และ K ต่ออุปกรณ์อื่นๆ ของ Network จะคิดด้วยวิธีเดียวกัน เช่น

$$S_C^{\omega_p} = \frac{C}{\omega_p} \frac{\partial \omega_p}{\partial C} \quad S_R^{Q_p} = \frac{R}{Q_p} \frac{\partial Q_p}{\partial R} \quad S_R^K = \frac{R}{K} \frac{\partial K}{\partial R} \quad (3.18)$$

ดังนั้นจากสมการที่ (3.17) จึงสามารถสรุปเป็นสมการที่เป็นมาตรฐานโดยใช้ตัวแปรความไว P ต่ออุปกรณ์ X ได้เป็น

$$S_X^P = \frac{X}{P} \frac{\partial P}{\partial X} = \frac{\partial(\ln P)}{\partial(\ln X)} \quad (3.19)$$

ถ้า P ไม่เป็นฟังก์ชันของ X (เช่น $P =$ ค่าคงที่) ดังนั้น

$$S_X^P = 0 \quad (3.20)$$

ถ้า $P = CX$ โดยที่ C เป็นค่าคงที่

$$S_X^{CX} = \frac{\partial(\ln CX)}{\partial(\ln X)} = \frac{\partial(\ln C)}{\partial(\ln X)} + \frac{\partial(\ln X)}{\partial(\ln X)} = 1 \quad (3.21)$$

และยังมีความสัมพันธ์อื่นๆ ที่ควรรู้ เช่น

$$S_X^P = -S_X^{1/P} \quad (3.22)$$

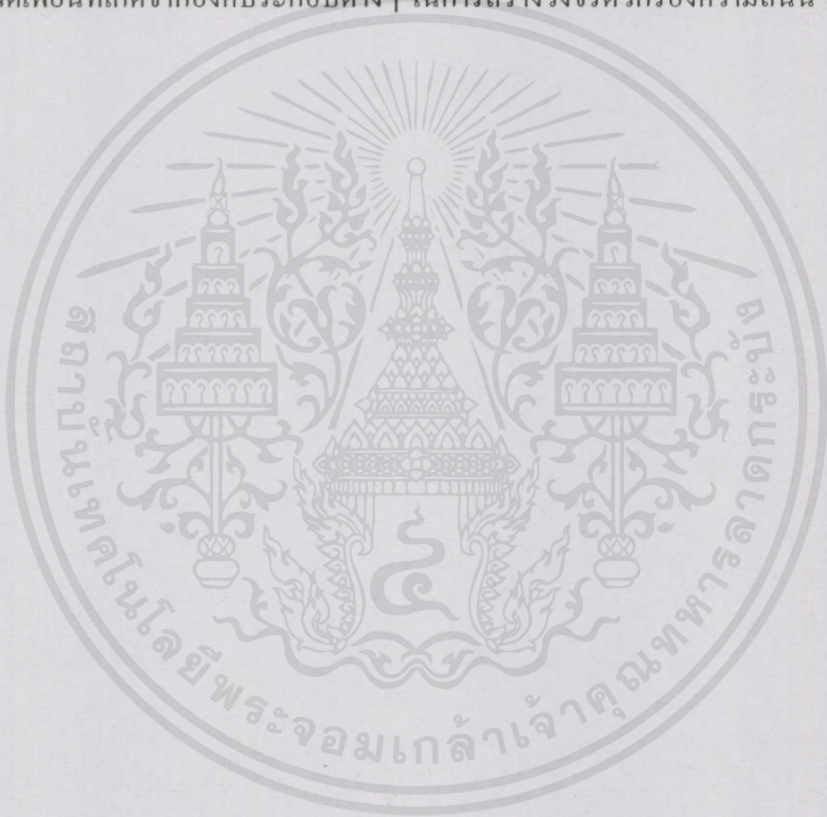
ซึ่งถ้าพิจารณาจากสมการที่ (3.17) ก็จะสามารถพิจารณาได้เช่นเดียวกันคือ

ไม่ว่ากรณีใดๆ ทั้งสิ้น อีกหนึ่งห้ามมิให้คัดแปลงเนื้อหา และต้องอ้างอิงถึงเจ้าของเอกสารทุกครั้งที่มีการนำไปใช้

$$-S_X^{1/P} = -\frac{\partial(\ln 1/P)}{\partial(\ln X)} = -\frac{\partial(-\ln P)}{\partial(\ln X)} = S_X^P \quad (3.23)$$

3.5 สรุป

วงจรตัวกรองความถี่สามารถทำงานได้ทั้งในโหมดแรงดันและในโหมดกระแส เอาท์พุทที่ออกมาจะเป็นแรงดันและกระแสตามลำดับ โดยในงานวิจัยนี้เลือกเอาตัวกรองความถี่ที่ทำงานในโหมดกระแสมาใช้ เนื่องจาก ไม่ว่า supply จะมีค่าน้อยหรือมาก ก็จะไม่มีผลต่อกระแสเอาท์พุทเลย ซึ่งต่างจากตัวกรองความถี่ที่ทำงานในโหมดแรงดันที่แรงดันเอาท์พุทจะแกว่งได้สูงสุดตาม supply และข้อดีอีกหนึ่งอย่างของการทำงานในโหมดกระแสคือ โหลดของวงจรมีผลต่อกระแสเอาท์พุทน้อย ซึ่งประสิทธิภาพการทำงานของวงจรตัวกรองความถี่สามารถบอกได้ด้วยค่าความไวของวงจร ซึ่งคือค่าความผิดเพี้ยนที่เกิดจากองค์ประกอบต่างๆ ในการสร้างวงจรตัวกรองความถี่นั้นๆ



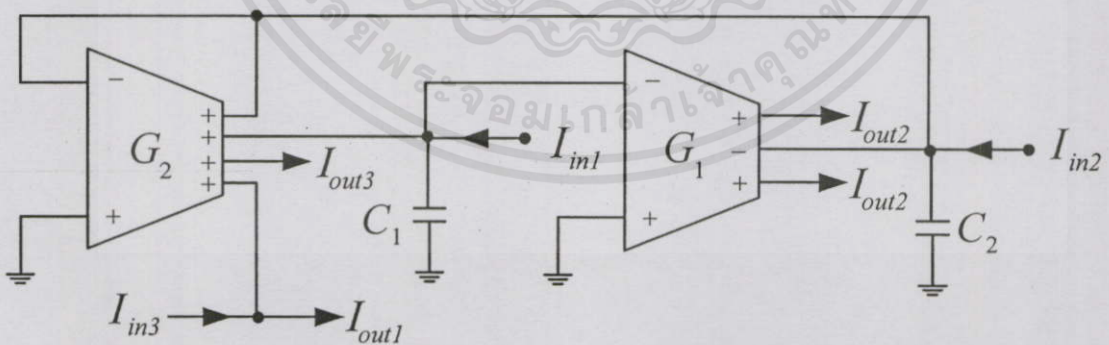
เอกสารนี้เป็นเอกสารที่สงวนไว้สำหรับการใช้งานเพื่อการศึกษาเท่านั้น ไม่อนุญาตให้นำไปใช้ประโยชน์ด้านการค้า
ไม่ว่ากรณีใดๆทั้งสิ้น อีกทั้งห้ามมิให้คัดแปลงเนื้อหา และต้องอ้างอิงถึงเจ้าของเอกสารทุกครั้งที่มีการนำไปใช้

บทที่ 4

งานวิจัยที่เกี่ยวข้อง

การทำงานของวงจรในรูปแบบกระแส เป็นที่ทราบกันเป็นอย่างดีว่ามีข้อดีกว่าวงจรที่ทำงานในรูปแบบแรงดัน โดยงานวิจัยที่มีก่อนหน้าได้ออกแบบวงจรรองความถี่ให้ทำงานในรูปแบบกระแส โดยใช้อุปกรณ์แอกทีฟไว้หลายชนิด เช่น วงจรตามกระแส [1] (Current Follower : CF) วงจรสายพานกระแส [2] (CCII) และวงจรขยายความนำ [3-8] (Operational Transconductance Amplifier : OTA) เป็นต้น โดยสมการการส่งผ่านแบบไบควอดเทรติก นับว่าเป็นหลักการที่นิยมกันอย่างกว้างขวาง และนำมาสังเคราะห์เป็นวงจรรองความถี่ได้อย่างมีประสิทธิภาพ ด้วยหลักการนี้เอง ยังสามารถสร้างเป็นตัวกรองความถี่ได้หลายรูปแบบ [10] ซึ่งเป็นที่พบเห็นกันมายาวนาน เมื่อพิจารณาวงจรรองความถี่รูปแบบกระแสที่นำเสนอไว้โดยใช้ OTA 2-3 ตัว [3-4] จะพบว่าสามารถปรับค่า ω_p และค่า Q_p ได้ด้วยวิธีอิเล็กทรอนิกส์ แต่การปรับค่า Q_p จะมีผลต่อการปรับค่า ω_p โดยในบทนี้ เราจะกล่าวถึงงานวิจัยของ C. Chang ที่ตีพิมพ์ในปี 2000 และ ปี 2003 อย่างสั้นๆ ซึ่งเป็นแนวคิดที่ทำให้เกิดงานวิจัยนี้ขึ้น

งานวิจัยของ C. Chang “Universal current-mode OTA-C biquad with the minimum components,” Aug. 2000 [4] งานวิจัยนี้เป็นการสังเคราะห์ห้วงจรรองความถี่รูปแบบกระแส ซึ่งวงจรที่ออกแบบเป็นไปตามรูปที่ 4.1



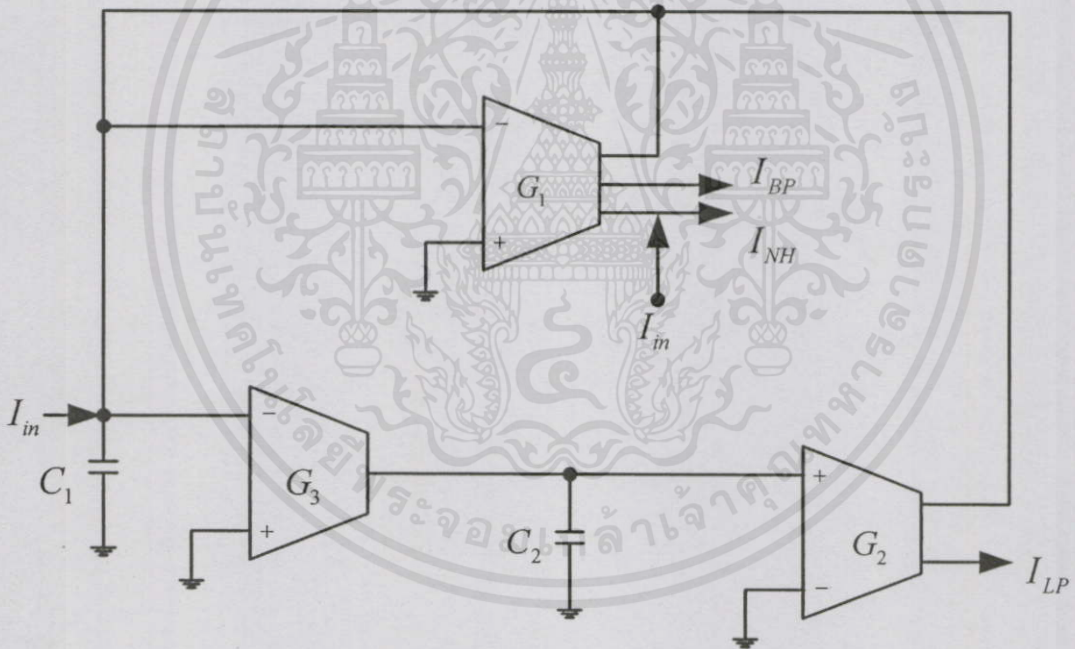
รูปที่ 4.1 วงจรรองความถี่รูปแบบกระแสของ C. Chang [4]

เอกสารนี้เป็นเอกสารที่สงวนไว้สำหรับการใช้งานเพื่อการศึกษาเท่านั้น ไม่อนุญาตให้นำไปใช้ประโยชน์ด้านการค้า จากวงจรที่แสดงดังรูปที่ 4.1 จะสามารถหาค่า ω_p และ Q_p ได้ดังสมการ

$$\omega_p = \sqrt{\frac{G_1 G_2}{C_1 C_2}} \quad (4.1)$$

$$Q_p = \frac{C_2}{G_2} \sqrt{\frac{G_1 G_2}{C_1 C_2}} \quad (4.2)$$

จากสมการที่ (4.1) และสมการที่ (4.2) จะเห็นว่า ค่า ω_p และ Q_p ไม่เป็นอิสระต่อกัน ซึ่งหมายถึงการปรับให้ได้ผลลัพธ์ตามต้องการ จะสามารถทำได้ยาก หลังจากนั้น C. Chang จึงคิดแนวทางการแก้ปัญหา เพื่อให้ค่า ω_p และ Q_p สามารถปรับค่าได้อย่างเป็นอิสระต่อกัน จึงเกิดเป็นอีกหนึ่งงานวิจัย “Unified active filter biquad structure,” Aug. 2004 [5] โดยมีการเพิ่มอุปกรณ์ OTA เข้าไปในวงจรอีก 1 ตัว เพื่อเพิ่มความยืดหยุ่นในการใช้งาน โดยวงจรที่ออกแบบมีลักษณะดังรูปที่ 4.2



รูปที่ 4.2 วงจรกรองความถี่รูปแบบกระแสของ C. Chang [5]

จากวงจรที่แสดงดังรูปที่ 4.2 จะสามารถหาค่า ω_p และ Q_p ได้ดังสมการ

เอกสารนี้เป็นเอกสารที่สงวนไว้สำหรับการใช้งานเพื่อการศึกษาเท่านั้น ไม่อนุญาตให้นำไปใช้ประโยชน์ด้านการค้า
ไม่ว่ากรณีใดๆทั้งสิ้น อีกทั้งห้ามมิให้คัดแปลงเนื้อหานี้ $\omega_p = \sqrt{\frac{G_2 G_3}{C_1 C_2}}$ โดยไม่ต้องส่งถึงเจ้าของเอกสารทุกครั้งที่มีการนำไป (4.3)

$$Q_p = \frac{C_1}{G_1} \sqrt{\frac{G_2 G_3}{C_1 C_2}} \quad (4.4)$$

จากสมการที่ (4.3) และสมการที่ (4.4) จะเห็นว่า สามารถปรับค่า ω_p และ Q_p ได้ทั้งทางอิเล็กทรอนิกส์ และทางกายภาพ แต่การค่า Q_p ด้วยค่า C_1 จะไม่เป็นอิสระต่อค่า ω_p และการปรับค่า Q_p ด้วยค่า G_1 ก็มีข้อจำกัดของ OTA ที่นำมาใช้ในวงจร งานวิจัยนี้จึงออกแบบวงจรของความถี่ที่สามารถปรับค่า ω_p และ Q_p อย่างเป็นอิสระต่อกันทั้งทางอิเล็กทรอนิกส์ และทางกายภาพ

4.1 สรุป

งานวิจัยนี้ได้แนวคิดมาจากงานวิจัยของ C. Chang 2 งานวิจัย [4], [5] ซึ่ง C. Chang ได้กล่าวถึงวงจรตัวกรองความถี่ที่ได้หลายหน้าที่ โดยใช้อุปกรณ์ในการสร้างให้น้อยที่สุด แต่ผลที่ตามมาคือ ข้อจำกัดในการใช้งานต่างๆ ที่ทำให้วงจรไม่สามารถทำงานได้อย่างเต็มประสิทธิภาพ เช่น การปรับค่า ω_p และ Q_p ซึ่งใน [4] ยังไม่เป็นอิสระต่อกัน แต่ใน [5] สามารถปรับค่าได้อย่างเป็นอิสระต่อกัน แต่มีข้อจำกัดในการปรับค่า คือสามารถปรับค่าได้แก่วิธีทางอิเล็กทรอนิกส์ได้เพียงอย่างเดียว ซึ่งก็คือการปรับค่า G_m ของ OTA ซึ่งมีข้อจำกัดในตัวอุปกรณ์อยู่

เอกสารนี้เป็นเอกสารที่สงวนไว้สำหรับการใช้งานเพื่อการศึกษาเท่านั้น ไม่อนุญาตให้นำไปใช้ประโยชน์ด้านการค้าไม่ว่ากรณีใดๆทั้งสิ้น อีกทั้งห้ามมิให้คัดแปลงเนื้อหา และต้องอ้างอิงถึงเจ้าของเอกสารทุกครั้งที่มีการนำไปใช้

บทที่ 5

วงจรกรองความถี่หลายหน้าที่ที่นำเสนอ

5.1 วงจรที่นำเสนอ

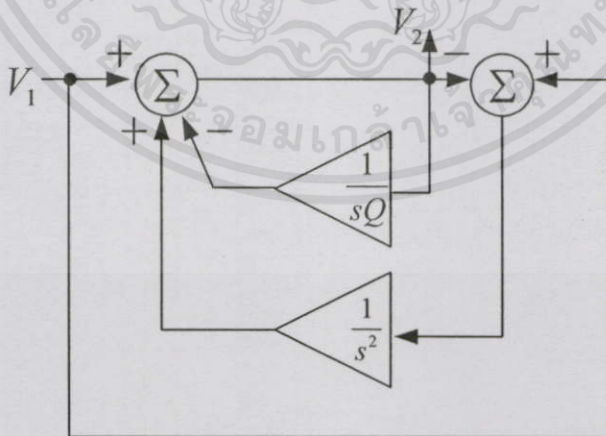
จากหลักการของสมการไบควอดเรติก วิชานีพนธ์นี้จึงนำสมการไบควอดเรติกของวงจรกรองความถี่ต้องการออก (Band-Reject Filter) มาเป็นสมการตั้งต้น โดยทำการนอร์มัลไรซ์ความถี่ ω_p ให้มีค่าเป็น 1 ดังสมการที่ (5.1)

$$\frac{V_2(s)}{V_1(s)} = \frac{s^2 + 1}{s^2 + s/Q + 1} \quad (5.1)$$

จากนั้นทำการปรับสมการให้อยู่ในรูปตามสมการที่ (5.2)

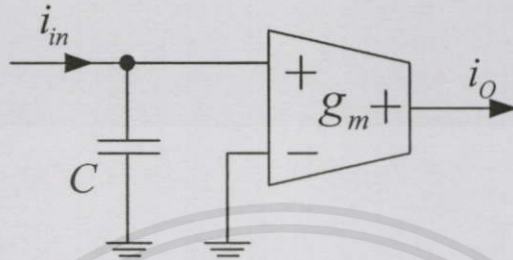
$$V_2(s) = V_1(s) + \left(\frac{V_1(s) - V_2(s)}{s^2} \right) - \frac{V_2(s)}{sQ} \quad (5.2)$$

นำสมการที่ (5.2) มาเขียนเป็น Block Diagram ได้ดังรูป



เอกสารนี้เป็นเอกสารที่สงวนลิขสิทธิ์ไว้เพื่อการศึกษาเท่านั้น ไม่อนุญาตให้นำไปใช้ประโยชน์ด้านการค้า
รูปที่ 5.1 Block Diagram ของหลักการที่นำเสนอ
ไม่ว่ากรณีใดๆทั้งสิ้น อีกทั้งห้ามมิให้คัดแปลงเนื้อหา และต้องอ้างอิงถึงเจ้าของเอกสารทุกครั้งที่มีการนำไปใช้

จาก Block Diagram จะเป็นการแสดงการทำงานในรูปแบบแรงดัน แต่เมื่อต้องการสร้างให้ทำงานในโหมดกระแส ก็สามารถทำได้เช่นเดียวกัน โดยให้ผลที่เหมือนกัน อุปกรณ์ที่ใช้สังเคราะห์เป็นวงจรกรองความถี่ในโหมดกระแสในบทความนี้ ประกอบขึ้นจาก อินทิเกรเตอร์แบบไม่มีการสูญเสีย (Lossless Integrator) ที่สร้างจาก OTA และตัวเก็บประจุแบบต่อกราวด์ดังรูปที่ 5.2 และมีสมการการส่งผ่านกระแสเป็นดังสมการที่ (5.3)

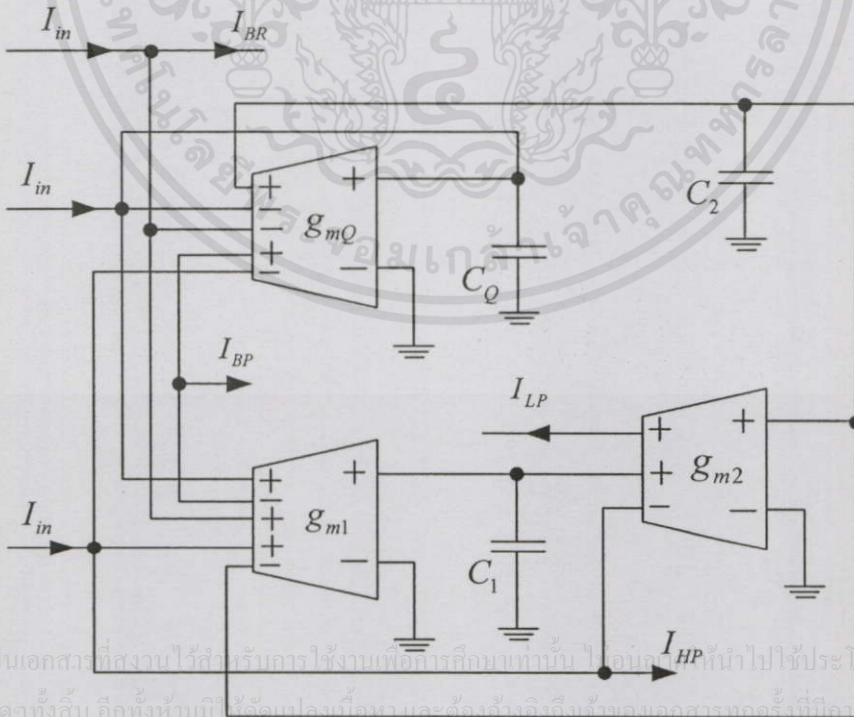


รูปที่ 5.2 อินทิเกรเตอร์แบบไม่มีการสูญเสีย

$$\frac{i_o}{i_{in}} = \frac{g_m}{sC}$$

(5.3)

จากหลักการตามรูปที่ 5.1 และรูปที่ 5.2 จะสามารถนำมาสร้างวงจรได้ดังรูปที่ 5.3



รูปที่ 5.3 วงจรกรองความถี่หลายหน้าที่รูปแบบกระแสที่นำเสนอ

5.2 สมการการส่งผ่านกระแส

เมื่อทำการวิเคราะห์ห้วงจร จะได้สมการการส่งผ่านกระแส (Current Transfer Function) ของวงกรองความถี่หลายหน้าที่ ดังสมการต่อไปนี้

$$T_{BR} = \frac{s^2 + \frac{g_{m1}g_{m2}}{C_1C_2}}{D(s)} \quad (5.4)$$

$$T_{BP} = \frac{s \frac{g_{mQ}}{C_Q}}{D(s)} \quad (5.5)$$

$$T_{LP} = \frac{\frac{g_{m2}g_{mQ}}{C_2C_Q}}{D(s)} \quad (5.6)$$

$$T_{HP} = \frac{s^2}{D(s)} \quad (5.7)$$

และ

โดยที่

$$D(s) = s^2 + s \frac{g_{mQ}}{C_Q} + \frac{g_{m1}g_{m2}}{C_1C_2} \quad (5.9)$$

เมื่อพิจารณาเทียบกับรูปแบบทั่วไปของสมการไบควอดเรติก

$$D(s) = s^2 + s \frac{\omega_p}{Q_p} + \omega_p^2 \quad (5.10)$$

ค่า ω_p และ Q_p จะมีค่าเท่ากับ

$$\omega_p = \sqrt{\frac{g_{m1}g_{m2}}{C_1C_2}} \quad (5.11)$$

เอกสารนี้เป็นเอกสารที่สงวนไว้สำหรับการใช้งานเพื่อ $\sqrt{\frac{g_{m1}g_{m2}}{C_1C_2}}$ เท่านั้น ไม่อนุญาตให้นำไปใช้ประโยชน์ด้านการค้า
ไม่ว่ากรณีใดๆทั้งสิ้น อีกทั้งห้ามมิให้คัดแปลงเนื้อหา และต้องอ้างอิงถึงเจ้าของเอกสารทุกครั้งที่มีการนำไปใช้

$$Q_p = \sqrt{\frac{g_{m1}g_{m2}}{C_1C_2}} \left(\frac{C_Q}{g_{mQ}} \right) \quad (5.12)$$

และ

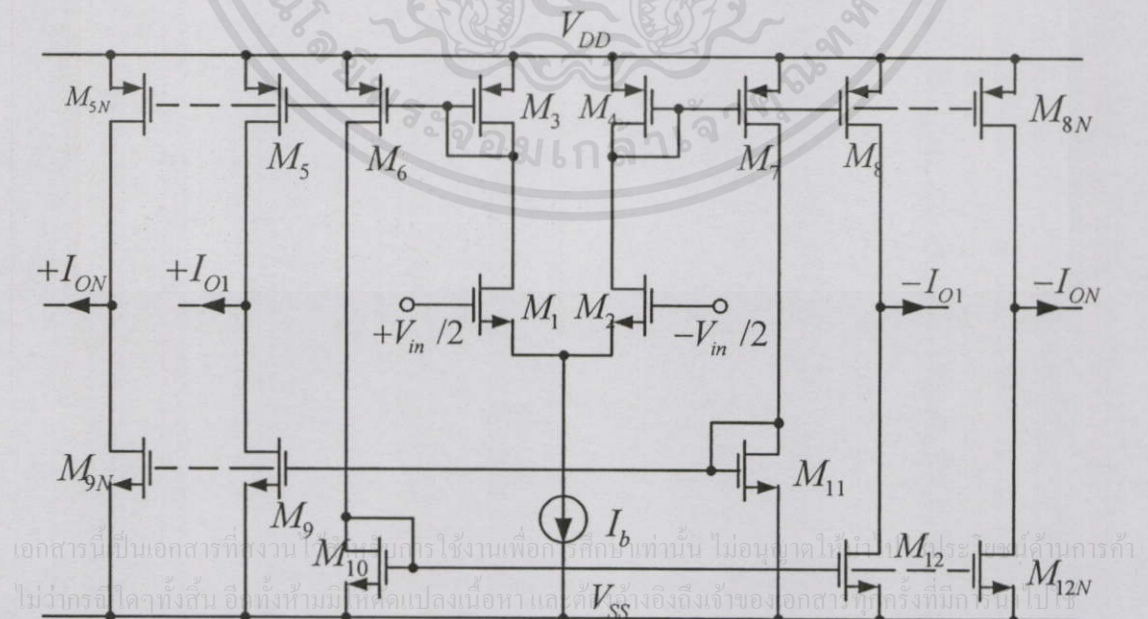
จะเห็นได้ว่า ถ้าเรากำหนดให้ $g_{m1} = g_{m2} = g$ และ $C_1 = C_2 = C$ การปรับค่า Q_p จากสมการที่ (27) จะพบว่าเราสามารถปรับค่า Q_p อย่างเป็นอิสระโดยไม่มีผลกระทบต่อ ω_p ซึ่งทำได้ 2 วิธี โดยวิธีแรก กำหนดให้ค่า $C_Q = C$ ซึ่งทำให้ค่า Q_p มีค่าเท่ากับ g_m / g_{mQ} ส่วนอีกวิธีหนึ่ง กำหนดให้ค่า $g_{mQ} = g_m$ ซึ่งทำให้ค่า Q_p มีค่าเท่ากับ C_Q / C

จากสมการที่ (5.11) และ (5.12) จะได้ค่าความไวของตัวแปรต่างๆ ในวงจรเป็น ดังตาราง

ตารางที่ 5.1 ค่าความไวของตัวแปรในวงจรที่นำเสนอ

X	$S_X^{\omega_p}$	$S_X^{Q_p}$
g_{m1}	0.5	0.5
g_{m2}	0.5	0.5
g_{mQ}	0	-1
C_1	-0.5	-0.5
C_2	-0.5	-0.5
C_Q	0	1

ในวิทยานิพนธ์นี้ ได้มีการเลียนแบบวงจรองค์ความถี่หลายหน้าที่ที่สร้าง CMOS OTA ด้วย โดย CMOS OTA ที่ใช้ มีวงจรภายในเป็นดังรูปที่ 5.4



รูปที่ 5.4 วงจรภายในของ Multi-Output OTA ที่สร้างจาก CMOS

ส่วน CMOS ที่ใช้ในวิทยานิพนธ์มีค่า W/L ดังตารางที่ 5.2

ตารางที่ 5.2 ค่า W/L ของ CMOS OTA

Transistor	W (μm)	L (μm)
M_1, M_2	5	1
M_3, M_4, M_6, M_7	5	1
M_5, M_8	5.5	1
$M_9, M_{10}, M_{11}, M_{12}$	3	1

โดยการคำนวณหาค่า g_m ของ CMOS OTA ต้องคิดค่าคุณสมบัติภายในด้วย ซึ่งสามารถคำนวณได้จากสมการที่ (5.13)

$$g_m = \frac{I_o}{V_{in}} = \sqrt{I_b (\mu_0 C_{ox} W/L)} \quad (5.13)$$

จากสมการที่ (5.13) จะเห็นได้ว่า การปรับค่า g_m สามารถทำได้โดยปรับค่า I_b ดังนั้นในการเขียนแบบวงจรกรองความถี่ที่สร้าง CMOS OTA จะทำปรับเปลี่ยนค่า I_b เพื่อปรับค่าคุณภาพของวงจร และค่าความถี่ตอบสนอง

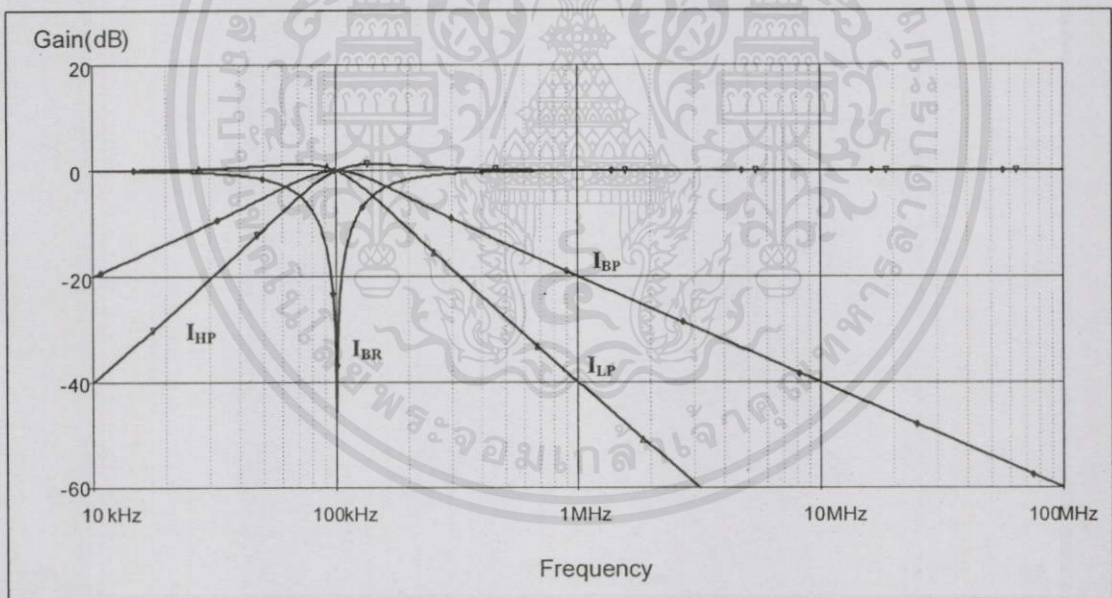
เอกสารนี้เป็นเอกสารที่สงวนไว้สำหรับการใช้งานเพื่อการศึกษาเท่านั้น ไม่อนุญาตให้นำไปใช้ประโยชน์ด้านการค้า
ไม่ว่ากรณีใดๆทั้งสิ้น อีกทั้งห้ามมิให้คัดลอกเนื้อหา และต้องอ้างอิงถึงเจ้าของเอกสารทุกครั้งที่มีการนำไปใช้

5.3 ผลการเลียนแบบวงจร

การทดลองที่ 1 ปรับค่า ω_p ด้วยค่า g_m โดยให้ค่า $Q_p = 1$ คงที่

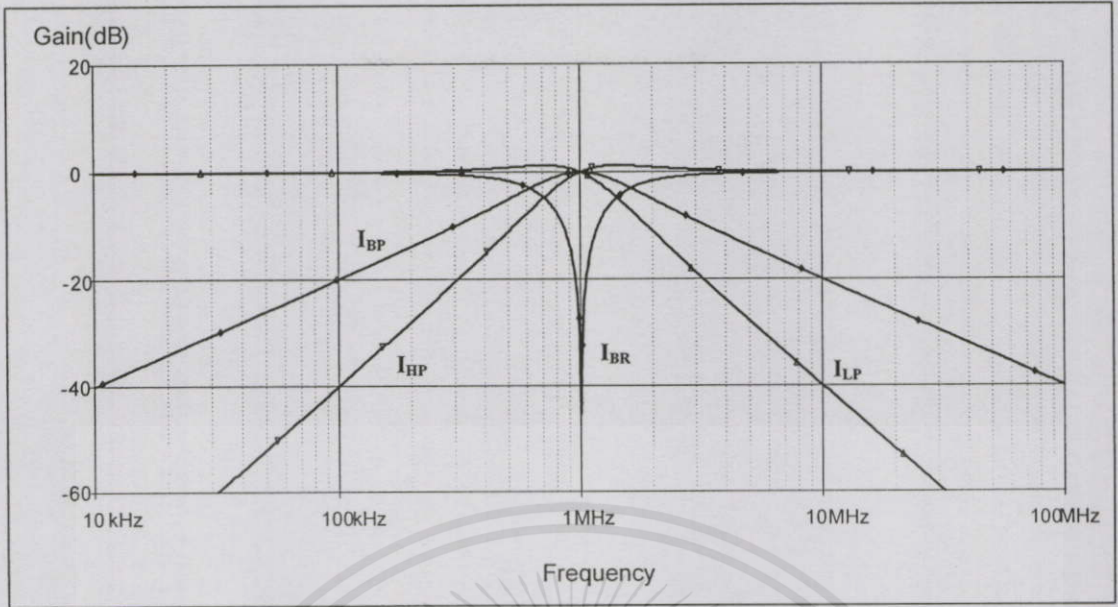
ตารางที่ 5.3 การปรับค่า f_p ด้วยค่า g_m ของ Ideal OTA

$Q_p = 1$	g_{mQ}	g_m	C_Q	C
$f_p = 100 \text{ kHz}$	$63 \mu\text{S}$	$63 \mu\text{S}$	0.1 nF	0.1 nF
$f_p = 1 \text{ MHz}$	$630 \mu\text{S}$	$630 \mu\text{S}$	0.1 nF	0.1 nF
$f_p = 10 \text{ MHz}$	$6300 \mu\text{S}$	$6300 \mu\text{S}$	0.1 nF	0.1 nF

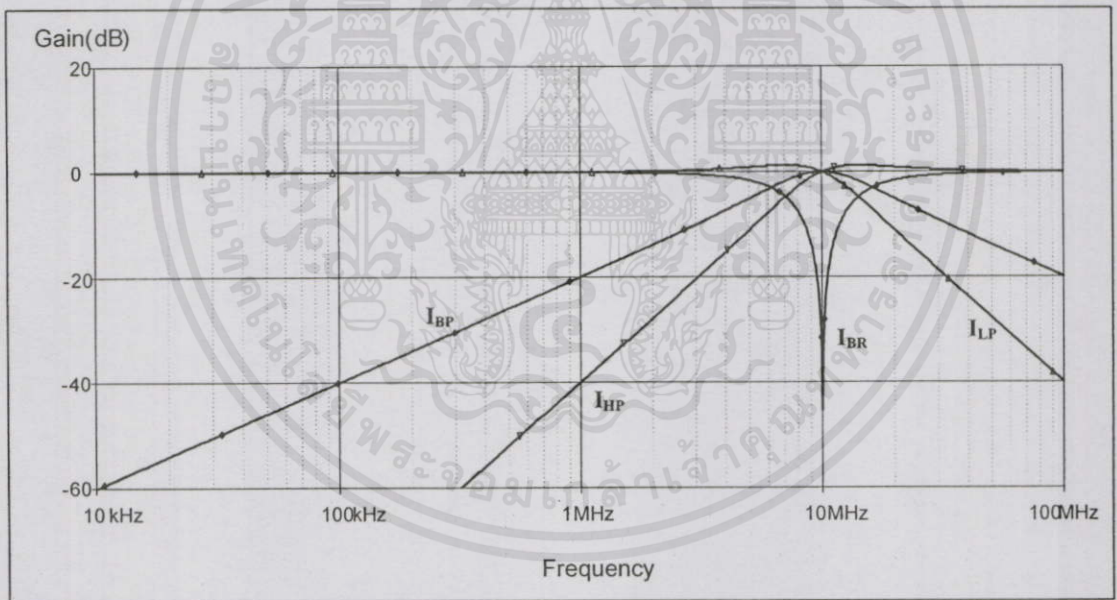


รูปที่ 5.6 คุณสมบัติของตัวกรองทั้ง 4 แบบ เมื่อค่าความถี่ตอบสนองเท่ากับ 100 kHz

เอกสารนี้เป็นเอกสารที่สงวนไว้สำหรับการใช้งานเพื่อการศึกษาเท่านั้น ไม่อนุญาตให้นำไปใช้ประโยชน์ด้านการค้า
ไม่ว่าการฉีกทุกสิ่งกัน อีกทั้งห้ามมิให้คัดแปลงเนื้อหา และต้องอ้างอิงถึงเจ้าของเอกสารทุกครั้งที่มีการนำไปใช้

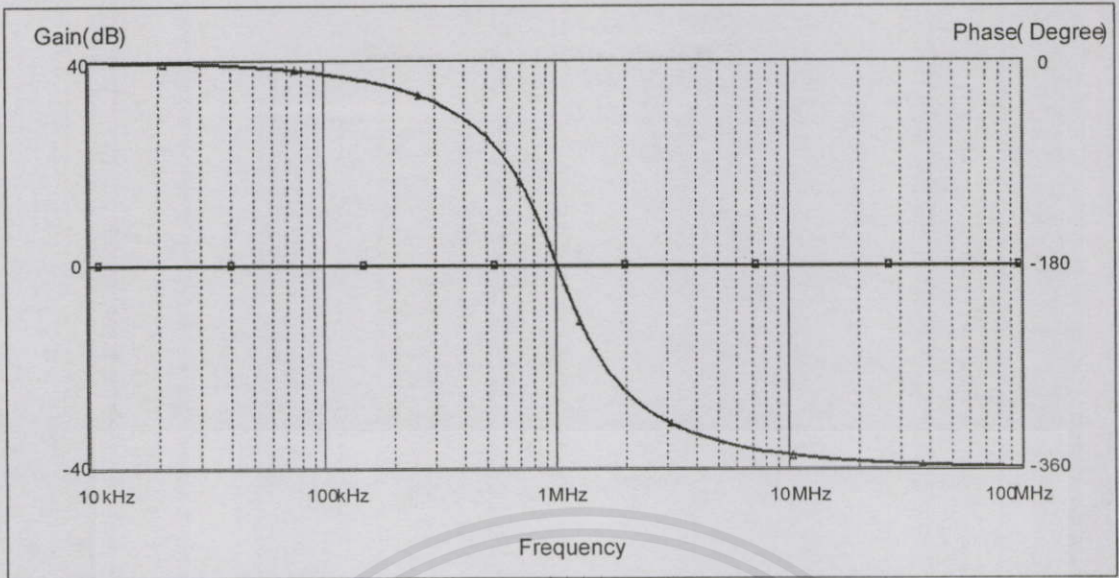


รูปที่ 5.7 คุณสมบัติของตัวกรองทั้ง 4 แบบ เมื่อค่าความถี่ตอบสนองเท่ากับ 1 MHz



รูปที่ 5.8 คุณสมบัติของตัวกรองทั้ง 4 แบบ เมื่อค่าความถี่ตอบสนองเท่ากับ 10 MHz

เอกสารนี้เป็นเอกสารที่สงวนไว้สำหรับการใช้งานเพื่อการศึกษาเท่านั้น ไม่อนุญาตให้นำไปใช้ประโยชน์ด้านการค้า
ไม่ว่ากรณีใดๆทั้งสิ้น อีกทั้งห้ามมิให้คัดแปลงเนื้อหา และต้องอ้างอิงถึงเจ้าของเอกสารทุกครั้งที่มีการนำไปใช้



รูปที่ 5.9 คุณสมบัติ Phase ของตัวกรองความถี่ผ่านของ Ideal OTA

ซึ่งพบว่า ค่าความถี่ตอบสนอง (f_p) มีค่าเท่ากับ 100 kHz, 1 MHz และ 10 MHz ตามลำดับ แสดงให้เห็นว่าการควบคุมค่าความถี่ตอบสนองมีความเป็นเชิงเส้นตามการปรับเกนของ OTA และเพื่อยืนยันหลักการจากสมการที่ (5.12) การปรับค่า Q_p จะไม่มีผลกระทบต่อความถี่ตอบสนอง โดยการจำลองการทำงานของตัวกรองจะถูกกำหนดให้มีค่าความถี่ตอบสนองที่ 1 MHz และทดลองปรับค่า Q_p เท่ากับ 1, 2, 4, 8 และ 16 ตามลำดับ ด้วยค่า g_{mQ} และ ค่า C_Q โดยกำหนดค่าของอุปกรณ์ต่างๆ ดังตารางที่ 5.4 และ 5.5

เอกสารนี้เป็นเอกสารที่สงวนไว้สำหรับการใช้งานเพื่อการศึกษาเท่านั้น ไม่อนุญาตให้นำไปใช้ประโยชน์ด้านการค้า ไม่ว่ากรณีใดๆทั้งสิ้น อีกทั้งห้ามมิให้คัดแปลงเนื้อหา และต้องอ้างอิงถึงเจ้าของเอกสารทุกครั้งที่มีการนำไปใช้

การทดลองที่ 2 ปรับค่า Q_p ด้วยค่า g_{mQ} โดยให้ค่า $f_p = 1 \text{ MHz}$ คงที่

ตารางที่ 5.4 การปรับค่า Q_p ด้วยค่า g_{mQ} ของ Ideal OTA

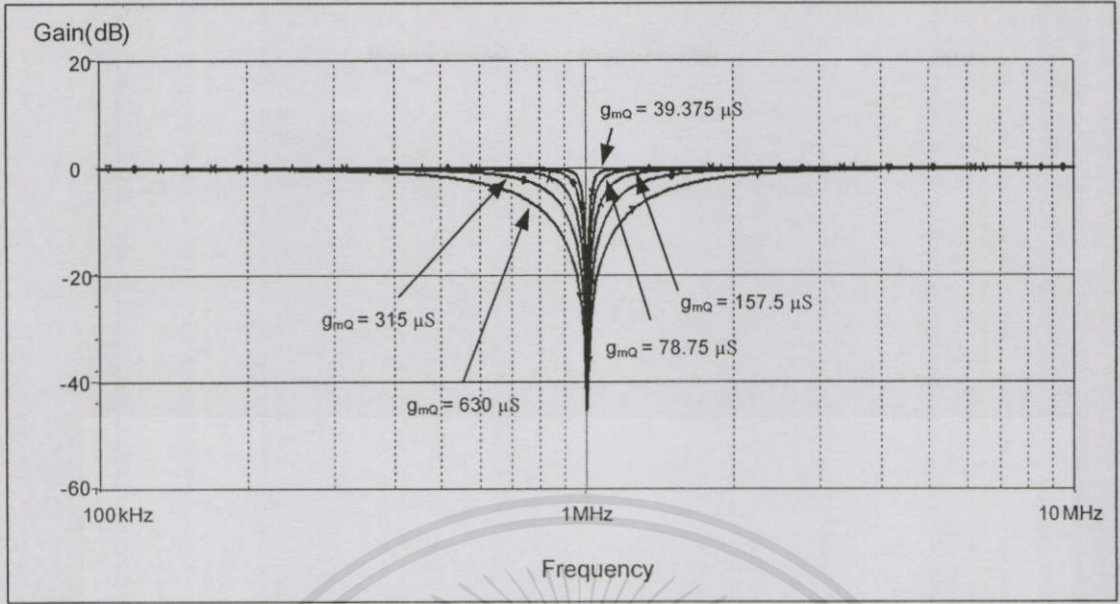
$f_p = 1 \text{ MHz}$	g_{mQ}	g	C_Q	C
$Q_p = 1$	$630 \mu\text{S}$	$630 \mu\text{S}$	0.1 nF	0.1 nF
$Q_p = 2$	$315 \mu\text{S}$	$630 \mu\text{S}$	0.1 nF	0.1 nF
$Q_p = 4$	$157.5 \mu\text{S}$	$630 \mu\text{S}$	0.1 nF	0.1 nF
$Q_p = 8$	$78.75 \mu\text{S}$	$630 \mu\text{S}$	0.1 nF	0.1 nF
$Q_p = 16$	$39.375 \mu\text{S}$	$630 \mu\text{S}$	0.1 nF	0.1 nF

การทดลองที่ 3 ปรับค่า Q_p ด้วยค่า C_Q โดยให้ค่า $f_p = 1 \text{ MHz}$ คงที่

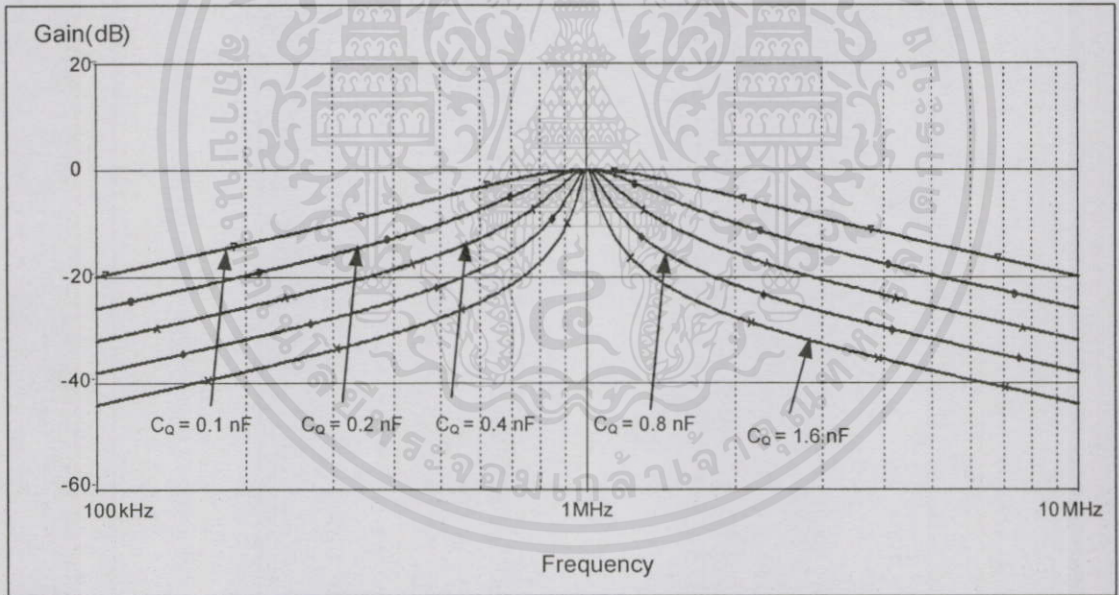
ตารางที่ 5.5 การปรับค่า Q_p ด้วยค่า C_Q ของ Ideal OTA

$f_p = 1 \text{ MHz}$	g_{mQ}	g	C_Q	C
$Q_p = 1$	$630 \mu\text{S}$	$630 \mu\text{S}$	0.1 nF	0.1 nF
$Q_p = 2$	$630 \mu\text{S}$	$630 \mu\text{S}$	0.2 nF	0.1 nF
$Q_p = 4$	$630 \mu\text{S}$	$630 \mu\text{S}$	0.4 nF	0.1 nF
$Q_p = 8$	$630 \mu\text{S}$	$630 \mu\text{S}$	0.8 nF	0.1 nF
$Q_p = 16$	$630 \mu\text{S}$	$630 \mu\text{S}$	1.6 nF	0.1 nF

เอกสารนี้เป็นเอกสารที่สงวนไว้สำหรับการใช้งานเพื่อการศึกษาเท่านั้น ไม่อนุญาตให้นำไปใช้ประโยชน์ด้านการค้า
ไม่ว่ากรณีใดๆทั้งสิ้น อีกทั้งห้ามมิให้คัดแปลงเนื้อหา และต้องอ้างอิงถึงเจ้าของเอกสารทุกครั้งที่มีการนำไปใช้



รูปที่ 5.10 เอทพุทของตัวกรองความถี่ที่ต้องการออก ทำการปรับค่า Q_p ด้วยค่า g_{mQ}

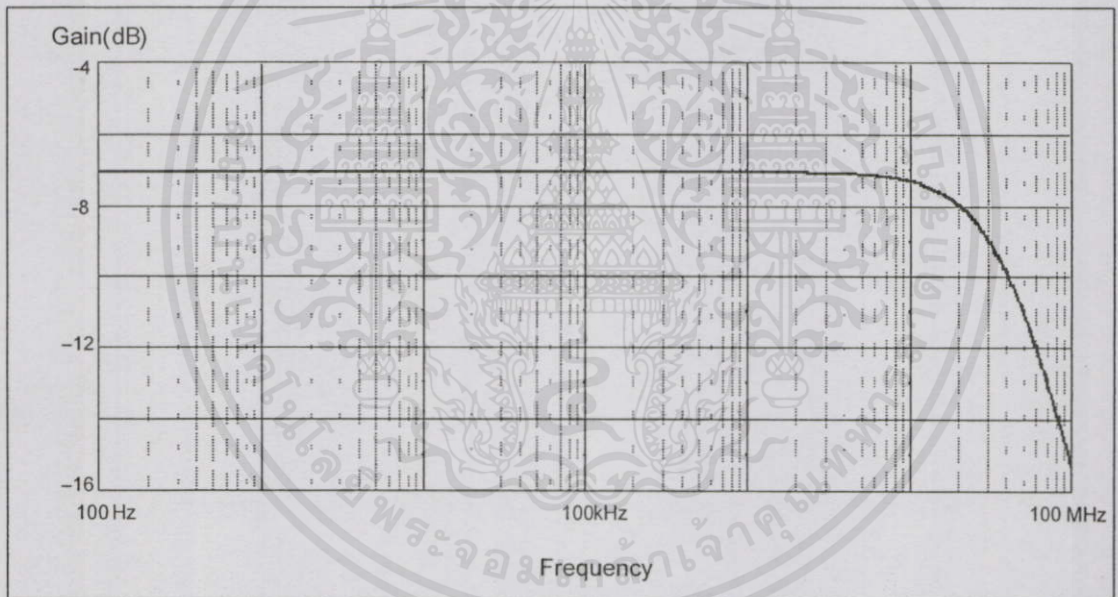


รูปที่ 5.11 เอทพุทของตัวกรองความถี่ที่ต้องการผ่าน โดยการปรับค่า Q_p ด้วยค่า C_Q

เอกสารนี้เป็นเอกสารที่สงวนไว้สำหรับการใช้งานเพื่อการศึกษาเท่านั้น ไม่อนุญาตให้นำไปใช้ประโยชน์ด้านการค้า
ไม่ว่ากรณีใดๆทั้งสิ้น อีกทั้งห้ามมิให้คัดแปลงเนื้อหา และต้องอ้างอิงถึงเจ้าของเอกสารทุกครั้งที่มีการนำไปใช้

การทดลองที่ 2 และ 3 จะให้ผลออกมาเหมือนกัน โดยผลการตอบสนองทางความถี่แสดงไว้ดังรูปที่ 5.10 และรูปที่ 5.11 ซึ่งเป็นผลของวงจรรองความถี่ที่ต้องการออก และวงจรรองความถี่ที่ต้องการผ่านตามลำดับหลักการนี้จะเห็นได้ว่า การปรับค่า Q_p จะสามารถปรับได้สูง โดยไม่มีข้อจำกัดในการปรับดังเช่นบทความก่อน [3-8] ซึ่งปรับโดยใช้ค่าความนำของ OTA แต่เพียงอย่างเดียว และพบว่าค่าการปรับค่า Q_p สามารถปรับค่าได้อย่างอิสระ ทั้งด้วยวิธีทางอิเล็กทรอนิกส์ และทางกายภาพ จะไม่มีผลกระทบต่อความถี่ตอบสนอง

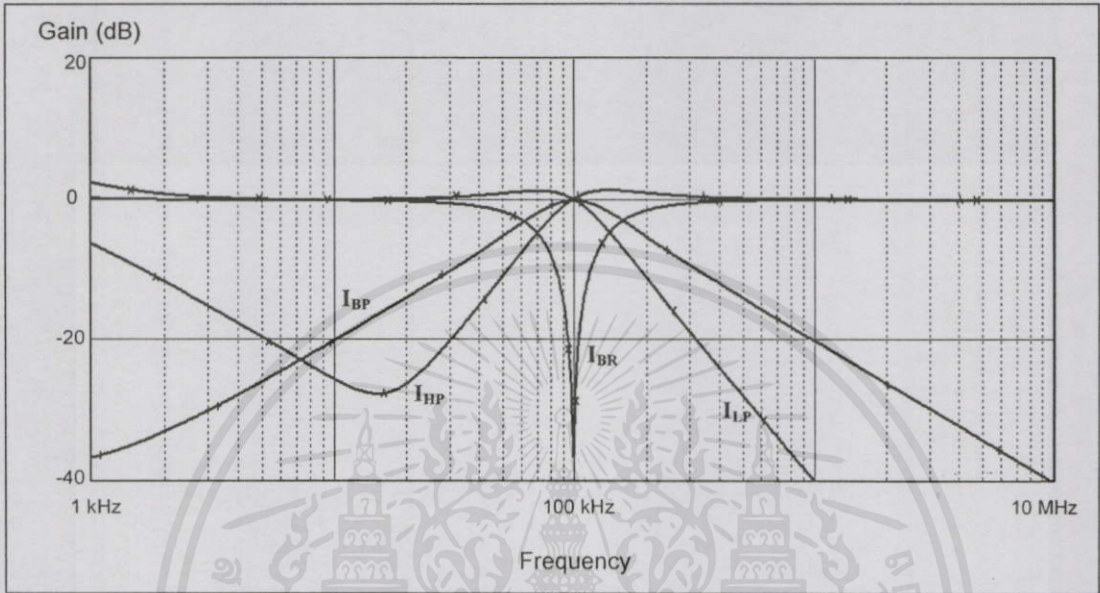
เนื่องจากในความเป็นจริง OTA ที่ใช้ในการสร้างวงจรจะไม่ใช่เป็นอุดมคติดังผลการเลียนแบบวงจรข้างต้น ดังนั้นวิทยานิพนธ์นี้จึงขอยกตัวอย่างผลการเลียนแบบวงจรตัวกรองความถี่ที่สร้างจาก CMOS OTA ซึ่งมีคุณสมบัติดังข้างต้นที่กล่าวมาแล้ว โดยเมื่อป้อนค่า $I_b = 100\mu A$ และให้ค่า $R_o = 1.5k\Omega$ เพื่อทำการหาค่า Frequency Response ได้ดังรูปที่ 5.12 จะเห็นได้ว่ามีค่าอยู่ที่ประมาณ 30 MHz



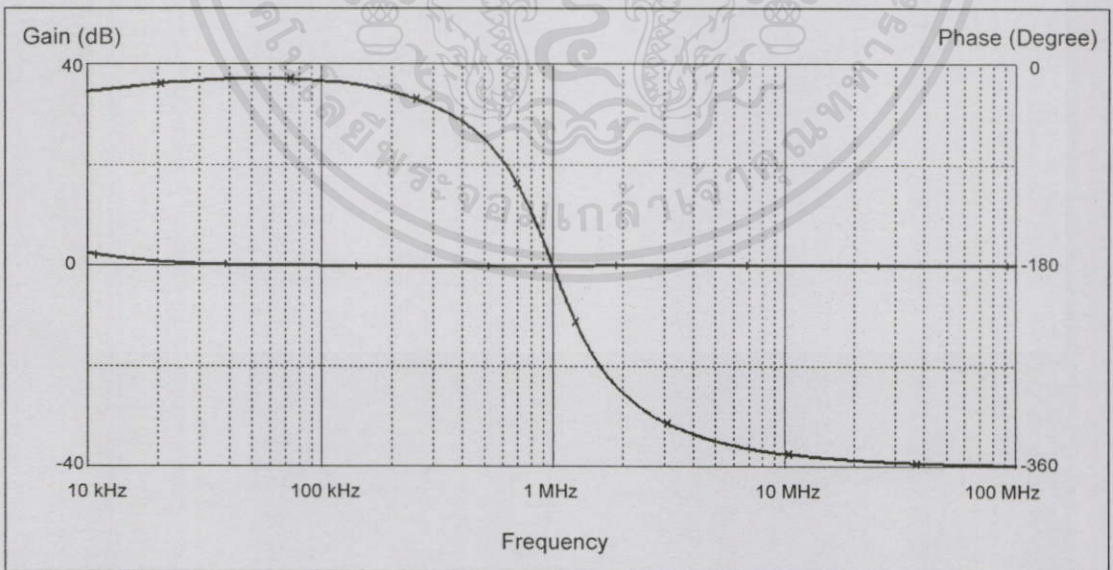
รูปที่ 5.12 Frequency Response ของ CMOS OTA ที่ใช้ในวิทยานิพนธ์

เอกสารนี้เป็นเอกสารที่สงวนไว้สำหรับการใช้งานเพื่อการศึกษาเท่านั้น ไม่อนุญาตให้นำไปใช้ประโยชน์ด้านการค้า ไม่ว่าจะกรณีใดๆทั้งสิ้น อีกทั้งห้ามมิให้คัดแปลงเนื้อหา และต้องอ้างอิงถึงเจ้าของเอกสารทุกครั้งที่มีการนำไปใช้

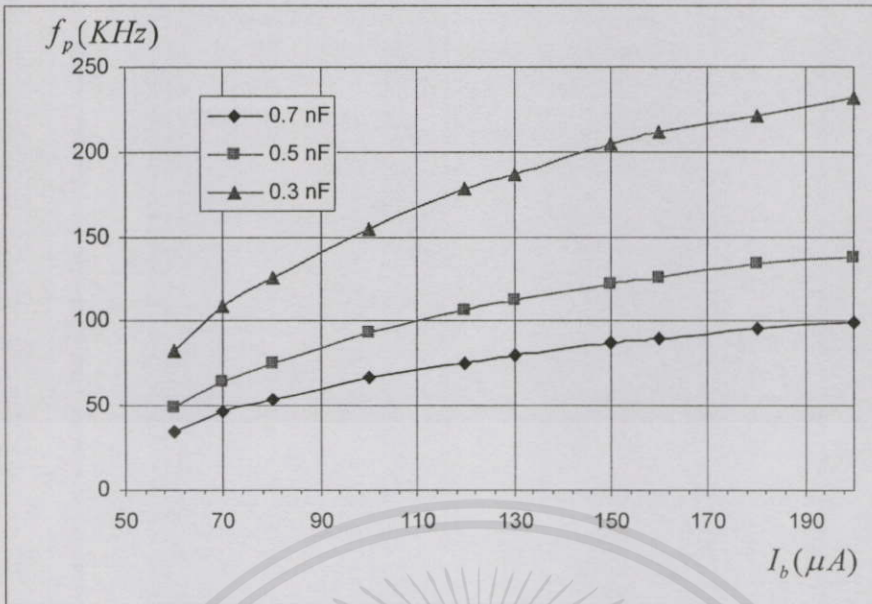
การทดลองที่ 4 แสดงคุณสมบัติต่างๆ ของวงจรกรองความถี่ที่สร้างจาก CMOS OTA โดยให้ค่า $f_p = 100 \text{ kHz}$ คงที่ ค่า $C = C_O = 0.7 \text{ nF}$ และ $I_b = I_{bO} = 200 \text{ } \mu\text{A}$



รูปที่ 5.13 คุณสมบัติของตัวกรองทั้ง 4 แบบ เมื่อค่าความถี่ตอบสนองเท่ากับ 100 kHz

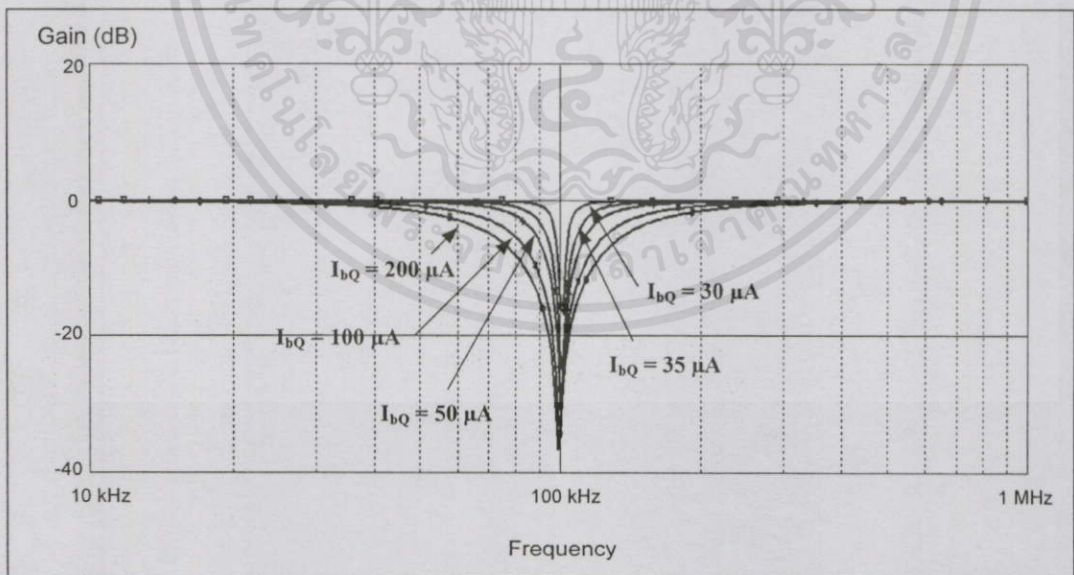


เอกสารนี้เป็นเอกสารที่สงวนไว้สำหรับการใช้งานเพื่อการศึกษาเท่านั้น ไม่อนุญาตให้นำไปใช้ประโยชน์ด้านการค้า
ไม่ว่ากรณีใดๆ รูปที่ 5.14 คุณสมบัติ Phase ของตัวกรองความถี่ผ่านของ CMOS OTA ที่การนำไปใช้

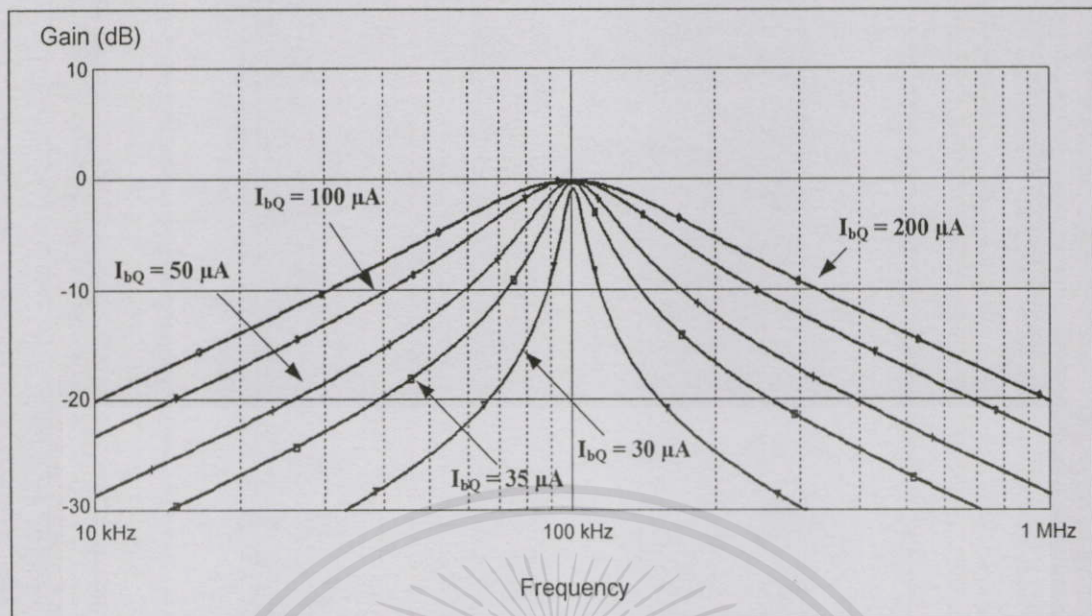


รูปที่ 5.15 กราฟแสดงความสัมพันธ์ค่าความถี่ตอบสนอง (f_p) กับค่ากระแส I_b

การทดลองที่ 5 ปรับค่า Q_p ด้วยค่า I_{bQ} โดยให้ค่า $f_p = 100 \text{ kHz}$ คงที่ และค่า $C = C_Q = 0.7 \text{ nF}$



เอกสารนี้เป็นเอกสารที่สงวนไว้สำหรับการใช้งานเพื่อการศึกษาเท่านั้น ไม่อนุญาตให้นำไปใช้ประโยชน์ด้านการค้า
รูปที่ 5.16 เอาท์พุทของตัวกรองความถี่ที่ต้องการออก ทำการปรับค่า Q_p ด้วยค่า I_{bQ}
ไม่ว่ากรณีใดๆทั้งสิ้น อีกทั้งห้ามมิให้คัดแปลงเนื้อหา และต้องอ้างอิงถึงเจ้าของเอกสารทุกครั้งที่มีการนำไปใช้

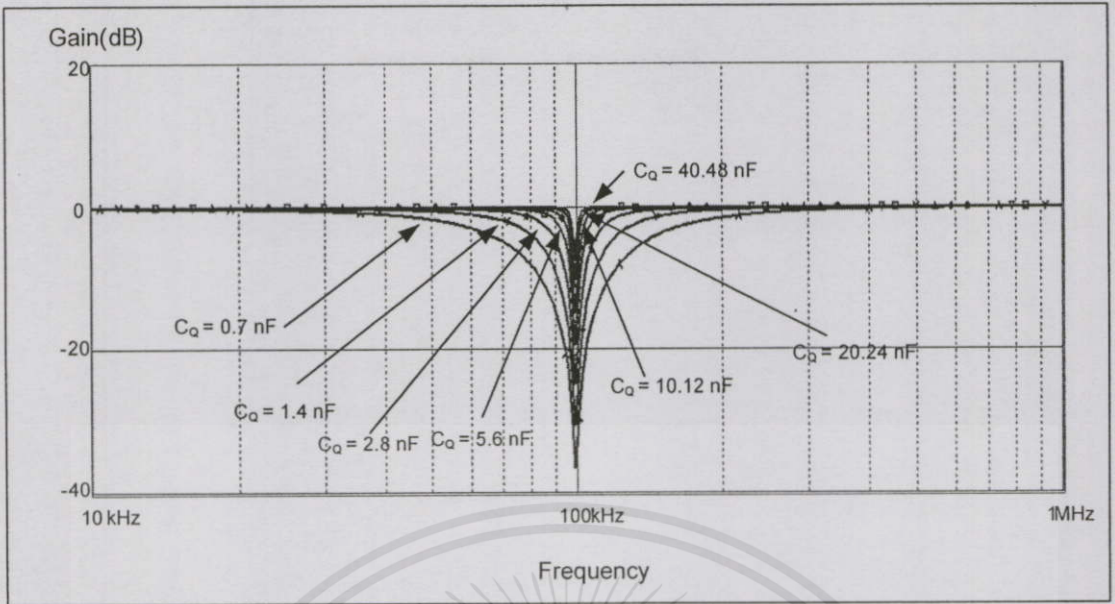


รูปที่ 5.17 เอ๊าท์พุทของตัวกรองความถี่ที่ต้องการผ่าน โดยการปรับค่า Q_p ด้วยค่า I_{bQ}

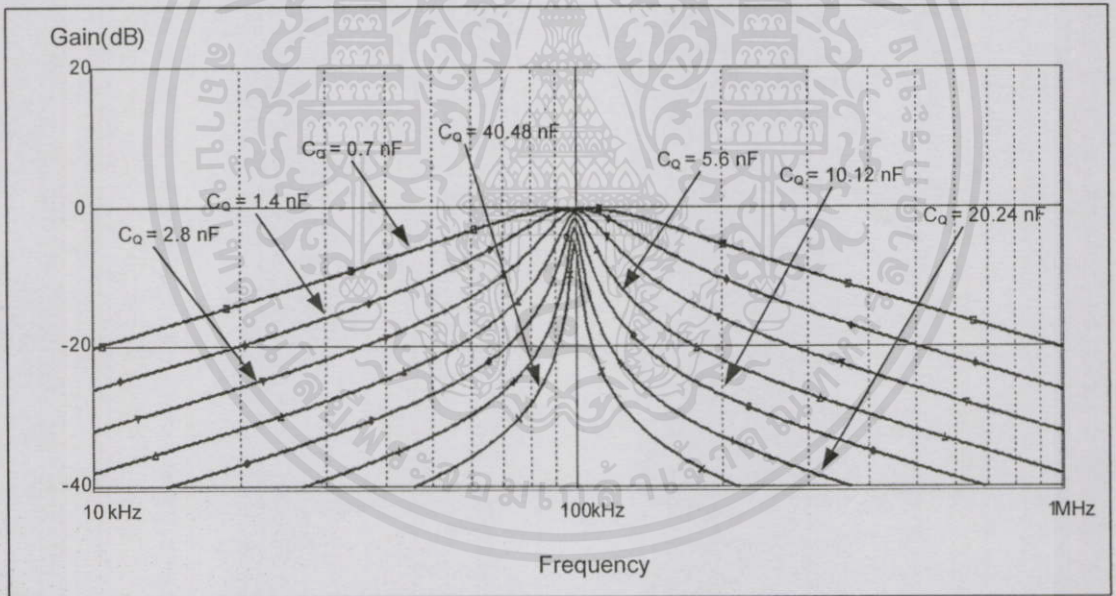
การทดลองที่ 6 ปรับค่า Q_p ด้วยค่า C_Q โดยให้ค่า $f_p = 100 \text{ kHz}$ คงที่ และ
ค่า $I_{bQ} = 200 \mu A$

ตารางที่ 5.6 ปรับค่า Q_p ด้วยค่า C_Q ของ CMOS OTA

$f_p = 100 \text{ kHz}$	I_{bQ}	I_b	C_Q	C
$Q_p = 1$	$200 \mu A$	$200 \mu A$	0.7 nF	0.7 nF
$Q_p = 2$	$200 \mu A$	$200 \mu A$	1.4 nF	0.7 nF
$Q_p = 4$	$200 \mu A$	$200 \mu A$	2.8 nF	0.7 nF
$Q_p = 8$	$200 \mu A$	$200 \mu A$	5.6 nF	0.7 nF
$Q_p = 16$	$200 \mu A$	$200 \mu A$	10.12 nF	0.7 nF
$Q_p = 32$	$200 \mu A$	$200 \mu A$	20.24 nF	0.7 nF
$Q_p = 64$	$200 \mu A$	$200 \mu A$	40.48 nF	0.7 nF



รูปที่ 5.18 เอทพุทของตัวกรองความถี่ที่ต้องการออก ทำการปรับค่า Q_p ด้วยค่า C_o

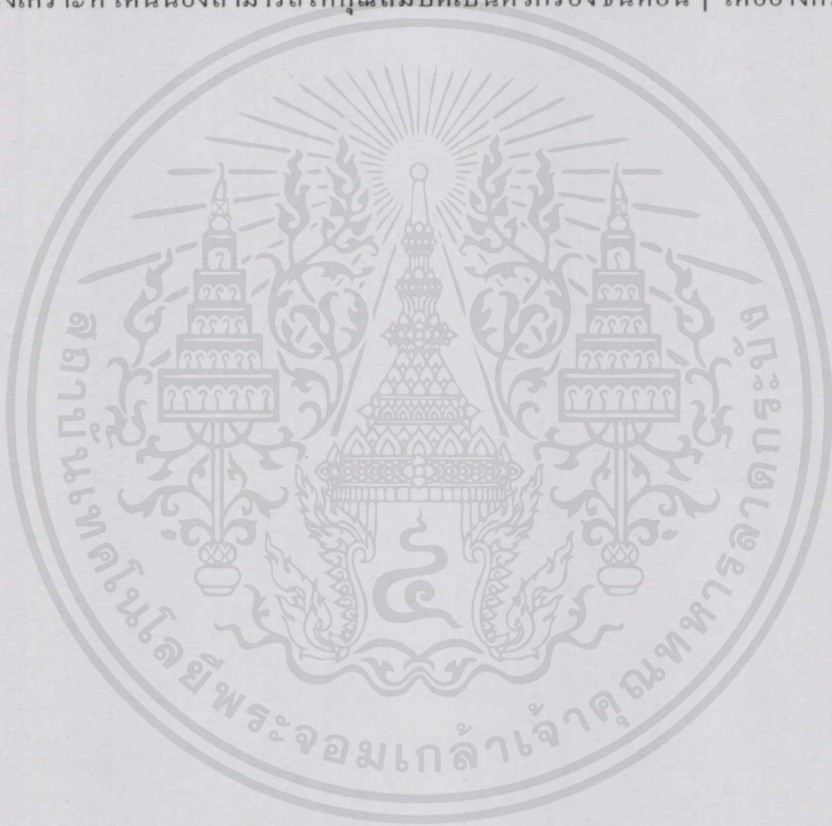


รูปที่ 5.19 เอทพุทของตัวกรองความถี่ที่ต้องการผ่าน ทำการปรับค่า Q_p ด้วยค่า C_o

เอกสารนี้เป็นเอกสารที่สงวนไว้สำหรับการใช้งานเพื่อการศึกษาเท่านั้น ไม่อนุญาตให้นำไปใช้ประโยชน์ด้านการค้า
ไม่ว่ากรณีใดๆทั้งสิ้น อีกทั้งห้ามมิให้คัดแปลงเนื้อหา และต้องอ้างอิงถึงเจ้าของเอกสารทุกครั้งที่มีการนำไปใช้

5.4 สรุป

วิทยานิพนธ์นี้นำเสนอการสังเคราะห์วงจรกรองความถี่รูปแบบกระแสด้วย OTA และตัวเก็บประจุ โดยสังเคราะห์จากฟังก์ชันตัวกรองความถี่ที่ต้องการออกเป็นสมการตั้งต้น ซึ่งเป็นหลักการที่สามารถนำมาสังเคราะห์ตัวกรองได้เป็นอย่างดี การใช้สมการนี้ตั้งต้นทำให้ได้ผลดีต่อการปรับค่า Q_p ของวงจร ให้สามารถปรับได้ทั้งแบบวิธีทางอิเล็กทรอนิกส์ และทางกายภาพด้วยการเปลี่ยนค่าตัวเก็บประจุ ซึ่งทั้งสองวิธีนี้ จะไม่มีผลกระทบใดๆ ต่อความถี่ตอบสนอง และยังสามารถยืนยันการปรับค่า Q_p ไม่จำกัดอยู่เพียงค่า g_m ของ OTA ทำให้สามารถปรับค่า Q_p ได้กว้างมาก อีกทั้งวงจรที่สังเคราะห์ได้นั้นยังสามารถให้คุณสมบัติเป็นตัวกรองชนิดอื่นๆ ได้อย่างครบถ้วนอีกด้วย

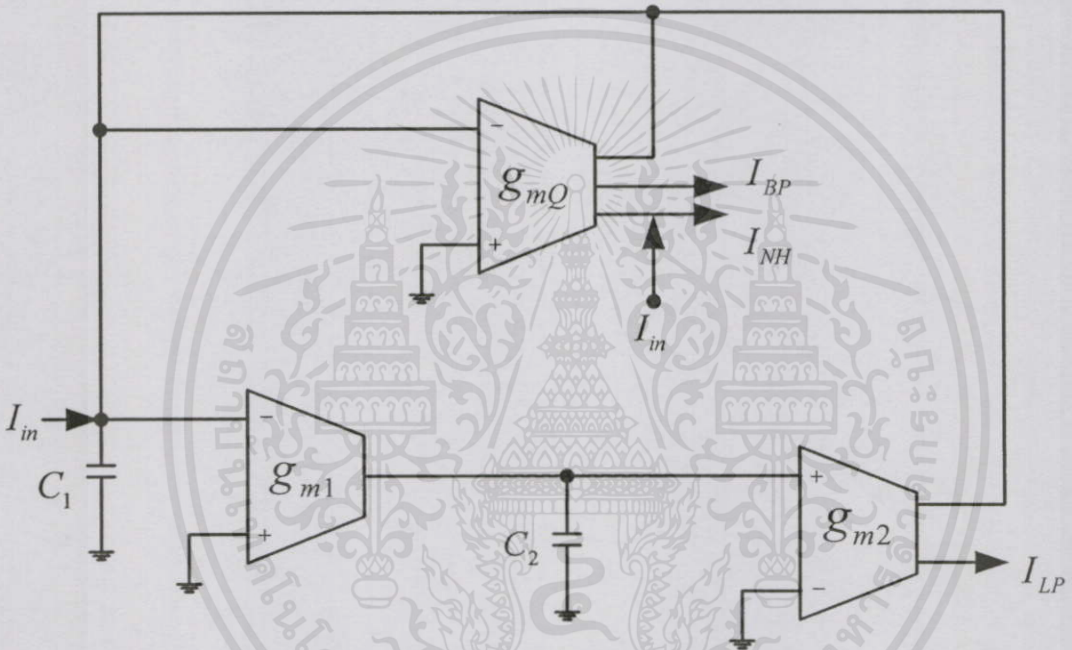


เอกสารนี้เป็นเอกสารที่สงวนไว้สำหรับการใช้งานเพื่อการศึกษาเท่านั้น ไม่อนุญาตให้นำไปใช้ประโยชน์ด้านการค้า
ไม่ว่ากรณีใดๆทั้งสิ้น อีกทั้งห้ามมิให้คัดแปลงเนื้อหา และต้องอ้างอิงถึงเจ้าของเอกสารทุกครั้งที่มีการนำไปใช้

บทที่ 6

เปรียบเทียบกับวงจรตัวกรองความถี่ที่มีผู้ตีพิมพ์มาแล้ว

ในบทนี้จะทำการเปรียบเทียบข้อดีข้อเสียระหว่างงานวิจัยที่นำเสนอกับงานวิจัยที่เคยมีผู้ตีพิมพ์มาแล้ว โดยจะหยิบยกเอางานวิจัยของ C.Chang “Unified active filter biquad structure,” [5] ซึ่งได้ทำการตีพิมพ์ไว้เมื่อ เดือนสิงหาคม ปี ค.ศ. 2004 ที่ได้กล่าวถึงมาแล้วในบทที่ 4 ในบทนี้จะขอเปลี่ยนชื่อตัวแปรในงานวิจัยของ C. Chang เพื่อให้ง่ายในการเปรียบเทียบ



รูปที่ 6.1 วงจรกรองความถี่รูปแบบกระแสของ C. Chang [5] หลังจากทำการเปลี่ยนชื่อตัวแปร

จะได้สมการออกมาเป็น ดังสมการ

$$\omega_p = \sqrt{\frac{g_{m1}g_{m2}}{C_1C_2}} \quad (6.1)$$

$$Q_p = \frac{C_1}{g_{mQ}} \sqrt{\frac{g_{m1}g_{m2}}{C_1C_2}} \quad (6.2)$$

เอกสารนี้เป็นเอกสารที่สงวนไว้สำหรับการใช้งานเพื่อการศึกษาเท่านั้น ไม่อนุญาตให้นำไปใช้ประโยชน์ด้านการค้า ไม่ว่ากรณีใดๆทั้งสิ้น อีกทั้งห้ามมิให้คัดแปลงเนื้อหา และต้องอ้างอิงถึงเจ้าของเอกสารทุกครั้งที่มีการนำไปใช้

6.1 การปรับค่าความถี่ตอบสนอง

การปรับค่า ω_p ในงานวิจัยของ C. Chang เมื่อเปรียบเทียบกับวิทยานิพนธ์นี้แล้ว จะมีค่าเหมือนกันทุกประการ โดยทั้ง 2 งานวิจัยสามารถหาค่า ω_p ได้ตามสมการที่ (6.1) ซึ่งสามารถปรับค่าได้ทั้งทางกายภาพและทางอิเล็กทรอนิกส์ โดยการปรับค่า C และ g_m ตามลำดับ

6.2 การปรับค่าคุณภาพ

การปรับค่า Q_p ของทั้ง 2 งานวิจัยสามารถปรับได้โดยอิสระกับค่า ω_p เหมือนๆ กัน แต่สิ่งที่แตกต่างกันคือ งานวิจัยของ C. Chang สามารถปรับค่า Q_p ได้จากค่า g_{mQ} ค่าเดียว ซึ่งถ้าไม่ใช่โอทีเอในอุดมคติ ค่า g_{mQ} จะมีข้อจำกัดในการปรับค่า ขึ้นอยู่กับคุณสมบัติภายในของโอทีเอนั้นๆ ในวิทยานิพนธ์นี้จึงนำเสนอ การปรับค่า Q_p จากค่า g_{mQ} อีกทั้งยังสามารถปรับได้จากค่า C_Q ด้วย ซึ่งหมายถึงวงจรตัวกรองความถี่ที่นำเสนอสามารถปรับค่า Q_p ได้ทั้งทางอิเล็กทรอนิกส์และทางกายภาพ โดยที่เป็นอิสระกับค่า ω_p ทั้ง 2 วิธี

6.3 สรุป

ในบทนี้จะกล่าวถึงการเปรียบเทียบวงจรที่เคยได้รับการตีพิมพ์มาแล้วกับวงจรที่งานวิจัยนี้ นำเสนอ เพื่อให้เห็นข้อดีและข้อเสียที่แตกต่างกันไป โดยผลสรุปการเปรียบเทียบเป็นดังตารางที่ 7

ตารางที่ 6.1 เปรียบเทียบงานวิจัยที่ตีพิมพ์แล้วกับงานที่นำเสนอ

งานวิจัย	การปรับค่า ω_p และ Q_p เป็นอิสระต่อกัน		จำนวนอุปกรณ์	
	กายภาพ	อิเล็กทรอนิกส์	OTA	C
C.Chang [4]	N	N	2	2
C.Chang [5]	N	Y	3	2
วงจรที่นำเสนอ	Y	Y	3	3

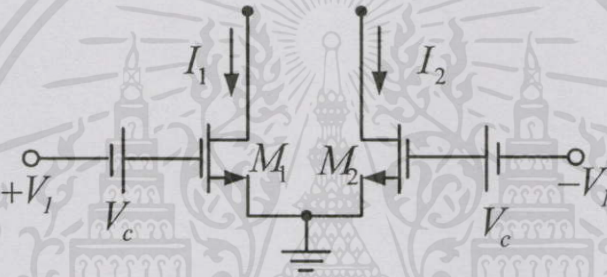
บทที่ 7

ข้อเสนอแนะ

เนื่องจากวงจรตัวกรองความถี่หลายหน้าที่ที่ได้นำเสนอ มีข้อเสียในการปรับค่า g_m ซึ่งไม่เป็นเชิงเส้น (non-linear) ดังสมการ

$$g_m = \sqrt{I_b(\mu_0 C_{ox} W / L)} \quad (7.1)$$

ในบทนี้จึงขอเสนอแนะวิธีการแก้ไขปัญหาดังกล่าว ด้วยหลักการดังต่อไปนี้



รูปที่ 7.1 หลักการของวงจรทรานสคอนดักเตอร์ที่มีความเป็นเชิงเส้น

จากรูปที่ 7.1 เป็นหลักการของวงจรทรานสคอนดักเตอร์ที่มีความเป็นเชิงเส้น และสามารถปรับค่าทรานสคอนดักแทนซ์ได้ โดยกระแส I_1 เกิดจากแรงดันอินพุต V_m รวมกับแรงดันควมคุม V_c และกระแส I_2 เกิดจากแรงดันอินพุต $-V_m$ รวมกับแรงดันควมคุม V_c โดยที่มอสเฟตทั้งคู่จะทำงานในช่วงอิ่มตัว (Saturation Region) ดังนั้นสมการของ I_1 และ I_2 จะมีค่าเท่ากับ

$$I_1 = \frac{\mu_0 C_{ox}}{2} \left(\frac{W}{L} \right) (V_1 + V_c - V_T)^2 \quad (7.2)$$

$$I_2 = \frac{\mu_0 C_{ox}}{2} \left(\frac{W}{L} \right) (-V_1 + V_c - V_T)^2 \quad (7.3)$$

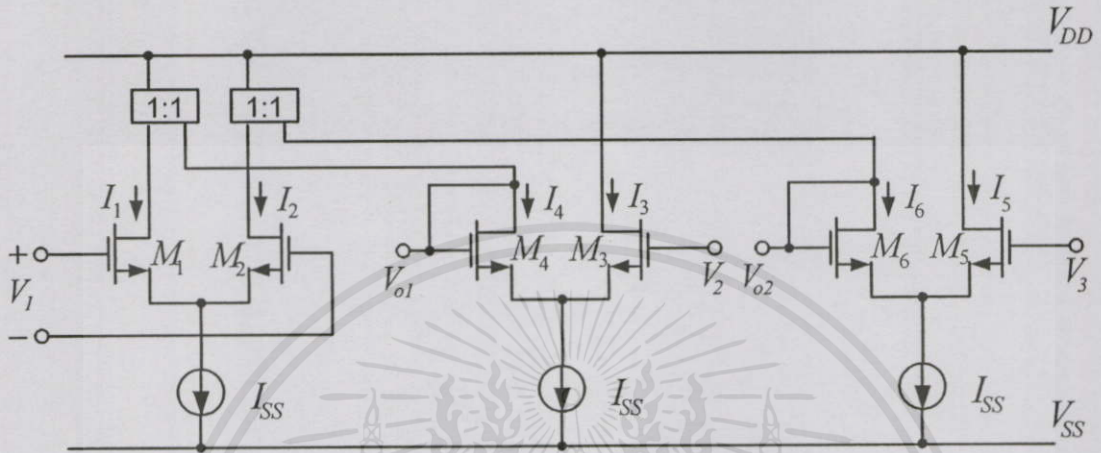
เอกสารนี้เป็นเอกสารที่สงวนไว้สำหรับการใช้งานเพื่อการศึกษาเท่านั้น ไม่อนุญาตให้นำไปใช้ประโยชน์ด้านการค้า

ไม่ว่ากรณีใดๆทั้งสิ้น อีกทั้งห้ามใช้ข้อมูลเหล่านี้เพื่อเผยแพร่ข้อมูลใดๆทั้งสิ้น และขอสงวนสิทธิ์ในเอกสารทุกครั้งที่มีการนำไปใช้

$$\Delta I = I_1 - I_2 = 2\mu_0 C_{ox} \left(\frac{W}{L} \right) (V_c - V_T) V_1 \quad (7.4)$$

$$g_m = 2\mu_o C_{ox} \left(\frac{W}{L} \right) (V_c - V_T) \quad (7.5)$$

จากสมการ (7.4) จะเห็นได้ว่าค่าความแตกต่างกระแสจะมีค่าเป็นเชิงเส้น และค่า g_m ตั้งสมการที่ (7.5) ก็ยังเป็นเชิงเส้นด้วย



รูปที่ 7.2 วงจรบวก/ลบสัญญาณ

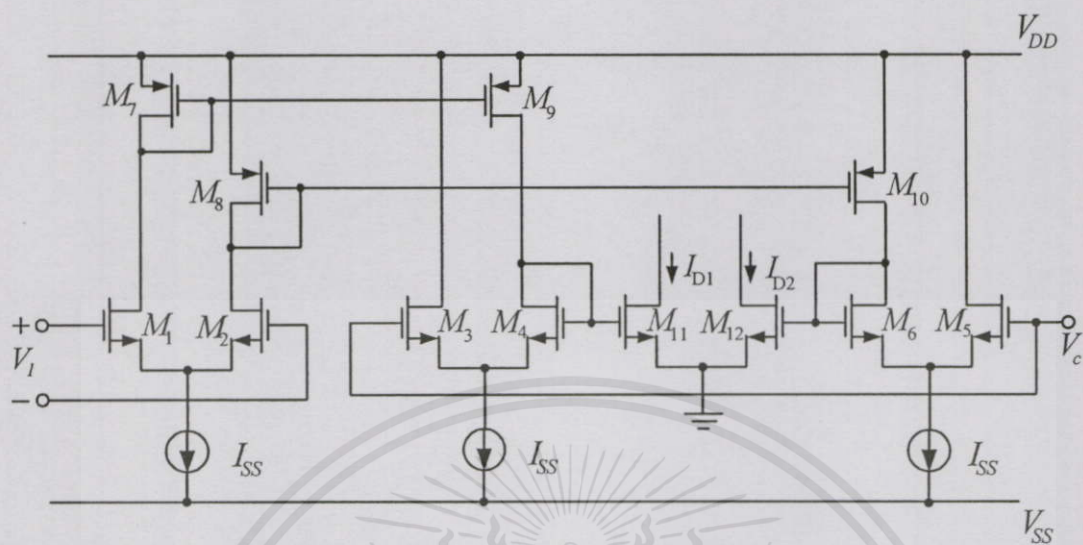
โดยรูปที่ 7.2 นั้น จะต้องมีวงจรที่ทำหน้าที่เป็นอินพุตให้กับทรานซิสเตอร์ M1-M2 ซึ่งใช้หลักการของ การบวก/ลบสัญญาณ ซึ่งประกอบด้วยวงจรคู่อุปกรณ์เรซินเซียลและวงจรสะท้อนกระแส โดย M1-M6 เป็นวงจรคู่อุปกรณ์เรซินเซียล มีกระแส $I_1 = I_4 = I_5$ และ $I_2 = I_3 = I_6$ ซึ่งทำได้จากวงจรสะท้อนกระแสที่มีอัตราการสะท้อนเป็น 1:1 เมื่อพิจารณารูปที่ 7.2 จะเห็นได้ว่าทรานซิสเตอร์ M4 และ M6 เป็นการไบอัสตัวเอง ซึ่งเมื่อกระแส $I_1 = I_4 = I_5$ และ $I_2 = I_3 = I_6$ แล้ว ทำให้แรงดันไบอัสให้กับขาเกตของทรานซิสเตอร์ M4 และ M6 หรือ V_{01} และ V_{02} จึงมีค่าเท่ากับ

$$V_{01} = V_1 + V_2 \quad (7.6)$$

$$V_{02} = -V_1 + V_3 \quad (7.7)$$

เอกสารนี้เป็นเอกสารที่สงวนไว้สำหรับการใช้งานเพื่อการศึกษาเท่านั้น ไม่อนุญาตให้นำไปใช้ประโยชน์ด้านการค้า ไม่ว่าจะกรณีใดๆทั้งสิ้น อีกทั้งห้ามมิให้คัดแปลงเนื้อหา และต้องอ้างอิงถึงเจ้าของเอกสารทุกครั้งที่มีการนำไปใช้

จากสมการที่ (7.6) และ (7.7) สามารถนำมาต่ออินพุตให้กับวงจรรูปที่ 7.2 ได้ โดยกำหนดค่าแรงดัน V_2 และ V_3 ให้มีค่าเท่ากับ V_c และวงจรที่ใช้งานจริงจะเป็นดังรูปที่ 7.3



รูปที่ 7.3 วงจรบวก/ลบสัญญาณที่นำไปต่อกับวงจร

เอกสารนี้เป็นเอกสารที่สงวนไว้สำหรับการใช้งานเพื่อการศึกษาเท่านั้น ไม่อนุญาตให้นำไปใช้ประโยชน์ด้านการค้า ไม่ว่าจะกรณีใดๆทั้งสิ้น อีกทั้งห้ามมิให้คัดแปลงเนื้อหา และต้องอ้างอิงถึงเจ้าของเอกสารทุกครั้งที่มีการนำไปใช้

เอกสารอ้างอิง

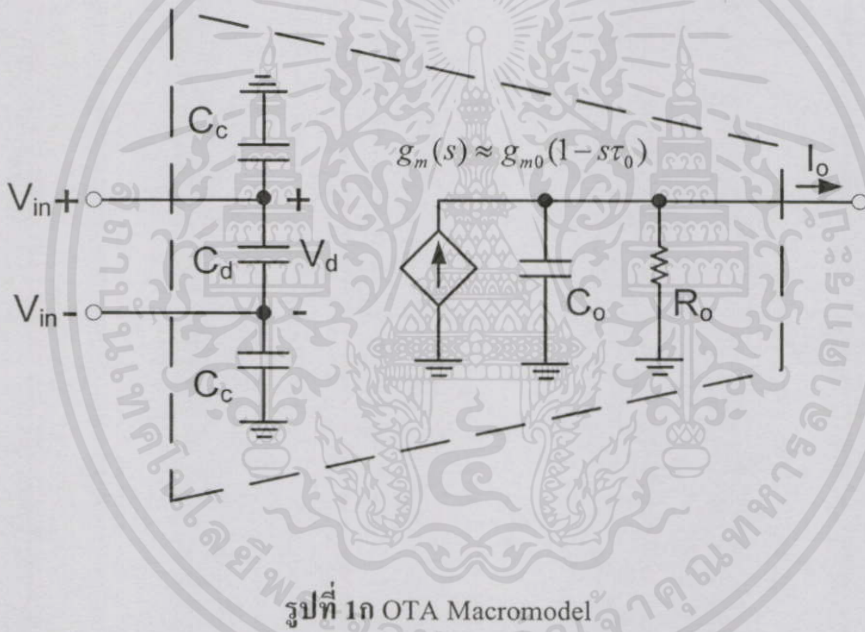
- [1] S. I. Liu, J. J. Chen, Y. S. Hwang, "New Current mode Biquad filters using current follower," *IEEE Trans. Circuits Syst.*, vol. 42, pp.380-383, July 1995.
- [2] E. O. Gunes, A Toker and S. Ozoguz, "Insensitive currentmode universal filter with minimum component using dualoutput current conveyors," *Electron. Lett.*, vol. 35, pp.524-525, April 1999.
- [3] C. Chang, "New multifunction OTA-C biquads," *IEEE Tran .Circuits and Syst.*, vol. 46, pp.820-824, June 1999.
- [4] C. Chang and S. Pai, "Universal current-mode OTA-C biquad with the minimum components," *IEEE Trans. Circuits and Syst.*, vol. 47, pp.1235-1238, Aug. 2000.
- [5] C. Chang, B. M. Al-Hashimi and J. N. Ross, "Unified active filter biquad structure," *IEE Proc. (part G)*, vol.151, pp.273- 277, Aug. 2004.
- [6] J. Wu, "Current-mode high-order OTA-C filter," *Int. J. Electron.*, vol. 76, pp.1115-1120, 1994.
- [7] M. T Abuelma'atti and A Bentrchia, "New universal currentmode multiple-input multiple-output OTA-C filter," *Proc. Of APCCAS*, pp.1037-1039, Dec. 2004
- [8] E. Sanchez-Sinnencio, R. L Geiger and H. Nevarez-Lozano, "Generation of Continuous-Time Two Integrator Loop OTA filter structures," *IEEE Trans. Circuits and Syst.*, vol. 35, pp.936-946, Aug. 1988.
- [9] A. Fabre, O. Saaid, F. Wiest and C. Boucheron, "Current controlled bandpass filter based on translinear conveyors," *Electron. Lett.*, vol. 31, pp1727-1728,1995.
- [10] W. J. Kerwin, L. P. Huelsman, and R. W. Newcomb, "Statevariable synthesis for insensitive integrated circuit transfer function," *IEEE Trans. Solid-state Circuits*, vol. SC-2, pp.87- 92, 1967.
- [11] Kobchai Dejhan, Chatcharin Soonyeechan, Pipat Prommee, Paiboon Tooprakrai, Fusak Cheevasuvit and Ekachai Prommas, "A high performance MOSFET voltage-controlled floating resistance circuit," *Proc. Of 7th International Symposium on IC*

เอกสารนี้เป็นเอกสารฉบับร่าง (Draft) ของงานวิจัยที่ตีพิมพ์ใน *Technology, System and Application: ISIC-97*, Singapore, Sep. 10-12, 1997. งานการค้นคว้าวิจัยนี้ได้รับการสนับสนุนจากสำนักงานคณะกรรมการการอุดมศึกษาและทบวงมหาวิทยาลัย โดยไม่หวังกำไรและไม่หวังผลตอบแทนใดๆ ทั้งสิ้น อีกทั้งห้ามมิให้คัดลอกเนื้อหา และต้องอ้างอิงถึงเจ้าของเอกสารทุกครั้งที่มีการนำไปใช้

ภาคผนวก

ก ผลกระทบของความไม่เป็นอุดมคติของ OTA-C

ในส่วนนี้เราจะกล่าวถึงผลกระทบของความไม่เป็นอุดมคติของ OTA-C ที่มีผลต่อการส่งผ่านของวงจรตัวกรองความถี่ คุณสมบัติของโอทีเอมีความสำคัญมาก เมื่อเราต้องการใช้งานในย่านความถี่กว้างๆ รูปที่ 1ก แสดง Macromodel ของโอทีเอ โดยที่ C_d คือตัวเก็บประจุอินพุทในโหมคคิฟเฟอร์เรนเซียล, C_c คือตัวเก็บประจุอินพุทในโหมคคอมมอน, C_o คือตัวเก็บประจุเอาต์พุท, R_o คือตัวต้านทานเอาต์พุท



$$g_m(s) \approx g_{m0}(1 - s\tau_0) \quad ; \quad \omega\tau_0 \ll 1 \quad (1ก)$$

เมื่อ $\omega\tau_0$ คือ ค่าเฟสที่ผิดเพี้ยนไป ถ้าค่า $\omega_{oi} = 1/\tau_i$ คือค่าโพลที่สองของตัวโอทีเอ ในช่วงความถี่ที่ $\omega \ll \omega_0$ สมการการส่งผ่านแรงดันของแต่ละโอทีเอ จะสามารถประมาณค่าได้เป็น

เอกสารนี้เป็นเอกสารที่สงวนลิขสิทธิ์ไว้ของมหาวิทยาลัยเทคโนโลยีพระจอมเกล้าเจ้าคุณทหารลาดกระบัง
ไม่ว่ากรณีใดๆทั้งสิ้น อีกทั้งห้ามมิให้คัดแปลงเนื้อหา และต้องอ้างอิงถึงเจ้าของเอกสารทุกครั้งที่มีการนำไปใช้

$$A(s) \cong \frac{g_{mi}}{sC_i}(1 - \tau_i s) \quad ; \quad (i = 1, 2, 3) \quad (2ก)$$

จากสมการที่ (2ก) เมื่อค่า $\tau_i = 1/\omega_{0i}$ คือค่าความหน่วงเวลา (Delay Time) ของโอทีเอ ซึ่งจะทำให้ค่าสมการการส่งผ่านของวงจรที่นำเสนอมีค่าเปลี่ยนไปดังสมการ

$$T_{LPn}(s) \cong \frac{\frac{g_{m2}g_{mQ}}{C_2C_Q} [s^2\tau_2\tau_3 - s(\tau_2 + \tau_3) + 1]}{D_n(s)} \quad (3ก)$$

$$T_{HPn}(s) \cong \frac{s^2}{D_n(s)} \quad (4ก)$$

$$T_{BPn}(s) \cong \frac{\frac{g_{mQ}}{C_Q} [-s^2\tau_2 + s]}{D_n(s)} \quad (5ก)$$

$$T_{BRn}(s) \cong \frac{s^2 + \frac{g_{m1}g_{m2}}{C_1C_2} [s^2\tau_1\tau_3 - s(\tau_1 + \tau_3) + 1]}{D_n(s)} \quad (6ก)$$

$$T_{APn}(s) \cong \frac{s^2 - \frac{g_{mQ}}{C_Q} [s - s^2\tau_2] + \frac{g_{m2}g_{mQ}}{C_2C_Q} [s^2\tau_2\tau_3 - s(\tau_2 + \tau_3) + 1]}{D_n(s)} \quad (7ก)$$

โดยที่

$$D_n(s) \cong s^2 \left(1 - \frac{g_{mQ}}{C_Q} \tau_2 + \frac{g_{m1}g_{m2}}{C_1C_2} (\tau_1\tau_3) \right) + s \left(\frac{g_{mQ}}{C_Q} - \frac{g_{m1}g_{m2}}{C_1C_2} (\tau_1 + \tau_3) \right) + \frac{g_{m1}g_{m2}}{C_1C_2}$$

จากสมการของ $D_n(s)$ จะได้ค่า ω_{Pn} และ Q_{Pn} ของวงจรตัวกรองความถี่ที่ไม่เป็นอตุมนกคิตั้งนี้

$$\omega_{Pn} \cong \sqrt{\frac{g_{m1}g_{m2}}{C_1C_2}} \quad (8ก)$$

เอกสารนี้เป็นเอกสารที่สงวนไว้สำหรับการใช้งานเพื่อการศึกษเท่านั้น ไม่อนุญาตให้นำไปใช้ประโยชน์ด้านการค้า

ไม่ว่ากรณีใดๆทั้งสิ้น อีกทั้งห้ามมิให้คัดแปลงเนื้อหาและ $C_Q \sqrt{g_{m1}g_{m2}C_1C_2}$ ของเอกสารทุกครั้งที่มีการนำไปใช้

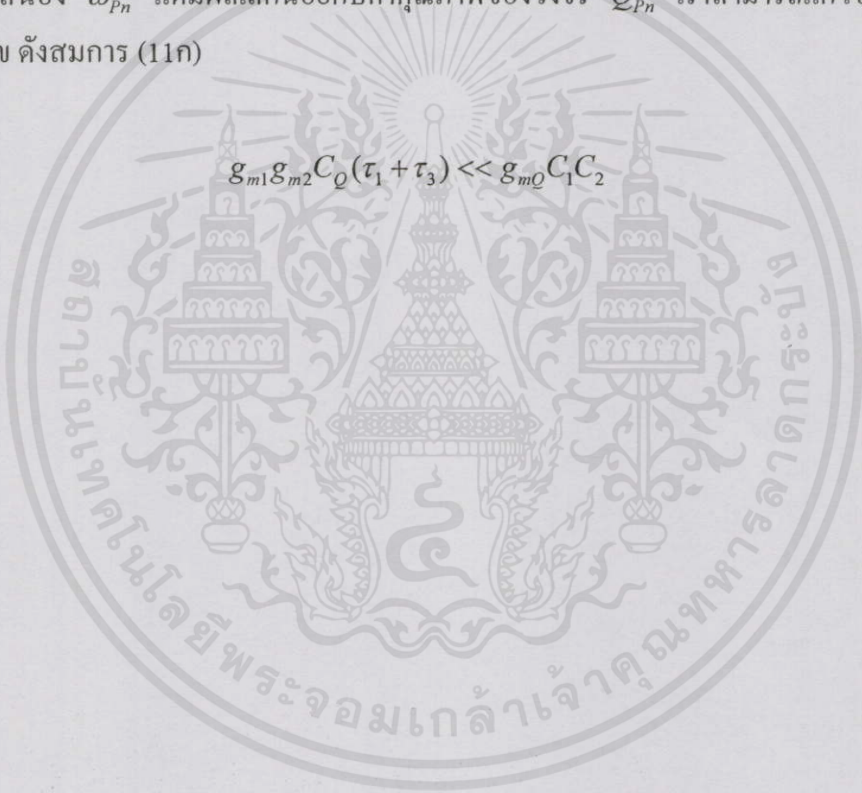
$$Q_{Pn} \cong \frac{C_Q \sqrt{g_{m1}g_{m2}C_1C_2}}{g_{mQ}C_1C_2 - g_{m1}g_{m2}C_Q(\tau_1 + \tau_3)} \quad (9ก)$$

จะเห็นได้ว่าถ้าเราไม่ต้องการให้ค่าความผิดเพี้ยนต่างๆ มีผลกับสมการการส่งผ่านของวงจร ตัวกรองความถี่ตามสมการที่ (3ก) – (7ก) เราสามารถกำหนดเงื่อนไขได้ดังสมการ (10ก)

$$\left. \begin{aligned} \left(\frac{g_{m0}}{C_0} \tau_2 + \frac{g_{m1}g_{m2}}{C_1C_2} (\tau_1\tau_3) \right) \ll 1 \\ \left(\frac{g_{m1}g_{m2}}{C_1C_2} (\tau_1 + \tau_3) \right) \ll \left(\frac{g_{m0}}{C_0} \right) \end{aligned} \right\} \quad (10ก)$$

และจากสมการที่ (8ก และ 9ก) จะเห็นว่าค่าความผิดเพี้ยนต่างๆ ไม่มีผลกระทบกับค่าความถี่ตอบสนอง ω_{pn} แต่มีผลเล็กน้อยกับค่าคุณภาพของวงจร Q_{pn} เราสามารถแก้ไขได้โดยกำหนดเงื่อนไข ดังสมการ (11ก)

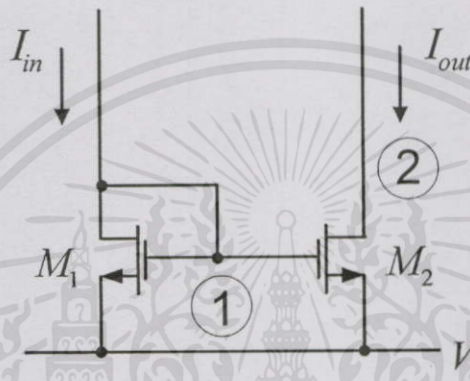
$$g_{m1}g_{m2}C_0(\tau_1 + \tau_3) \ll g_{m0}C_1C_2 \quad (11ก)$$



เอกสารนี้เป็นเอกสารที่สงวนไว้สำหรับการใช้งานเพื่อการศึกษาเท่านั้น ไม่อนุญาตให้นำไปใช้ประโยชน์ด้านการค้า
ไม่ว่ากรณีใดๆทั้งสิ้น อีกทั้งห้ามมิให้คัดแปลงเนื้อหา และต้องอ้างอิงถึงเจ้าของเอกสารทุกครั้งที่มีการนำไปใช้

ข วงจรสะท้อนกระแสแบบพื้นฐาน

วงจรสะท้อนกระแสแบบพื้นฐานนั้นสามารถแบ่งการวิเคราะห์วงจรได้เป็น 2 ส่วนคือ การวิเคราะห์วงจรทางไฟตรง และไฟสลับ การวิเคราะห์วงจรทางไฟตรงจะสามารถวิเคราะห์ในแบบจำลองสัญญาณขนาดใหญ่ (Large-Signal Model) ซึ่งในการวิเคราะห์ทางไฟตรงจะสามารถหาค่าอัตราส่วนการสะท้อนกระแส



รูปที่ 1ข วงจรสะท้อนกระแสแบบพื้นฐาน

จากรูปที่ 1ข สามารถเขียนสมการของแรงดัน V_1 ได้ดังสมการที่ (1ข)

$$V_1 = \sqrt{\frac{I_{in}}{\beta_1}} + V_{TN} \quad (1ข)$$

และสมการของกระแสเอาต์พุตที่มีค่าเท่ากับ

$$I_{out} = \beta_2 (V_1 - V_{TN})^2 \quad (2ข)$$

โดยที่ $\beta_i = \frac{\mu C_{ox}}{2} \left(\frac{W}{L} \right)_i$ และเนื่องจากที่ขาเกตของทรานซิสเตอร์จะไม่มีกระแสไหล

ทรานซิสเตอร์ M1 และ M2 มีความสมพียงกันทุกประการ เป็นผลให้อัตราส่วนของกระแสมีค่า

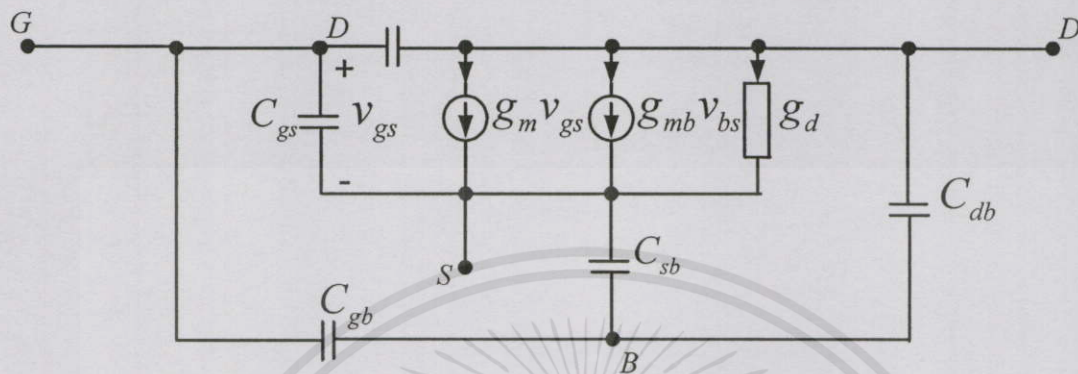
เท่ากัน

นี่เป็นเอกสารที่สงวนไว้สำหรับการใช้งานเพื่อการศึกษาเท่านั้น ไม่อนุญาตให้นำไปใช้ประโยชน์ด้านการค้า

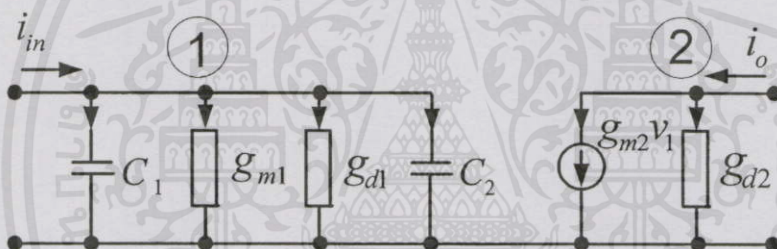
ไม่ว่ากรณีใดๆทั้งสิ้น อีกทั้งห้ามมิให้คัดแปลงเนื้อหา และทำซ้ำหรือส่งถึงเจ้าของเอกสารทุกครั้งที่มีการนำไปใช้

$$\frac{I_{out}}{I_{in}} = \frac{(W/L)_2}{(W/L)_1} \quad (3ข)$$

ส่วนการวิเคราะห์วงจรทางไฟสถับจะใช้แบบจำลองสัญญาณขนาดเล็กซึ่งจะไม่สามารถวิเคราะห์หาค่าอินพุต และเอาต์พุตอิมพีแดนซ์ และการตอบสนองทางความถี่ได้ โดยแบบจำลองสัญญาณขนาดเล็กของวงจรรูปที่ 2ข แสดงไว้ดังรูป 3ข

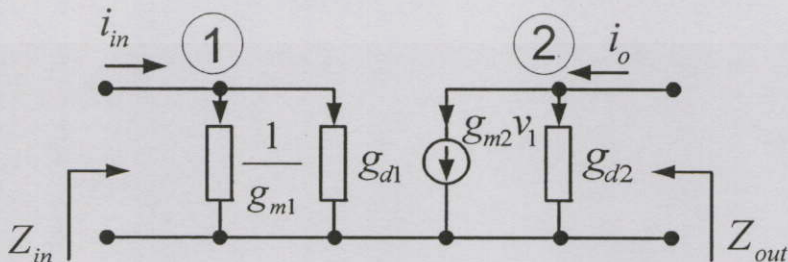


รูปที่ 2ข แบบจำลองสัญญาณขนาดเล็กของมอสทรานซิสเตอร์



รูปที่ 3ข แบบจำลองสัญญาณขนาดเล็กของวงจรสะท้อนกระแสแบบพื้นฐาน

จากรูปที่ 3ข ตัวเก็บประจุ $C_i = C_{gst}$ และ โดยแบบจำลองสัญญาณขนาดเล็กที่ใช้วิเคราะห์หาอินพุตและเอาต์พุตอิมพีแดนซ์ จะแสดงไว้ดังรูปที่ 4ข



เอกสารนี้เป็นเอกสารที่สงวนไว้สำหรับการใช้งานเพื่อการศึกษาเท่านั้น ไม่อนุญาตให้นำไปใช้ประโยชน์ด้านการค้า
 ไปแล้วกรณีใดๆทั้งสิ้น ลืกทั้งห้ามมิให้คัดลอกเนื้อหา และต้องอ้างอิงถึงเจ้าของเอกสารทุกครั้งที่มีการนำไปใช้
 รูปที่ 4ข แบบจำลองสัญญาณขนาดเล็กเพื่อวิเคราะห์อิมพีแดนซ์ของวงจรสะท้อนกระแสพื้นฐาน

จากรูปที่ 4x อินพุตอิมพีแดนซ์ของวงจรสะท้อนกระแสแบบพื้นฐานจะมีค่าเท่ากับ

$$Z_m = \frac{1}{g_{m1}} \quad (4x)$$

และเอาต์พุตอิมพีแดนซ์ของวงจรสะท้อนกระแสแบบพื้นฐานจะมีค่าเท่ากับ

$$Z_{out} = r_2 = r_{d2} \quad (5x)$$

ในการวิเคราะห์หาค่าสมการการส่งผ่านของกระแสอินพุตและเอาต์พุต สามารถเขียนเป็นสมการโดยหลักการของ KCL ได้เป็น

$$i_m = v_1 s(C_1 + C_2) + v_1(g_{m1} + g_{d1}) \quad (6x)$$

$$i_o \cong g_{m2} v_1 \quad (7x)$$

แทนสมการที่ (6x) ในสมการที่ (7x) ได้สมการการส่งผ่านในรูปแบบของกระแสเป็น

$$\frac{i_o}{i_m} \cong \frac{g_{m2}}{g_{m1} + g_{d1} + s(C_1 + C_2)} \quad (8x)$$

จากสมการที่ (8x) สามารถประมาณค่าความถี่ตอบสนองได้เป็น

$$\omega_{-3dB} \cong (g_{m1} + g_{d1}) / (C_1 + C_2) \quad (9x)$$

เอกสารนี้เป็นเอกสารที่สงวนไว้สำหรับการใช้งานเพื่อการศึกษาเท่านั้น ไม่อนุญาตให้นำไปใช้ประโยชน์ด้านการค้า
ไม่ว่ากรณีใดๆทั้งสิ้น อีกทั้งห้ามมิให้คัดแปลงเนื้อหา และต้องอ้างอิงถึงเจ้าของเอกสารทุกครั้งที่มีการนำไปใช้

วงจรกรองความถี่หลายหน้าที่รูปแบบกระแสโดย OTA-C ปรับค่า Q ได้อย่างเป็นอิสระ

Independent tunable- Q current-mode OTA-C universal filter

มนตรี สมดุลยคนก* ณัฐวิทย์ ประภากร** ทิพนันท์ พรหมมี** กอบชัย เดชหาญ**

*ภาควิชาวิศวกรรมไฟฟ้า คณะวิศวกรรมศาสตร์ มหาวิทยาลัยสยาม โทร. 0-2457-0068 ต่อ 123 E-mail: monsom@siamu.com

**คณะวิศวกรรมศาสตร์ และ สำนักวิจัยการสื่อสารและเทคโนโลยีสารสนเทศ สถาบันเทคโนโลยีพระจอมเกล้าเจ้าคุณทหารลาดกระบัง

โทร. 0-2326-4238 โทรสาร 0-2326-4554 E-mail: pipat@telecom.kmitl.ac.th

บทคัดย่อ

บทความนี้ได้นำเสนอ วงจรกรองความถี่หลายหน้าที่รูปแบบกระแสโดยหลักการของสมการไบควอดเรตริก สมการไบควอดเรตริกคั้งคั้งที่นำมาสังเคราะห์ คือ สมการของตัวกรองความถี่ที่ต้องการออกวงจรที่นำเสนอสามารถทำหน้าที่หลักเป็นตัวกรองความถี่ที่ต้องการออกปรับค่าความถี่คอบสอง (ω_p) ได้โดยวิธีอิเล็กทรอนิกส์ และสามารถปรับค่าคุณภาพ (Q_p) ได้กว้างอย่างเป็นอิสระ นอกจากนั้นยังสามารถให้คุณสมบัติตัวกรองอื่นๆ ได้อย่างครบถ้วน เช่น ตัวกรองความถี่สูงผ่าน ตัวกรองแถบความถี่ที่ต้องการผ่าน และตัวกรองความถี่ต่ำผ่าน การสังเคราะห์วงจรจะใช้วงจรขยายความนำ (OTA) และตัวเก็บประจุ เป็นอุปกรณ์หลัก การปรับค่าคุณภาพของวงจรที่นำเสนอสามารถทำได้ทั้งวิธีทางอิเล็กทรอนิกส์ และ/หรือ ปรับค่าตัวเก็บประจุ เพื่อการปรับค่าคุณภาพได้กว้าง และ ไม่มีผลกระทบกับค่าความถี่คอบสอง คุณสมบัติของวงจรสามารถยืนยันการทำงานได้เป็นอย่างดีด้วยโปรแกรม PSpice

คำสำคัญ : วงจรขยายความนำ, ตัวกรองความถี่, ปรับค่าได้

Abstract

A universal current-mode active filter with independent tunable- Q realized by band-reject function is proposed. The parameter Q_p can be tuned independently. However, the four different kind filter functions as lowpass, highpass, bandpass and band-reject response can be also obtained without changing circuit topology. The parameters ω_p can be electronically wide-range tuned through adjusting the transconductance gains of the OTAs. The proposed circuit employs three OTAs and three capacitors. Moreover, the parameter Q_p can be also tuned by both electronically and/or direct changing of a capacitor manually for wide-range Q_p tunable without effect to the ω_p . The simulation results have been carried out by PSpice.

Keywords: OTA, Filter, Tunable

1. บทนำ เอกสารนี้เป็นเอกสารที่สงวนไว้สำหรับการใช้งานเพื่อการศึกษานานาชาติ ไม่ควรลดทอนค่าไปใช้ประโยชน์ด้านการค้า
ในการประมวลสัญญาณทางอนาล็อกในปัจจุบัน ตัวกรองสัญญาณที่ได้รับความนิยมมากที่สุดคือตัวกรองความถี่ที่ต้องการออก โดยทำการ Normalized ความถี่ ω_p ให้มีค่าเป็น 1

รูปแบบกระแส เป็นที่ทราบกันเป็นอย่างดีว่ามีข้อดีกว้างจรที่ทำงานในรูปแบบแรงดัน มีงานวิจัยก่อนหน้าได้ออกแบบวงจรกรองความถี่ให้ทำงานในรูปแบบกระแส โดยใช้อุปกรณ์แอคทีฟไว้หลายชนิด เช่น วงจรตามกระแส [1] (Current Follower: CF) วงจรสายพานกระแส [2] (CCII) และวงจรถยายความนำ (Operational Transconductance Amplifier: OTA) [3-8] เป็นต้น

สมการการส่งผ่านแบบไบควอดเรตริก นับว่าเป็นหลักการที่นิยมกันอย่างกว้างขวาง และนำมาสังเคราะห์เป็นวงจรกรองความถี่ได้อย่างมีประสิทธิภาพ ด้วยหลักการนี้เองยังสามารถสร้างเป็นตัวกรองความถี่ได้หลายรูปแบบ [10] ซึ่งเป็นที่พบเห็นกันมาช้านาน

บทความนี้นำเสนอ การสังเคราะห์โครงสร้างตัวกรองความถี่จากสมการไบควอดเรตริก โดยใช้สมการของตัวกรองความถี่ที่ต้องการออก (Band-reject Filter) มาเป็นสมการคั้งคั้ง เพื่อให้ได้โครงสร้างที่สามารถสังเคราะห์ได้จากวงจรอินทิเกรเตอร์ ซึ่ง OTA และตัวเก็บประจุเป็นอุปกรณ์ที่นำมาใช้ในการสร้างเป็นวงจรกรองความถี่ โดยมุ่งเน้นที่นำเสนอหลักการในการสังเคราะห์ตัวกรองความถี่ สามารถปรับค่าความถี่คอบสอง (ω_p) ได้ด้วยวิธีทางอิเล็กทรอนิกส์ และสามารถปรับค่าคุณภาพ (Q_p) ได้อย่างเป็นอิสระ ทั้งด้วยวิธีทางอิเล็กทรอนิกส์ และการเปลี่ยนค่าอุปกรณ์ และ ด้วยหลักการของสมการไบควอดเรตริก เราสามารถได้คุณสมบัติของตัวกรองอื่นๆ ตามมาด้วยอย่างครบถ้วน

เมื่อพิจารณาวงจรกรองความถี่รูปแบบกระแส ที่เคยนำเสนอไว้โดยใช้ OTA 2-3 ตัว [3, 4] จะพบว่าสามารถปรับค่า ω_p และค่า Q_p ได้ด้วยวิธีอิเล็กทรอนิกส์ แต่การปรับค่า Q_p จะมีผลต่อการปรับค่าความถี่คอบสอง ส่วนที่เคยนำเสนอไว้โดยใช้ OTA 3 ตัว [5] จะพบว่าสามารถปรับค่า ω_p และค่า Q_p ได้ด้วยวิธีทางอิเล็กทรอนิกส์เพียงอย่างเดียว บทความนี้ยังนำเสนอแนวความคิดใหม่ที่ขยายเงื่อนไขการปรับค่า Q_p ได้ทั้งทางอิเล็กทรอนิกส์ และทางกายภาพทำให้ปราศจากข้อจำกัดในการปรับค่า Q_p

2. ทฤษฎี และ หลักการ

สมการที่ (1) แสดงสมการไบควอดเรตริกในรูปแบบของตัวกรองความถี่ที่ต้องการออก โดยทำการ Normalized ความถี่ ω_p ให้มีค่าเป็น 1

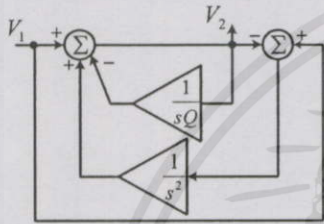
$$\frac{V_2(s)}{V_1(s)} = \frac{s^2 + 1}{s^2 + s/Q + 1} \quad (1)$$

ปรับสมการให้อยู่ในรูปของอินทิเกรเตอร์ ทำให้สมการที่ (1) กลายเป็น

$$V_2(s)(1 + 1/sQ + 1/s^2) = V_1(s)(1 + 1/s^2)$$

หรือ $V_2(s) = V_1(s) + \left(\frac{V_1(s) - V_2(s)}{s^2} \right) - \frac{V_2(s)}{sQ}$ (2)

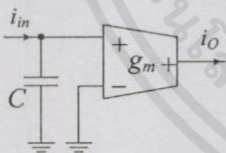
จากสมการที่ (2) สามารถนำมาเขียน Block Diagram ได้ดังรูปที่ 1



รูปที่ 1 Block Diagram ของหลักการที่นำเสนอ

3. วงจรกรองความถี่โหมดกระแส

จากหลักการรูปที่ 1 จะเป็นการแสดงในรูปของแรงดัน แต่เมื่อต้องการสร้างให้ทำงานในโหมดกระแส ก็สามารถทำได้เช่นเดียวกัน โดยให้ผลที่เหมือนกัน อุปกรณ์ที่ใช้สังเคราะห์เป็นวงจรกรองความถี่ในโหมดกระแสในบทความนี้ ประกอบขึ้นจาก อินทิเกรเตอร์แบบไม่มีการสูญเสีย (Lossless Integrator) ที่สร้างจาก OTA และตัวเก็บประจุแบบต่อกราวด์ดังรูปที่ 2 และมีสมการการส่งผ่านกระแสเป็นดังสมการที่ (3)



รูปที่ 2 อินทิเกรเตอร์แบบไม่มีการสูญเสีย

$$\frac{i_o}{i_{in}} = \frac{g_m}{sC} \quad (3)$$

จากหลักการรูปที่ 1 และรูปที่ 2 สามารถสร้างเป็นวงจรดังรูปที่ 3 โดยสมการการส่งผ่านสามารถสรุปได้ดังนี้

$$T_{BR} = \frac{s^2 + \frac{g_{m1}g_{m2}}{C_1C_2}}{D(s)} \quad (4)$$

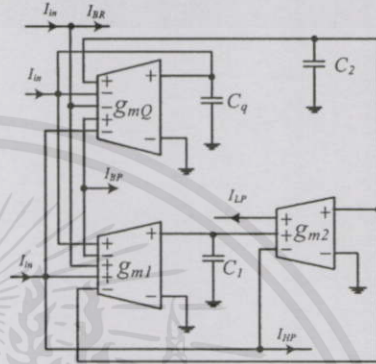
เอกสารนี้เป็นเอกสารสงวนลิขสิทธิ์สำหรับการใช้งานที่ไม่ใช่เพื่อการค้า และไม่อาจนำเอกสารนี้ไปเผยแพร่หรือทำซ้ำโดยไม่ได้รับอนุญาต

$$T_{BP} = \frac{C_Q}{D(s)}$$

$$T_{LP} = \frac{g_{m2}g_{mQ}}{C_2C_Q D(s)} \quad (6)$$

$$T_{HP} = \frac{s^2}{D(s)} \quad (7)$$

โดยที่ $D(s) = s^2 + s \frac{g_{mQ}}{C_Q} + \frac{g_{m1}g_{m2}}{C_1C_2}$



รูปที่ 3 วงจรกรองความถี่หลายหน้าที่รูปแบบกระแสที่นำเสนอ

เมื่อพิจารณาเทียบกับรูปแบบทั่วไปของสมการ ไบควอดเรติก

$$D(s) = s^2 + s \frac{\omega_p}{Q_p} + \omega_p^2$$

ตัวแปรที่เกี่ยวข้อง ω_p และ Q_p มีค่าเท่ากับ

$$\omega_p = \sqrt{\frac{g_{m1}g_{m2}}{C_1C_2}} \quad (8)$$

และ

$$Q_p = \sqrt{\frac{g_{m1}g_{m2}}{C_1C_2}} \cdot \left(\frac{C_Q}{g_{mQ}} \right) \quad (9)$$

จากสมการที่ (8) ในปกติทั่วไปสามารถกำหนดให้ $g_{m1} = g_{m2} = g_m$ และ $C_1 = C_2 = C$ ดังนั้นการปรับค่าความถี่ตอบสนอง สามารถทำได้โดยการปรับค่าแกนของ OTA ทั้งสองตัว ซึ่งถ้า OTA ทั้งสองตัวมีค่าเท่ากันทุกประการจะเห็นได้ว่าการควบคุมความถี่ตอบสนองจะมีความเป็นเชิงเส้น

เมื่อพิจารณาในกรณีที่ต้องการปรับค่า Q_p จากสมการที่ (9) พบว่าเราสามารถปรับค่า Q_p อย่างเป็นอิสระโดยไม่มีผลกระทบต่อ ω_p ซึ่งทำได้ 2 วิธี โดยวิธีแรกกำหนดให้ค่า $C_Q = C$ ซึ่งทำให้ค่า Q_p มีค่าเท่ากับ g_m/g_{mQ} ส่วนอีกวิธีหนึ่งกำหนดให้ค่า $g_{mQ} = g_m$ ซึ่งทำให้ค่า Q_p มีค่าเท่ากับ C_Q/C

4. ค่าความไวของวงจร (Sensitivity) ไปใช้ประโยชน์ด้านการค้า

สิ่งที่สามารถยืนยันประสิทธิภาพของวงจรกรองความถี่ที่นำเสนอ นั่นคือ ค่าความไวของของอุปกรณ์แอคทีฟ และแพสซีฟในวงจร ที่มี

EL16

ผลต่อความถี่ตอบสนอง $S_x^{\omega_p}$ และค่าคุณภาพ $S_x^{Q_p}$ เมื่อ x คืออุปกรณ์แอคทีฟ และแพสซีฟแต่ละตัว ซึ่งพบว่าความไวมีค่าอยู่ระหว่าง ± 0.5 ซึ่งสามารถสรุปได้ดังตารางที่ 1

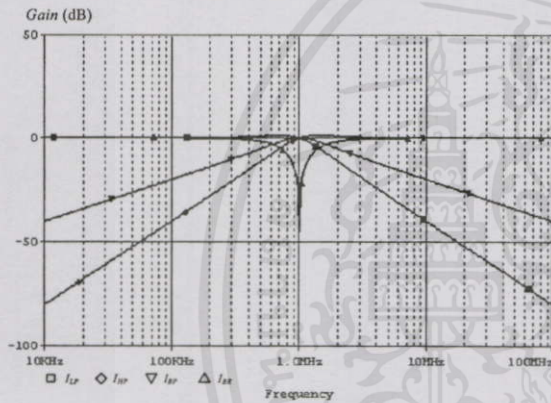
ตารางที่ 1 ค่าความไวตัวแปรแอคทีฟในวงจร

x	$S_x^{\omega_p}$	$S_x^{Q_p}$
g_{m1}	0.5	0.5
g_{m2}	0.5	0.5
g_{mQ}	0	-1
C_Q	0	1
C_1	-0.5	-0.5
C_2	-0.5	-0.5

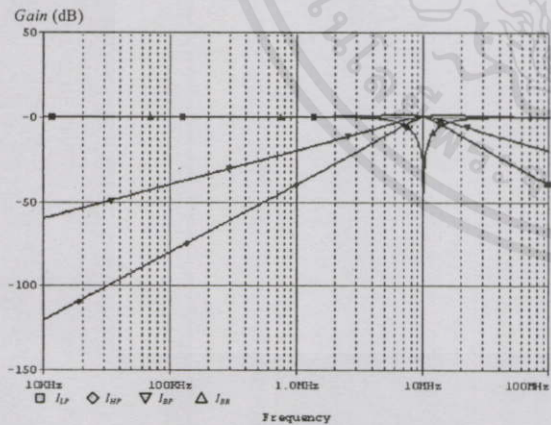
Macro model OTA เพื่อพิสูจน์ว่าการควบคุมความถี่ตอบสนอง สามารถควบคุมได้เป็นเชิงเส้น จากรูปที่ 4 และ 5 แสดงคุณสมบัติของตัวกรองทั้ง 4 แบบในรูปที่ 3 โดยกำหนดค่าตัวแปร $Q_p = 1$ ซึ่งทำได้โดยกำหนดค่าของอุปกรณ์ต่างๆ ดังนี้ $C_1 = C_2 = C_Q = 0.01nF$, $g_{m1} = g_{m2} = g_{mQ} = 63\mu S$ และ $630\mu S$ ตามลำดับ ซึ่งพบว่าค่าความถี่ตอบสนอง (f_p) มีค่าเท่ากับ 1 MHz และ 10 MHz ตามลำดับ แสดงให้เห็นว่าการควบคุมค่าความถี่ตอบสนองมีความเป็นเชิงเส้น ตามการปรับแกนของ OTA

ตารางที่ 2 การปรับค่า Q_p ด้วยค่า g_{mQ} และ C_Q

Q_p	วิธีที่ 1		วิธีที่ 2	
	C_Q	g_{mQ}	C_Q	g_{mQ}
1	0.01nF	63 μS	0.01nF	63 μS
2	0.01nF	31.5 μS	0.02nF	63 μS
4	0.01nF	15.75 μS	0.04nF	63 μS
8	0.01nF	7.875 μS	0.08nF	63 μS
16	0.01nF	3.9375 μS	0.16nF	63 μS

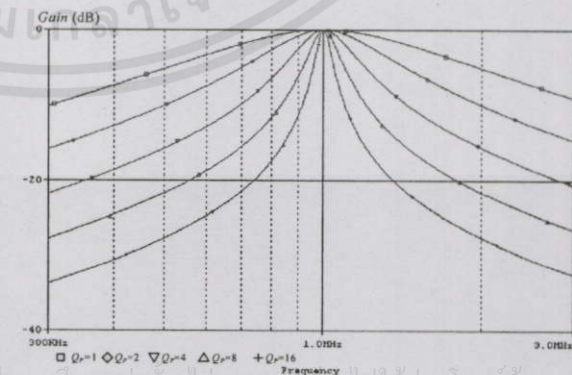


รูปที่ 4 คุณสมบัติของตัวกรองทั้ง 4 แบบในรูปที่ 3 เมื่อค่าความนำมีค่าเท่ากับ $63\mu S$



รูปที่ 5 คุณสมบัติของตัวกรองทั้ง 4 แบบในรูปที่ 3 เมื่อค่าความนำมีค่าเท่ากับ $630\mu S$

เพื่อยืนยันหลักการจากสมการที่ (9) การปรับค่า Q_p จะไม่มีผลกระทบต่อความถี่ตอบสนอง โดยการจำลองการทำงานของตัวกรองจะถูกกำหนดให้มีค่าความถี่ตอบสนองที่ 1 MHz และทดลองปรับค่า Q_p เท่ากับ 1, 2, 4, 8 และ 16 ตามลำดับ ซึ่งวิธีแรกทำได้โดยการกำหนดให้ $C_1 = C_2 = C_Q = 0.01nF$ และปรับค่า g_{mQ} วิธีที่ 2 การปรับค่า Q_p ทำได้โดยกำหนดให้ $g_{m1} = g_{m2} = g_{mQ} = 63\mu S$ และปรับค่าตัวเก็บประจุ C_Q ดังตารางที่ 2 ผลการตอบสนองทางความถี่แสดงไว้ดังรูปที่ 6 และ 7 ซึ่งหลักการนี้จะเห็นได้ว่าการปรับค่า Q_p จะสามารถปรับได้สูงมาก ๆ โดยไม่มีข้อจำกัดในการปรับดังเช่นบทความก่อน [3-8] ซึ่งปรับโดยใช้ค่าความนำของ OTA แต่เพียงอย่างเดียว

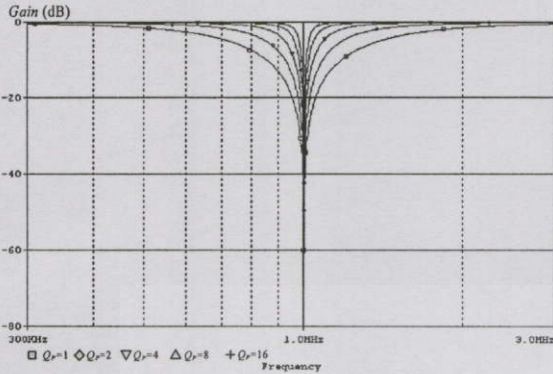


รูปที่ 6 เาท์พุทของตัวกรองความถี่ที่ต้องการผ่าน ทำการปรับค่า Q_p

5. ผลการเลียนแบบการทำงาน

วงจรกรองความถี่หลายหน้าที่รูปแบบกระแส สามารถยืนยันคุณสมบัติ และประสิทธิภาพของวงจรได้ด้วยโปรแกรม PSpice โดยใช้

การที่ส่งวนไว้สำหรับค่าการใช้งานเพื่อการศึกษาค้นคว้า ไม่อนุญาติให้นำไปใช้ประโยชน์ด้านการค้า



รูปที่ 7 เอทพุทของตัวกรองความถี่ที่ต้องการออกโดยการปรับค่า Q_p

ผลการจำลองการทำงานในกรณีของ BPF และ BRF โดยปรับค่า Q_p เป็นค่าต่างๆ ด้วยวิธีการข้างต้นได้แสดงไว้ดังรูปที่ 6 - 7 จะพบว่าการปรับค่า Q_p สามารถปรับค่าได้อย่างอิสระ ทั้งด้วยวิธีทางอิเล็กทรอนิกส์ และทางกายภาพ จะไม่มีผลกระทบต่อความถี่ตอบสนอง

6. บทสรุป

บทความนี้นำเสนอ การสังเคราะห์วงจรกรองความถี่รูปแบบกระแสด้วย OTA และตัวเก็บประจุ โดยสังเคราะห์จากฟังก์ชันตัวกรองความถี่ที่ต้องการออกเป็นสมการคั้งขึ้น ซึ่งเป็นหลักการที่สามารถนำมาสังเคราะห์ตัวกรองได้เป็นอย่างดี การใช้สมการนี้ตั้งต้นทำให้ได้ผลดีต่อการปรับค่า Q_p ของวงจร ให้สามารถปรับได้ทั้งแบบวิธีทางอิเล็กทรอนิกส์ และทางกายภาพด้วยการเปลี่ยนค่าตัวเก็บประจุ ซึ่งทั้งสองวิธีนี้ จะไม่มีผลกระทบใดๆ ต่อความถี่ตอบสนอง และยังสามารถขึ้นชั้นการปรับค่า Q_p ไม่จำกัดอยู่ที่เพียงค่า g_m ของ OTA ทำให้สามารถปรับค่า Q_p ได้กว้างมาก อีกทั้งวงจรที่สังเคราะห์ได้นั้นยังสามารถให้คุณสมบัติเป็นตัวกรองชนิดอื่นๆ ได้อย่างครบถ้วนอีกด้วย

เอกสารอ้างอิง

[1] S. I. Liu, J. J. Chen, Y. S. Hwang, "New Current mode Biquad filters using current follower," *IEEE Trans. Circuits Syst.*, vol. 42, pp.380-383, July 1995.
 [2] E. O. Gunes, A. Toker and S. Ozoguz, "Insensitive current-mode universal filter with minimum component using dual-output current conveyors," *Electron. Lett.*, vol. 35, pp.524-525, April 1999.
 [3] C. Chang, "New multifunction OTA-C biquads," *IEEE Trans. Circuits and Syst.*, vol. 46, pp.820-824, June 1999.
 [4] C. Chang and S. Pai, "Universal current-mode OTA-C biquad with the minimum components," *IEEE Trans. Circuits and Syst.*, vol. 47, pp.1235-1238, Aug. 2000.
 [5] C. Chang, B. M. Al-Hashimi and J. N. Ross, "Unified active filter biquad structure," *IEE Proc. (part G)*, vol.151, pp.273-277, Aug. 2004.
 [6] J. Wu, "Current-mode high-order OTA-C filter," *Int. J. Electron.*, vol. 76, pp.1115-1120, 1994.

[7] M. T. Abuelma'atti and A. Bentrchia, "New universal current-mode multiple-input multiple-output OTA-C filter," *Proc. of APCCAS*, pp.1037-1039, Dec. 2004
 [8] E. Sanchez-sinnencio, R. L. Geiger and H. Nevarez-Lozano, "Generation of Continuous-Time Two Integrator Loop OTA filter structures," *IEEE Trans. Circuits and Syst.*, vol. 35, pp.936-946, Aug. 1988.
 [9] A. Fabre, O. Saaid, F. Wiest and C. Boucheron, "Current controlled bandpass filter based on translinear conveyors," *Electron. Lett.*, vol. 31, pp1727-1728, 1995.
 [10] W. J. Kerwin, L. P. Huelsman, and R. W. Newcomb, "State-variable synthesis for insensitive integrated circuit transfer function," *IEEE Trans. Solid-state Circuits*, vol. SC-2, pp.87-92, 1967.



มนตรี สมดุลยกรก สำเร็จการศึกษาดุษฎีบัณฑิต สาขาวิชาวิศวกรรมไฟฟ้า มหาวิทยาลัยสยาม ปี พ.ศ. 2535 และวิศวกรรมศาสตรมหาบัณฑิต สาขาวิชาวิศวกรรมโทรคมนาคม สถาบันเทคโนโลยีพระจอมเกล้าเจ้าคุณทหารลาดกระบัง ปี พ.ศ. 2549. สนใจในการวิจัยด้าน Analog Filter Design และ CMOS Analog Integrated Circuit Design ปัจจุบันดำรงตำแหน่งอาจารย์ประจำภาควิชาวิศวกรรมไฟฟ้า คณะวิศวกรรมศาสตร์ มหาวิทยาลัยสยาม



ณัฐวิทย์ ประภากร สำเร็จการศึกษาวิศวกรรมศาสตรบัณฑิต สาขาวิศวกรรมโทรคมนาคม จากสถาบันเทคโนโลยีพระจอมเกล้าเจ้าคุณทหารลาดกระบัง ในปี พ.ศ. 2548. ปัจจุบันกำลังศึกษาในหลักสูตร วิศวกรรมศาสตรมหาบัณฑิต สาขาวิศวกรรมโทรคมนาคม สถาบันเทคโนโลยีพระจอมเกล้าเจ้าคุณทหารลาดกระบัง สนใจในการวิจัยด้าน Analog Filter Design



พิพัฒน์ พรหมมี สำเร็จการศึกษาดุษฎีบัณฑิต สาขาเทคโนโลยีโทรคมนาคม วิศวกรรมศาสตรมหาบัณฑิต และ วิศวกรรมศาสตรดุษฎีบัณฑิต สาขาวิศวกรรมไฟฟ้า จากสถาบันเทคโนโลยีพระจอมเกล้าเจ้าคุณทหารลาดกระบัง ในปี พ.ศ. 2535, 2538 และ 2545 ตามลำดับ สนใจในการวิจัยด้าน Analog Signal Processing for Communications, Analog Filter Design และ CMOS Analog Integrated Circuit Design ปัจจุบันดำรงตำแหน่งผู้ช่วยศาสตราจารย์ ภาควิชาวิศวกรรมโทรคมนาคม คณะวิศวกรรมศาสตร์ สถาบันเทคโนโลยีพระจอมเกล้าเจ้าคุณทหารลาดกระบัง



กอบชัย เดชหาญ สำเร็จการศึกษาวิศวกรรมศาสตรบัณฑิต วิศวกรรมศาสตรมหาบัณฑิต สาขาวิศวกรรมไฟฟ้า จากสถาบันเทคโนโลยีพระจอมเกล้าเจ้าคุณทหารลาดกระบัง ในปี พ.ศ. 2521 และ 2523 ตามลำดับ และ Docteur จาก Ecole Nationale Supérieure des Telecommunications Paris (ENST/Telecom Paris), France ในปี พ.ศ. 2532 สนใจในการวิจัยด้าน Communications Circuit Design, Analog Signal Processing for Communications, และ CMOS Integrated Circuit Design ปัจจุบันดำรงตำแหน่งรองศาสตราจารย์ ภาควิชาวิศวกรรมโทรคมนาคม คณะวิศวกรรมศาสตร์ สถาบันเทคโนโลยีพระจอมเกล้าเจ้าคุณทหารลาดกระบัง

ETL16

ประวัติผู้เขียน

ชื่อ-นามสกุล	นายณัฐวิทย์ ประภากร
วัน เดือน ปี เกิด	3 เมษายน พ.ศ. 2527
ที่อยู่	12/60 ซ.อินทามระ 33 แยก 1 ถ.สุทธิสาร แขวงดินแดง เขตดินแดง จังหวัดกรุงเทพมหานคร 10320
ประวัติการศึกษา	สำเร็จการศึกษาระดับปริญญาตรี วิศวกรรมศาสตรบัณฑิต สาขาวิศวกรรมโทรคมนาคม ที่สถาบันเทคโนโลยีพระจอมเกล้าเจ้าคุณ ทหารลาดกระบังเมื่อปี พ.ศ. 2549



เอกสารนี้เป็นเอกสารที่สงวนไว้สำหรับกรใช้งานเพื่อการศึกษาเท่านั้น ไม่อนุญาตให้นำไปใช้ประโยชน์ด้านการค้า
ไม่ว่ากรณีใดๆทั้งสิ้น อีกทั้งห้ามมิให้คัดแปลงเนื้อหา และต้องอ้างอิงถึงเจ้าของเอกสารทุกครั้งที่มีการนำไปใช้